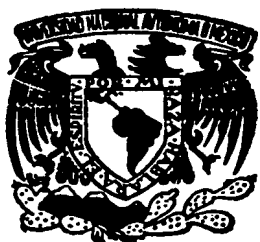


31  
2ej.



UNIVERSIDAD NACIONAL AUTONOMA  
DE MEXICO

E. N. E. P. ARAGON

ENEPA  
ARAGON



DISEÑO DE UN EDIFICIO DE OCHO NIVELES  
ESTRUCTURADO CON MUROS DE MAMPOSTERIA

T E S I S

QUE PARA OBTENER EL TITULO DE:

INGENIERO CIVIL

P R E S E N T A

JESUS VERDUZCO DUARTE

1987

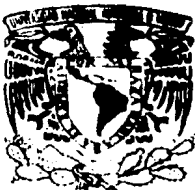


## **UNAM – Dirección General de Bibliotecas Tesis Digitales Restricciones de uso**

### **DERECHOS RESERVADOS © PROHIBIDA SU REPRODUCCIÓN TOTAL O PARCIAL**

Todo el material contenido en esta tesis está protegido por la Ley Federal del Derecho de Autor (LFDA) de los Estados Unidos Mexicanos (México).

El uso de imágenes, fragmentos de videos, y demás material que sea objeto de protección de los derechos de autor, será exclusivamente para fines educativos e informativos y deberá citar la fuente donde la obtuvo mencionando el autor o autores. Cualquier uso distinto como el lucro, reproducción, edición o modificación, será perseguido y sancionado por el respectivo titular de los Derechos de Autor.



ESCUOLA NACIONAL DE ESTUDIOS PROFESIONALES  
ARAGON  
DIRECCION

UNIVERSIDAD NACIONAL  
AVENIDA DE  
MEXICO

JESUS VERDUZCO DUARTE  
P R E S E N T E .

En contestación a su solicitud de fecha 2 de marzo del año en curso, relativa a la autorización que se le debe conceder para que el señor profesor, Ing. JUAN ANTONIO GOMEZ VELAZQUEZ pueda dirigirle el trabajo de Tesis denominado " DISEÑO DE UN EDIFICIO DE OCHO NIVELES ESTRUCTURADO CON MUROS DE MAMPOSTERIA ", con fundamento en el punto 6 y siguientes, del Reglamento para Exámenes Profesionales en esta Escuela, y toda vez que la documentación presentada por usted reune los requisitos que establece el precitado Reglamento; me permito comunicarle que ha sido aprobada su solicitud.

Aprovecho la ocasión para reiterarle mi atenta consideración.

ATENTAMENTE  
"POR MI RAZA HABLARA EL ESPÍRITU"  
San Juan de Aragón, Mex., marzo 26/1987.  
EL DIRECTOR



Lic. SERGIO GUERRERO VERDEJO

- c.c.p. Coordinación de Ingeniería (21).  
Unidad Académica.  
• Departamento de Servicios Escolares.  
Asesor de Tesis.

SGV'AMCP'lla.

- I N D I C E -

	PAG.
<b>Introducción.</b>	
<b>Objetivo .</b>	2
<b>Especificación de materiales</b>	2
<b>Análisis Sísmico</b>	7
<b>Cargas Verticales</b>	11
 <b>CAPITULO I</b>	
<b>Análisis y diseño de cimentación</b>	12
<b>Capacidad de carga</b>	17
<b>Análisis de hundimientos</b>	18
<b>Empujes sobre muros de contención</b>	20
<b>Estabilidad de muros</b>	21
<b>Capacidad de carga</b>	21
<b>Deslizamiento</b>	22
<b>Volteamiento</b>	23
<b>Procedimiento constructivo de pilas</b>	24
<b>Columnas</b>	33
 <b>CAPITULO II</b>	
<b>Revisión por cargas verticales</b>	36
<b>Carga vertical resistente</b>	37
<b>Análisis y diseño de escalera tipo</b>	46
 <b>CAPITULO III</b>	
<b>Revisión por sismo</b>	50
<b>Cortante por torsión</b>	51
<b>Fuerza cortante total de diseño             en los muros</b>	52
<b>Fuerza cortante resistente de los             muros</b>	52

	PAG.
<b>REVISION POR VIENTO</b>	<b>80</b>
<b>Velocidad de diseño</b>	<b>80</b>
<b>Velocidades regionales</b>	<b>81</b>
<b>Velocidad básica</b>	<b>82</b>
<b>Momento de volteo resistente</b>	<b>92</b>
 <b>CAPITULO IV</b>	
<b>Revisión por flexocompresión</b>	<b>93</b>
<b>Revisión del refuerzo por momento de volteo</b>	<b>95</b>
 <b>CONCLUSIONES Y RECOMENDACIONES</b>	
<b>Conclusiones</b>	<b>97</b>
<b>Recomendaciones</b>	<b>97</b>
<b>Tabla de varillas</b>	<b>111</b>
 <b>BIBLIOGRAFIAS</b>	<b>112</b>

UNIVERSIDAD NACIONAL AUTONOMA DE MEXICO

Escuela Nacional de Estudios Profesionales "ARAGON"

INTRODUCCION.-

De acuerdo al crecimiento turístico de la zona del Caribe, se proyecta la construcción del Hotel Royal Caribbean Beach Club, ubicado en la sección dos, de la zona turística de - Can Cun, Quintana Roo., lo forman nueve edificios de los cuales ocho estarán destinados a habitaciones y el noveno se usará como casa de máquinas.

Los edificios estarán ubicados frente a la playa, formando éstos una herradura y constando uno de ellos de tres niveles, localizándose éste edificio al frente. Los otros siete se ubicarán en la parte posterior y serán de ocho niveles cada uno.

El edificio de casa de máquinas será de dos niveles y quedará fuera del nucleo de edificios de habitaciones.

El Hotel constará con áreas recreativas como alberca, canchas de tenis, etc.

El presente trabajo se refiere sólo al análisis y diseño del edificio " G " que consta de ocho niveles y cuya estructuración fué con muros de carga confinados con dalas y castillos, utilizando como sistema de entrepiso vigueta y bovedilla.

La cimentación se resolvió por medio de pilas ligadas entre sí con contratrabes en las dos direcciones.

**OBJETIVO:**

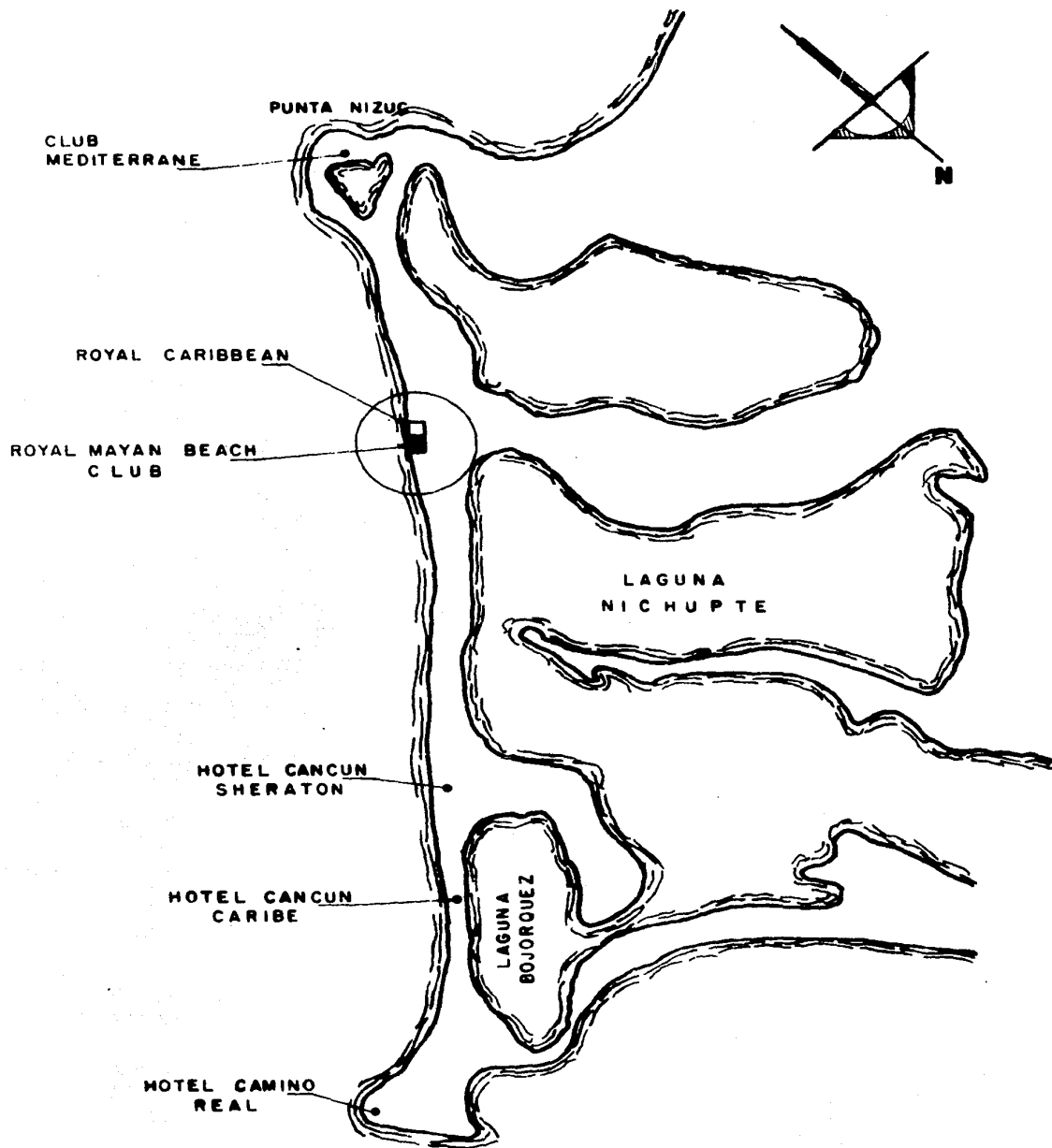
El objetivo del presente trabajo es de llevar a cabo un -- análisis y diseño de una manera específica.

**ESPECIFICACION DE MATERIALES:**

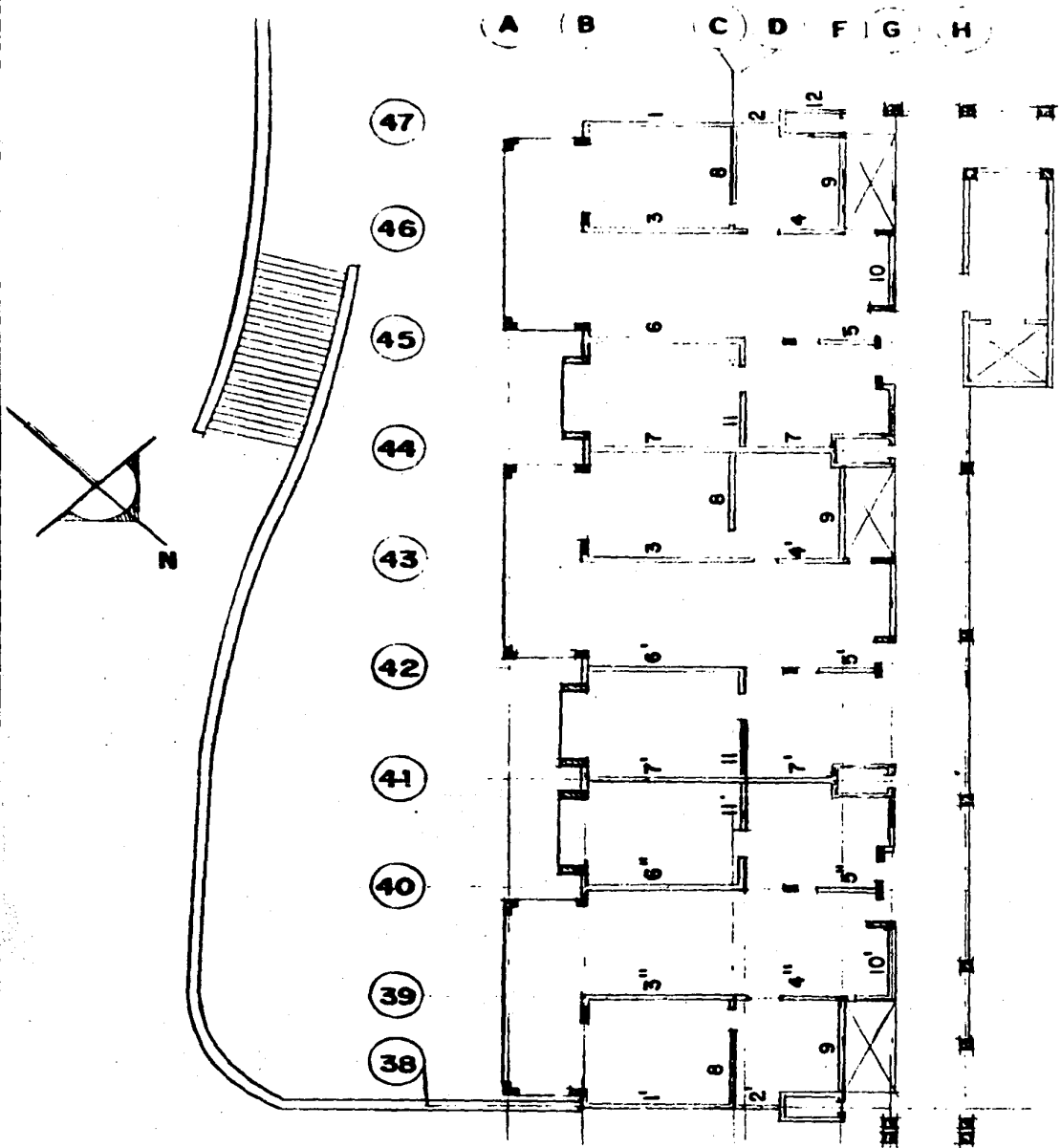
- a) Concreto normal de peso volumétrico  $p.v = 2.2 \text{ Tn/m}^3$  y  $f_c' = 250 \text{ Kg/cm}^2$ .
- b) Acero de refuerzo con límite de fluencia  $f_y = 4000 \text{ Kg/cm}^2$  sin ser mayor de  $5000 \text{ Kg/cm}^2$  con las fuerzas de fluencia máximas y mínimas que se indican en la tabla de varillas, excepto el #2 que será grado estructural con  $f_y = 2320 \text{ Kg/cm}^2$ .
- c) Los muros serán de block hueco de concreto tipo intermedio de  $20 \times 20 \times 40 \text{ cm}$ .
- d) Las piezas de concreto deberán tener una resistencia mínima a compresión de  $50 \text{ Kg/cm}^2$ .
- e) Mortero de cemento-arena con una resistencia mínima a la compresión  $f_b' = 100 \text{ Kg/cm}^2$ .

La relación volumétrica entre la arena y la suma de cimentantes se encontrará entre 2.25 y 3.

Se empleará la mínima cantidad de agua que dé como resultado un mortero fácilmente trabajable.

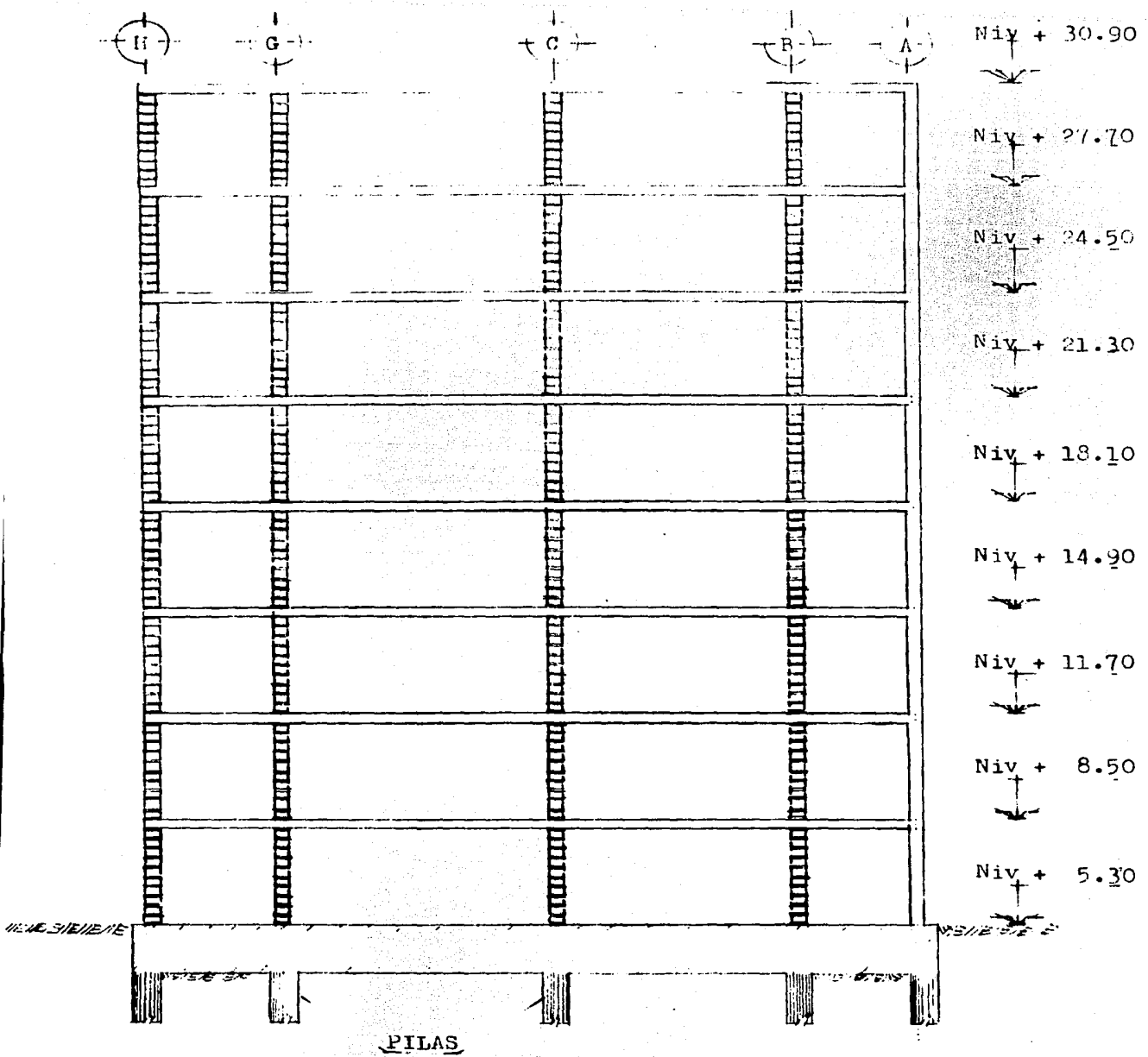


CROQUIS DE  
LOCALIZACION



PLANTA VILLAS — "G"

PLANTA TIPO



CORTE ESQUEMATICO DE NIVELES

**CARGAS CONSIDERADAS:****a) CARGAS MUERTAS:**

Concreto normal, por especificaciones	2200 Kg/m <sup>3</sup>
Block hueco Cemento-Arena, por especif.	210 Kg/m <sup>2</sup>
Firme e=3 cmts 0.03x2000 Kg/m <sup>3</sup>	60 Kg/m <sup>2</sup>
Granito de terrazo, por especif.	40 Kg/m <sup>2</sup>
Aplanado sobre muros arena-cemento e = 2.5 cmts 0.025x2000 Kg/m <sup>3</sup>	50 Kg/m <sup>2</sup>
Aplanado yeso e=2.5 cmts 0.025x1500 Kg/m <sup>3</sup>	40 Kg/m <sup>2</sup>
Herrería y Cancelería, por especif.	50 Kg/m <sup>2</sup>
Vigueta y Bovedilla e=15 cmts, especif.	280 Kg/m <sup>2</sup>
Vigueta y Bovedilla e=20 cmts, especif.	315 Kg/m <sup>2</sup>
Falso Plafond.	40 Kg/m <sup>2</sup>

**b) CARGAS VIVAS:**

	CIMENTACION ( Kg/m <sup>2</sup> )	SISMO (Kg/m <sup>2</sup> )	DISEÑO (Kg/m <sup>2</sup> )
Habitaciones	200	180	250
Pasillos	200	150	250
Escaleras	250	150	320

De acuerdo con el estudio de mecánica de suelos se empleó una cimentación a base de pilas, las cuales se ligaron entre sí en las dos direcciones por medio de contratrabes.

Las pilas se diseñaron de acuerdo con el estudio de mecánica de suelos y las normas de diseño del Reglamento de Construcciones del D.F., vigente a la fecha.

El análisis de contratrabes tanto por carga estática como por carga dinámica se hizo empleando el método de Hardy - Cross, considerando las pilas como apoyos y a las columnas como cargas.

#### ANALISIS SISMICO:

Según su uso, las construcciones se clasifican en los siguientes grupos:

##### Grupo A

Construcciones cuyo funcionamiento sea especialmente importante a raíz de un sismo o que en caso de fallar causaría pérdidas directas o indirectas excepcionalmente altas en comparación con el costo necesario para aumentar su seguridad. Tal es el caso de subestaciones eléctricas, centrales telefónicas, estaciones de bomberos, archivos y registros públicos, hospitales, escuelas, estadios, templos, salas de espectáculos, monumentos, museos y locales que alojen equipo especialmente costoso en relación con la estructura.

### Grupo B

Construcciones cuya falla ocasionaría pérdidas de magnitud intermedia, tales como plantas industriales, bodegas ordinarias, gasolinerías, comercios, bancos, centros de reunión, edificios de habitación, hoteles, edificios de oficinas, bardas cuya altura excede de 2.5 mts, y todas aquellas estructuras cuya falla por movimientos sísmicos pueda poner en peligro otras construcciones de este grupo o del grupo A.

### Grupo C

Construcciones cuya falla por sismo implicaría un costo pequeño y no causaría normalmente daños a construcciones de los primeros grupos. Se incluyen en el presente grupo bardas con altura no mayor de 2.5 mts, y bodegas provisionales para la construcción de obras pequeñas. Estas construcciones no requieren diseño sísmico.

De acuerdo con la ubicación, tipo de suelo y uso de los edificios, los cuales están clasificados en el grupo B, se utilizó un coeficiente sísmico de 0.08 y un factor de reducción por ductilidad de 1.5 según lo señala el manual de diseño de Obras Civiles de la Comisión Federal de Electricidad, 1981, vigente a la fecha.

Se determinó el centro de cargas y el centro de rigidez, - tomando momentos estáticos en las dos direcciones con respecto a un eje arbitrario.

Se ubicó en planta el centro de cargas y el centro de rigidez, determinándose la excentricidad en los dos sentidos -- (ex, ey), la cual nos producirá un momento torsionante en la estructura en cada dirección, que se tomará alternativamente, es decir uno u otro, dependiendo de la dirección que se analiza y que nos inducirá fuerzas cortantes adicionales a la fuerza cortante directa.

Los momentos torsionantes indicados son modificados por el Reglamento de construcciones del D.F., de la siguiente manera:

$$M_T = V (1.5e \pm 0.10 L) \text{ para la dirección } x \text{ ó } y$$

DONDE:

V = Fuerza cortante.

e = Excentricidad en  $x$  ó  $y$

L = Mayor dimensión de la planta, medida perpendicularmente a la dirección del sismo.

Se procedió a distribuir el cortante directo y el de torsión de acuerdo a la rigidez de cada muro para lo que se utilizaron las expresiones 1 y 2 respectivamente.

$$1) V_i = (K_i / \sum K_i) (V) \text{ Cortante directo}$$

$$2) V_{ti} = (K_{idi} / \sum K_{idi}) (M_T) \text{ Cortante por torsión}$$

Por otra parte la rigidez  $K_i$  de cada muro se obtuvo con la fórmula siguiente:

$$K_i = 1 / \left[ H \left( \frac{H^2}{3EI} + \frac{1}{AG} \right) \right]$$

DONDE:

$E$  = 600  $f_m^+$  para cargas de corta duración.

$H$  = Altura del entrepiso.

$I$  = Inercia del muro.

$G$  = Módulo del cortante (0.3E)

$A$  = Área neta transversal del muro.

Una vez que se obtuvieron los cortantes totales sísmicos en cada nivel se procedió a hacer la revisión y diseño de los muros utilizando el método detallado.

Para encontrar la fuerza cortante resistente de los muros se utilizó la siguiente fórmula:

$$VR = FR (0.5 v^+ At + 0.3P) \leq 1.5 FR v^+ At$$

$$FR = 0.6$$

$At$  = Área neta transversal del muro.

$P$  = Carga vertical que actúa en el muro.

$v^+$  = Esfuerzo cortante nominal ( $3.5 \text{ Kg/cm}^2$ )

Para encontrar la resistencia a flexocompresión en el plano del muro debido a los efectos producidos por el momento de volteo, se utilizaron las fórmulas simplificadas que al respecto marca el reglamento de construcciones del Distrito Federal y las cuales se numeran a continuación:

$$M_o = FR As f_y d'$$

$$MR = M_o + 0.30 Pud \quad \text{si } Pu < PR / 3$$

$$MR = (1.5 M_o + 0.15 PR^2)(1-Pu/PR) \quad \text{si } Pu > PR / 3$$

Pu = Carga axial de diseño total sobre el muro.

PR = Resistencia a compresión axial.

FR = Factor de reducción FR = 0.6

d' = Distancia entre los centroides del acero colocado en ambos extremos del muro.

d = Peralte efectivo del refuerzo de tensión.

#### RESISTENCIA DE MUROS A CARGAS VERTICALES:

Se utilizó en este caso también el método detallado indicado en el reglamento de Construcciones haciendo uso de las fórmulas que a continuación se expresan:

$$PR = FR Fe f_m^+ At$$

$$FR = 0.6$$

PR = Carga vertical total resistente.

At = Área transversal neta del muro.

Fe = Factor de reducción por excentricidad y esbeltez.

$f_m^+$  = Resistencia nominal a compresión de la mampostería incrementándose este valor en  $4 \text{ Kg/cm}^2$  - ya que los muros cumplen con los requisitos de muros confinados con dalas y castillos que marca el Reglamento de Construcciones para el Distrito Federal (diseño y construcción de estructuras de mampostería, julio de 1977, Instituto de Ingeniería).

## CAPITULO I

### ANALISIS Y DISEÑO DE CIMENTACION

#### CIMENTACION

Con objeto de determinar el tipo de cimentación más adecuada, se efectuó un estudio de mecánica de suelos consistente en exploración del subsuelo, pruebas de laboratorio y análisis de alternativas de cimentación.

Para conocer las características estratigráficas y físicas del subsuelo se realizaron doce sondeos, diez a 10 mts., y dos a 15 mts. de profundidad, de tipo exploratorio.

Los sondeos se realizaron utilizando la herramienta de penetración estándar, con la cual se obtuvieron muestras representativas alteradas y se midió simultáneamente el índice de resistencia a la penetración de los materiales -- atravesados.

Las muestras representativas alteradas fueron sometidas a pruebas de clasificación visual y al tacto, en húmedo y - en seco y se les determinó el contenido natural de agua. Además se seleccionaron especímenes representativos donde se efectuaron los siguientes ensayos:

- Análisis granulométrico.
- Densidad de sólidos

Considerando las columnas estratigráficas de los sondeos realizados, así como la localización y cota de los brocales de los sondeos se dibujaron los perfiles estratigráficos. En ellos se aprecia que el suelo, hasta la profun-

didad explorada, está constituido por arenas pertenecientes al cordón litoral que en ésta zona tiene un ancho de varias decenas de metros. Las arenas en general presentan porcentajes de finos (material que pasa la malla No.200) variables entre el 3 y 30%.

La compacidad de las arenas aumenta sensiblemente con la profundidad.

El nivel freático se detectó a profundidades variables -- dependiendo de la cota del brocal del sondeo y coincide sensiblemente con el nivel del mar y la laguna de Nichupte.

## II. ANALISIS DE CIMENTACIONES.

Considerando las características estratigráficas y físicas del subsuelo y las correspondientes al proyecto estructural, se juzga que el tipo de cimentación más apropiado será a base de pilas de sección constante coladas in-situ en perforaciones ademádas con lodo bentonítico y apoyadas dentro de los materiales compactos.

Las pilas tendrán un empotramiento mínimo de 2.0 mts, dentro del manto de arena en estado muy compacto.

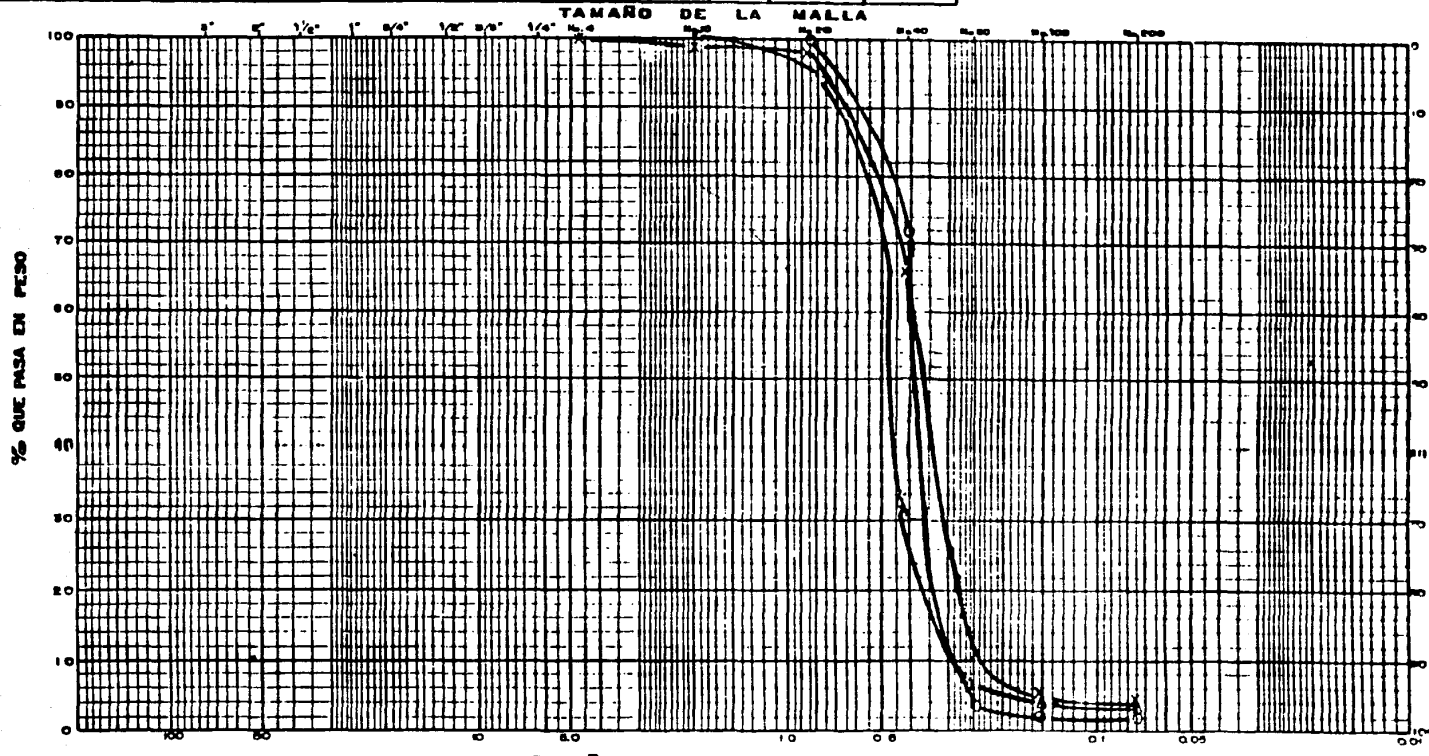
Para el muro de contención que estará ubicado en primer término frente al mar, se recomienda emplear una cimentación de pilas desplantadas a 8.0 mts. de profundidad.

El criterio anterior obedece a la necesidad de proteger a la cimentación de la socavación o erosión que podrá presentarse en caso de un maremoto.

PROFOUNDIDAD m	MUESTRA Nº	SÍMBOLO	D <sub>10</sub>	D <sub>50</sub>	D <sub>90</sub>	Ce = D <sub>50</sub> D <sub>10</sub>	Ce = D <sub>90</sub> D <sub>50</sub>	GRAVA %	ARENA %	FINOS %	CONTENIDO DE AGUA NATURAL %	GRUPO SUCES
			mm	mm	mm							
1.20 - 1.80	3	—x—						0	95	5	7.20	SM
3.00 - 3.70	6	—o—						0	98	2	6.40	SP
4.80 - 4.95	9	—▲—						0	96	4	17.30	SP-SM

LOCALIZACION: CANCUN, QUINTANA ROO

TIPO DE SONDEO: SE-7



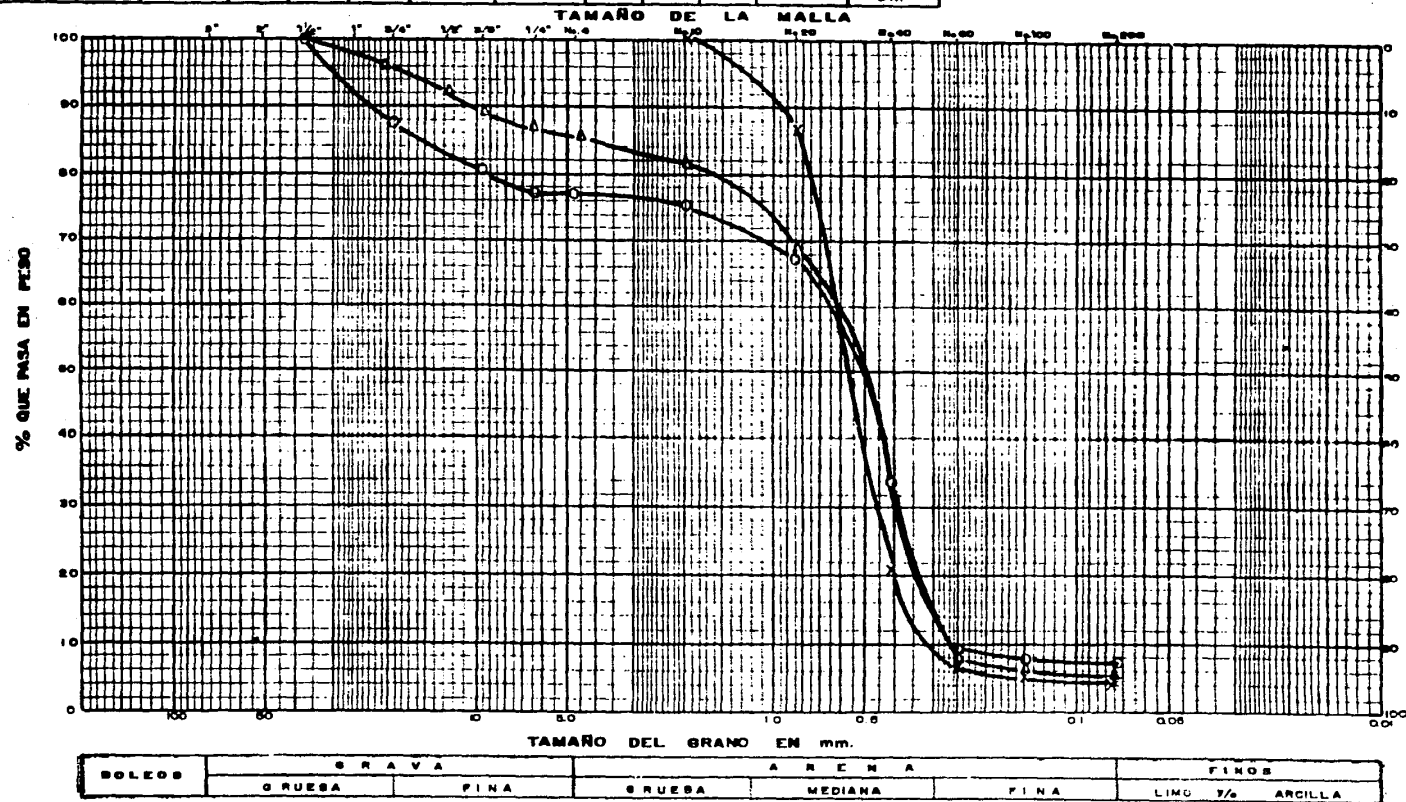
SOLOS	GRAVA		ARENA			FINOS	
	GRUESA	FINA	GRUESA	MEDIANA	FINA	LINO	7/8 ARCILLA

## ANALISIS GRANULOMETRICO POR MALLAS

PROFOUNDIDAD m	MUESTRA Nº	SIMBOLO	D <sub>10</sub>	D <sub>50</sub>	D <sub>90</sub>	C <sub>s</sub>	D <sub>60</sub>	C <sub>e</sub> = $\frac{(D_{50})^2}{D_{10} \cdot D_{90}}$	GRAVA %	ARENA %	FIJOS %	CONTENIDO DE MATERIA NATURAL %	GRUPO SUCS
			mm	mm	mm	D <sub>10</sub>	D <sub>50</sub>						
6.60-6.70	12	X—X							0	95	5	17.30	SM
8.40-8.50	15	O—O							23	70	7	16.78	SM
10.20-10.50	18	▲—▲							12	83	5	16.47	SM

LOCALIZACION: CANCUN QUINTANA ROO

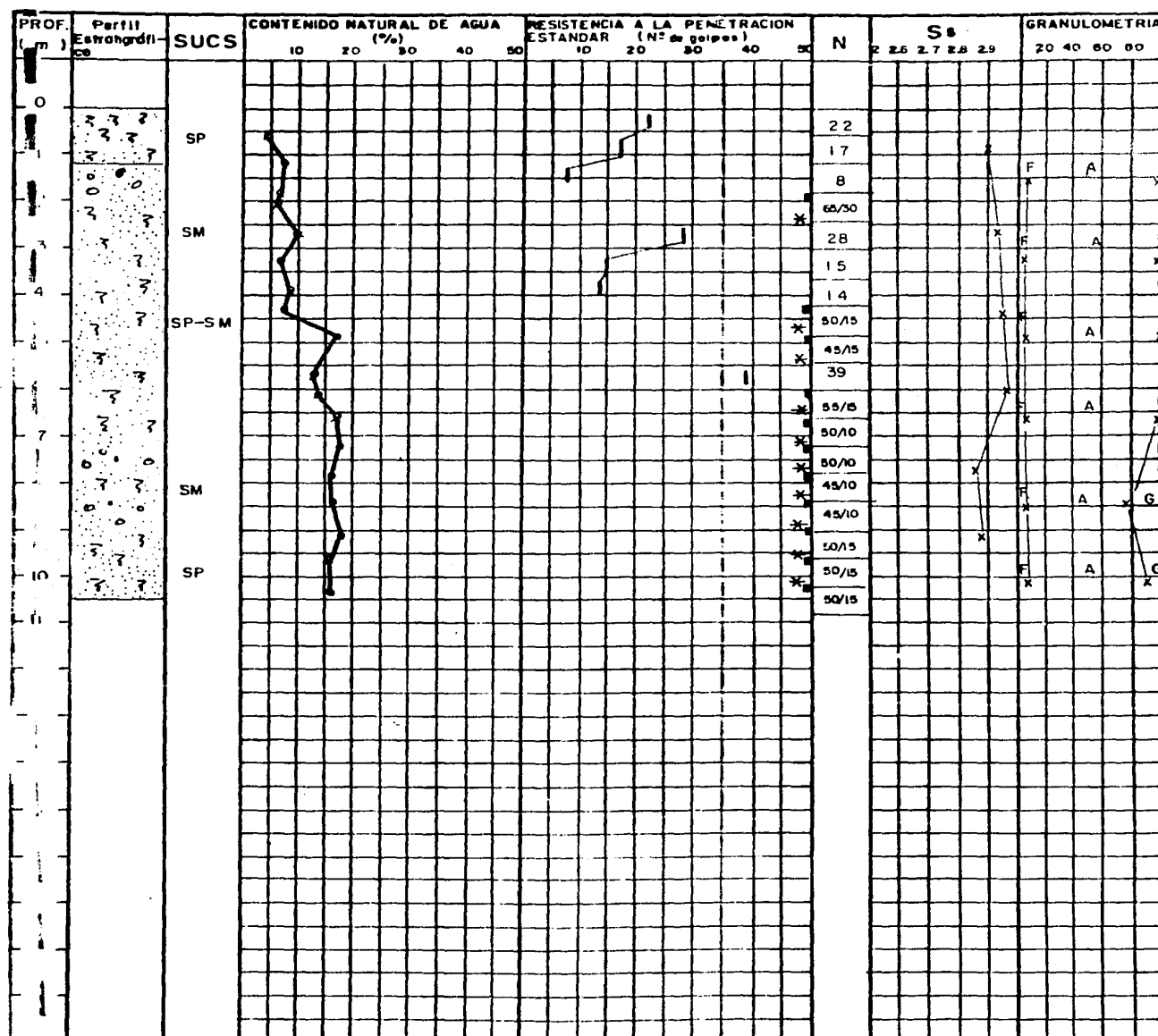
TIPO DE SONDEO: SE - 7



SOLOCOS	GRAVA		ARENA		FIJOS		
	GRUESA	FINA	GRUESA	MEDIANA	FINA	LIMO %	ARCILLA %

**LOCALIZACION CANCUN, QUINTANA ROO**

**TIPO DE SONDEO EXPLORATORIO, SE - 7  
COTA + 7.50 m N.A.F.**



SIMBOLOGIA:



\* Avance con bocanilla tr.  
\*\* de 50 golpes

LL

LP

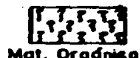
N = Número de golpes para 30 cm  
No. de golpes/penetración en cm

S8 = Densidad de sólidos

G = Grava

A = Arena

F = Fines



## II-1 CAPACIDAD DE CARGA

Se determinó la capacidad de carga de los depósitos de apoyo de las pilas considerando que los materiales afectados por la superficie potencial de falla son de tipo friccional, mediante el criterio de Meyerhof<sup>\*</sup> que aplica la siguiente expresión:

$$Q_p = \left[ \bar{p}_u (N_q'' - 1) F_R + p_v \right] A_p$$

Donde:

$Q_p$  = Capacidad de carga permisible de las pilas

$\bar{p}_u$  = Presión vertical efectiva al nivel de desplante de la pila.

$F_R$  = Factor de resistencia, igual a 0.35 para condiciones estáticas y 0.5 para condiciones dinámicas.

$p_v$  = Presión vertical total al nivel de desplante de la pila.

$A_p$  = Área de la base de la pila.

$N_q''$  = Factor de capacidad de carga, que es función del ángulo de fricción interna,  $\phi$ , del material de apoyo y de la longitud de la pila empotrada en los materiales resistentes, determinando mediante la siguiente expresión:

$$N_q'' = N_q' + (N_q' - N_q) D''/D'$$

\* Meyerhof, G.G. "Some Recent Research on the Bearing Capacity of Foundations" Canadian Geotechnical Journal Vol. 1 No. a, 1963

Siendo:

$N_q$  = Factor de capacidad de carga en caso de que la pila quede apoyada sin empotramiento en los materiales resistentes.

$D''$  = Empotramiento de diseño, de la pila dentro de los materiales resistentes.

$N_q'$  = Factor de capacidad de carga para el caso que la pila tenga un empotramiento mínimo  $D'$  dentro de los materiales resistentes, - obtenido mediante la relación:

$$D' = 4 \sqrt{N_q \phi} B$$

Donde:

$$\sqrt{N_q \phi} = \tan (45^\circ + \phi / 2)$$

B = Diámetro de la base de la pila.

En los cálculos realizados se consideró que los materiales de apoyo presentan un ángulo de fricción interna de  $37^\circ$  -- (obtenido de su correlación con el índice de resistencia a la penetración estándar).

## II.2 ANALISIS DE HUNDIMIENTOS

Los hundimientos probables que sufrirán las pilas por deformación elástica de los materiales de apoyo se estimaron con la siguiente expresión:

$$d = Qa \left[ L / (E_c A_f) + \left( m c_s f_p / E_s \sqrt{A_b} \right) (1 - M^2) \right]$$

- V reunión de mecánica de suelos, Tomo L pp IV-44, 1970, SWMS.

Donde:

$d$  = Asentamiento de la cabeza de la pila.

$Q_a$  = Carga real aplicada sobre la cabeza de la pila.

$L$  = Longitud de la pila.

$m$  = Factor de forma, igual a 0.95 para áreas de cimentación circular.

$c_s$  = Factor de rigidez, igual a 1.0 para cimentaciones flexibles.

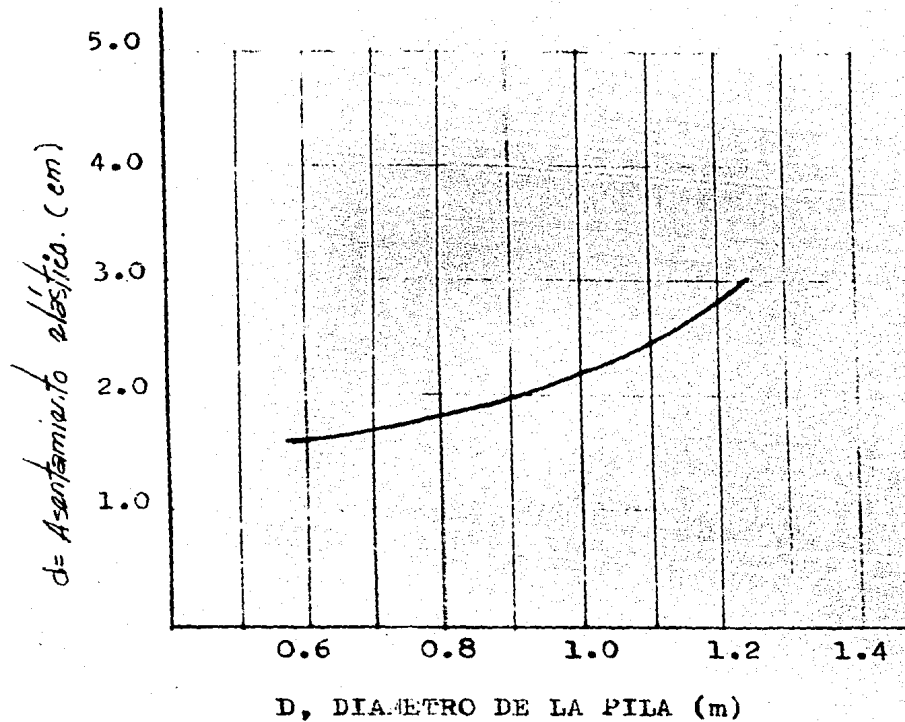
$f_p$  = Factor de profundidad igual a 0.5 para D/B = 5

$E_s$  = Módulo de elasticidad del material de apoyo  
( $12900 \text{ Tn/m}^2$ )

$A_b$  = Área de la base de la pila.

$M$  = Relación de Poisson, igual a 0.3

Considerando un módulo de elasticidad del manto de apoyo de  $12,900 \text{ Tn/m}^2$  y una relación de Poisson de 0.30 (obtenido de su correlación con las propiedades índice de los materiales de apoyo), se obtuvieron los asentamientos elásticos para las pilas, graficados éstos en la siguiente figura, los cuales están en función del diámetro de la base de la pila.



### II.3 EMPUJES SOBRE MUROS DE CONTENCION

Se calcularon los empujes que actuarán sobre muros de contención considerando los casos de muros rígidos y muros deformables. Los muros rígidos son aquellos en los que el desplazamiento lateral está restringido y los muros deformables son los que permiten el desplazamiento en la corona. Los primeros corresponden a muros de cimentación donde las losas o firmes actúan como diafragmas y los segundos son cualquier muro no sujeto en la parte superior. En el primer caso para el cálculo del empuje se empleó un coeficiente de presión de tierras en reposo de 0.5 y un peso volumétrico de 1.6 Tn/m<sup>2</sup>.

Es importante aclarar que en los muros, no se ha considerado el efecto de la presión hidrostática, por lo que se deberá dotar a los muros de un sistema de drenaje eficiente (filtros y tubos a través de los muros) que evite la acumulación de agua en la espalda de ellos.

### II.3-1 ESTABILIDAD DE LOS MUROS.

El análisis de estabilidad de los muros, consistió en analizar la capacidad de carga del suelo subyacente, deslizamiento y volteamiento.

#### II.3-1.a CAPACIDAD DE CARGA

La capacidad de carga del terreno bajo el muro, se determinó aplicando el criterio de Terzaghi<sup>\*</sup> con la siguiente expresión:

$$q_c = \gamma' D_f N_q + 1/2 B N_y \gamma'$$

DONDE:

$q_c$  = Capacidad de carga, en  $Tn/m^2$ .

$\gamma'$  = Peso volumétrico en  $Tn/m^3$ .

$D_f$  = Profundidad de desplante en mts.

$B$  = Ancho de la base del muro, en mts.

$N_q$   $N_y$  = Factores de capacidad de carga, que dependen del valores del ángulo de fricción interna  $\phi$  del material de apoyo.

\* Terzaghi; K."Theoretical, Soil Mechanics", John Wiley and Sons., 1956.

Considerando peso volumétrico de 1.8 Tn/m<sup>3</sup>, profundidad de desplante de 2 mts, ángulo de fricción interna de 37° y anchos de 5.5 y 3 mts. para los muros, se obtuvo una capacidad de carga última de 137 y 79 Tn/m<sup>2</sup> respectivamente.

La presión originada por la componente vertical de la resultante de las fuerzas actuantes fué valuada por la siguiente expresión:

$$P_t = Q_u/B \quad (1 + 6e/B)$$

Donde:

$P_t$  = Presión originada por la componente vertical de la resultante de las fuerzas actuantes sobre el muro, en Tn/m<sup>2</sup>.

$Q_u$  = Suma de las fuerzas actuantes en el muro en Tn  
 $e$  = Excentricidad de la componente  $Q_u$  respecto al punto central de la base del muro, en mts.

$B$  = Ancho de la base del muro en mts.

Considerando el ancho de 5.5 y 3.0 mts., se obtuvo una presión de 26.41 y 20.2 Tn/m<sup>2</sup>. El factor de seguridad que se obtiene contra la falla por capacidad de carga resulta de 5.2 y 3.9 respectivamente, los cuales son aceptables.

### II.3-2 DESLIZAMIENTO

El análisis de deslizamiento se determinó aplicando la siguiente expresión:

$$F_s = F_{fr}/R_H$$

Donde:

$F_s$  = Factor de seguridad contra deslizamiento.

$P_H$  = Componente horizontal del empuje activo sobre el muro.

$F_{fr}$  = Fuerza de fricción:

$$F_{fr} = R_v \tan \phi' + E_p$$

$R_v$  = Componente vertical de la resultante de las fuerzas actuantes sobre el muro, igual a -- 108.12 y 32.88 Tn.

$\phi'$  =  $2/3$  del ángulo de fricción interna del suelo, igual a  $37^\circ$ .

$B$  = Ancho de la base del muro, igual a 5.5 y 3.0mts,

$E_p$  = Empuje pasivo, igual a 1.8 y 1.35 Tn.

Para los muros se obtuvieron factores de seguridad de 1.55 y 2.0 respectivamente, los cuales son admisibles.

### II.3-3 VOLTEAMIENTO

Se revisó que los muros fueran estables contra el volteo por rotación alrededor del pie de su pared exterior (talón del muro), para lo cual se determinó el factor de seguridad contra el volteo aplicando la siguiente expresión:

$$F_s \text{ Volteo} = M_r / M_a$$

Donde:

$M_r$  = Momento que resisten el volteo alrededor del talón.

$M_a$  = Momento que tiende a hacer girar el muro - alrededor de su talón.

Se obtuvieron factores de seguridad de 1.67 y 1.69 para los muros analizados y que resultan admisibles.

#### II.4 PROCEDIMIENTO CONSTRUCTIVO DE PILAS

Se hará la perforación para alojar la pila con diámetro igual al indicado en el pliego estructural.

La longitud de la pila será de 8.0 mts. y la cota de desplante sera -2.65 mts.

Para evitar derrumbes de las paredes de las perforaciones se estabilizará con lodo bentonítico con densidad igual a 1.05.

La perforación no deberá permanecer abierta por un lapso mayor de cuatro horas. En caso contrario deberá verificarse que no se tengan azolves en el fondo de la perforación y en caso de existir deberán extraerse.

Se introducirá el armado de la pila con sus separadores correspondientes, evitando golpear las paredes de la perforación que puedan provocar derrumbes.

Se colará la pila empleando trompas de colado, manteniendo la punta del tubo de colado 0.50 mts. debajo del nivel del concreto.

Deberá evitarse tener juntas frías en la pila.

El colado deberá llevarse 0.50mts. por arriba del nivel - inferior de las contratrabes, con objeto de tener concreto de buena calidad en las uniones con dichos elementos.

## CARGAS UNITARIAS

Losa, vigueta y hovedilla H=20 cm.	313 Kg/m <sup>2</sup>
Por Reglamento	40 Kg/m <sup>2</sup>
Capa de compresión e=5 cms.	100 Kg/m <sup>2</sup>
Firme 3 cm 0.03x2000 Kg/m <sup>3</sup>	60 Kg/m <sup>2</sup>
Granito de terrazo, por especif.	40 Kg/m <sup>2</sup>
Falso plafond.	40 Kg/m <sup>2</sup>
<hr/>	
	CM = 600 Kg/m <sup>2</sup>

Carga muerta	= 600 Kg/m <sup>2</sup>
Carga viva	= 250 Kg/m <sup>2</sup> (diseño carga vertical)
Carga viva	= 180 Kg/m <sup>2</sup> (diseño por sismo)
Carga viva	= 200 Kg/m <sup>2</sup> (diseño cimentación)

## MUROS:

Block hueco de cemento tipo intermedio	210 Kg/m <sup>2</sup>
Aplanado 2 cm dos lados	50 Kg/m <sup>2</sup>
<hr/>	
	260 Kg/m <sup>2</sup>

## PILAS

Las pilas se diferencian de los pilotes por su diámetro y porque suelen ser preexcavadas a mano o con maquinaria especial.

La pila se analizó como si fuera columna corta.

Carga estática:

$$F = 310 \text{ Tn} + PoPo^+ (3.1416 \times 0.9^2 \times 8 \times 2.4 / 4 = 12 \text{ Tn}) = 322 \text{ Tn.}$$

$$P_u = 322 \times 1.4 = 450 \text{ Tn.}$$

$$M_{acc} = 450 \times 0.05 \times 0.90 = 20.25 \text{ Tn.m.}$$

$$d = 85/90 = 0.90$$

$$R = 20.25 \times 10^5 / 0.50 \times 90^3 \times 170 = 0.032$$

$$K = 450,000 / 0.50 \times 90^2 \times 170 = 0.65$$

$$q = 0.10$$

$$P = 0.10 \times 170 / 4200 = 0.004$$

Por especificaciones P será del 5 al 7 el millar.

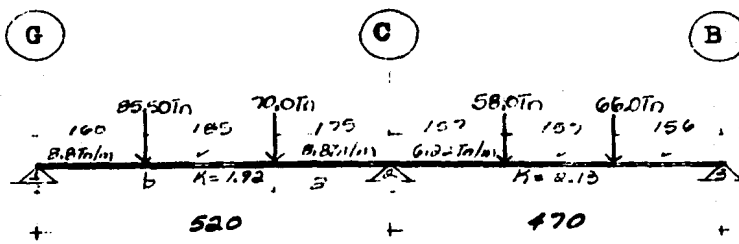
Por lo tanto rige P = 0.007.

$$A_s = 0.007 \times 3.1416 \times 90^2 / 4 = 45 \text{ cm}^2 = 10\# 8 \text{ y } E\# 4 \text{ a/c } 20$$

+ PoPo = Peso propio

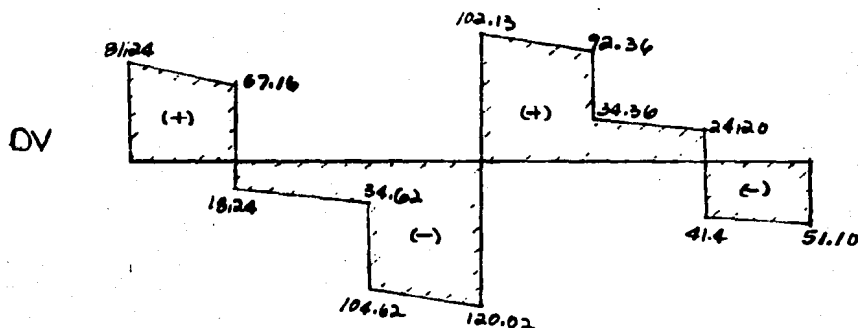
Factor de carga F.C. = 1.4

CONTRATRABE EJE 46



Fd	0.00	0.475	0.525	0.00
MEP	0.00	-191.40	110.70	0.00 Tnm
O	0.00	+14.58	+10.12	0.00
MF	0.00	-126.82	126.82	0.00 Tnm

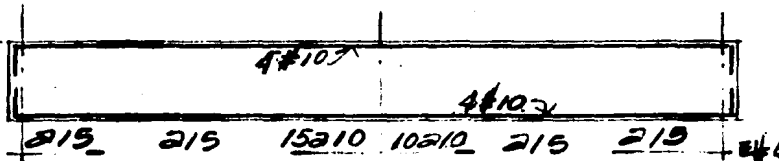
V105ST	105.63	-95.63	75.15	-78.08 Tn
V1HP	-24.39	-24.39	+26.78	+26.98 Tn
VTOT	81.24	-120.02	102.13	-51.10 Tn



$$M\Theta = 118.72 \text{ Tnm}$$

$$M\Theta = 72.15 \text{ Tnm} \cdot \text{m}$$

#4216



$$M_{21} = wL^2/8 + \frac{P_{ab}(b+L)}{aL^2}$$

$$= 8.8x5.2^2/8 + \frac{[70x1.75x3.45(3.45+5.2)]}{1.75x5.2^2} +$$

$$\frac{[85.5x3.6x1.6(1.6+5.2)]}{3.6x5.2^2}$$

$$M_{21} = 141.40 \text{ Tn.m}$$

$$M_{23} = \frac{(6.22x4.7^2)/8 + [58x1.57x3.13(3.13+4.7)]}{1.57x4.7^2} +$$

$$\frac{[66x3.14x1.56(1.56x4.7)]}{3.14x4.7^2}$$

$$M_{23} = 110.70 \text{ Tn.m.}$$

$$\text{Visostático } 21 = (85.5x1.6 + 70x3.45 + 8.8x5.2x2.6) / 5.2 = 95.63 \text{ Tn.}$$

$$\text{Visostático } 23 = (66x1.56 + 58x3.13 + 6.22x4.7x2.35) / 4.7 = 75.15 \text{ Tn.}$$

$$V_{\text{hiperestático}} = 126.82 / 5.20 = -24.39 \text{ Tn.}$$

$$V_{\text{hiperestático}} = 126.82 / 4.7 = 26.98 \text{ Tn.}$$

$$MR/bd^2 = 1.4x126.82x10^5 / (45x195^2) = 10.5$$

De la figura ( ) de momento resistente.

$$P = 0.003$$

$$\text{Si } P = A_s / bd$$

$$A_s = P bd = 0.003x45x195 = 26.3 \text{ cm}^2 \Rightarrow 4 \# 10$$

$$MR/bd^2 = 1.4x118.72x10^5 / 45x195^2 = 10$$

$$A_s = 26.3 \text{ cm}^2 \Rightarrow 4 \# 10$$

Separación de los estribos:

$$Sep = (F_R A_v f_y d) / (V_u - V_c R)$$

$$\text{Si } P < 0.01 \Rightarrow V_c R = F_R bd (0.2 + 30P) \sqrt{f_c'}$$

$$V_c R = 0.8x45x195(0.2 + 30x0.003) \sqrt{200} = 28,800 \text{ Kg.}$$

$$Sep = (0.8x2.54x4200x195) / (120000 - 28,800)$$

$$Sep = \# 4 a/c 18 \text{ cm.}$$

Si el claro entre el peralte total es menor o igual que 2.5 se considera como una viga diafragma.

Por lo tanto:

$$470/200 = 2.35 \leq 2.5$$

Por lo cual se diseñará como una viga diafragma.

Si la cuantía  $A_s/bd$  es menor o igual que 0.008 la resistencia a flexión de vigas diafragma se puede estimar.

$$M_R = F_R A_s f_y z$$

Donde Z se valúa con el criterio siguiente:

$$1.0 < (L/h) \leq 2.5$$

$$Z = (0.3 + 0.2 L - h) h$$

$$Z = (0.3 + 0.2 \times 4.70/200) 200 = 154$$

$$\text{Si } M_R = F_R A_s f_y Z$$

$$A_s = M_R / F_R F_y Z$$

$$A_s = 126.82 \times 10^5 / 0.9 \times 4200 \times 154 = 22 \text{ cm} \Rightarrow 5\#8 \text{ 6 4\#10}$$

Disposición del refuerzo por flexión:

El refuerzo para momento negativo, debe repartirse en dos franjas paralelas al eje de la viga de acuerdo con lo siguiente:

Una fracción del área total igual a  $0.5(L/H-1)$   $A_s = 0.5(470/200-1) 22 \text{ cm}^2 = 14.85 \text{ cm}^2$ , debe repartirse uniformemente en una franja de ancho igual a :

$0.2 h = 0.2(200) = 40 \text{ cm}$ . El resto se repartirá -- uniformemente en una franja adyacente a la anterior de ancho igual a  $0.6 h$ .

$$0.5 (3-L/h) A_s = 0.5(3-470/200) 22 \text{ cm}^2 = 7.15 \text{ cm}^2 =$$

Refuerzo por cambios volumétricos:

$$a_s = (450x_1)/f_y ( x_1 + 100 )$$

DONDE:

$$a_s = \text{cm}^2/\text{cm}$$

$x_1$  = Dimensión mínima del miembro perpendicular al refuerzo.

$$a_s = 450 (45 \text{ cm}) / [4200 (45+100)] = 0.033 \text{ cm}^2/\text{cm}$$

Utilizando varillas #4 (área = 1.27 cm<sup>2</sup>)

$$\text{Separación} = 1.27 \text{ cm}^2 / 0.033 \text{ cm}^2/\text{cm} = \#4 \text{ a } 38 \text{ cm.}$$

Si la fuerza cortante de diseño  $V_u$  es mayor que  $V_cR$  la diferencia se tomará con refuerzo.

La contribución del refuerzo vertical (estribos) se supondrá igual a :

$$0.083 F_r f_{yv} d A_v (1+L/d)/s$$

DONDE:

$A_v$  = es el área del refuerzo vertical (cm<sup>2</sup>)

$s$  = Es la separación (cm)

$f_{yv}$  = Esfuerzo de fluencia (kg/cm<sup>2</sup>)

$$0.083 \times 0.8 \times 4200 \times 195 \times 2.54 (1+470/200) / 10 = 46.30 \text{ Tn.}$$

La contribución del refuerzo horizontal se supone igual a:

$$0.083 \text{ FR } f_{yh} d A_{vh} (l_l - L/d) / S_h$$

DONDE:

$A_{vh}$  = Área del refuerzo horizontal ( $\text{cm}^2$ )

$S_h$  = Separación (cm)

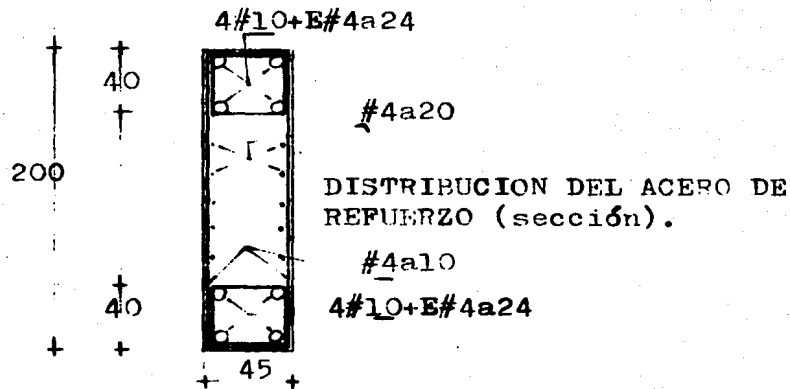
$f_{yh}$  = Esfuerzo de fluencia.

$$0.083 \times 0.8 \times 4200 \times 195 \times 1.27 (l_l - 470/200) / 20 = 60 \text{ Tn.}$$

$$V_{cR} = 28.8 \text{ Tn.}$$

$$28.8 \text{ Tn} + 46.30 \text{ Tn} + 60 \text{ Tn} = 135.10 \text{ Tn} > 120 \text{ Tn.}$$

∴ Es aceptable la contribución del acero de refuerzo a cortante.



Rigidez:

$$K = 3EI/L = I/L$$

Como la sección es constante puedo considerar como rigidez el inverso del claro, multiplicando por mil.

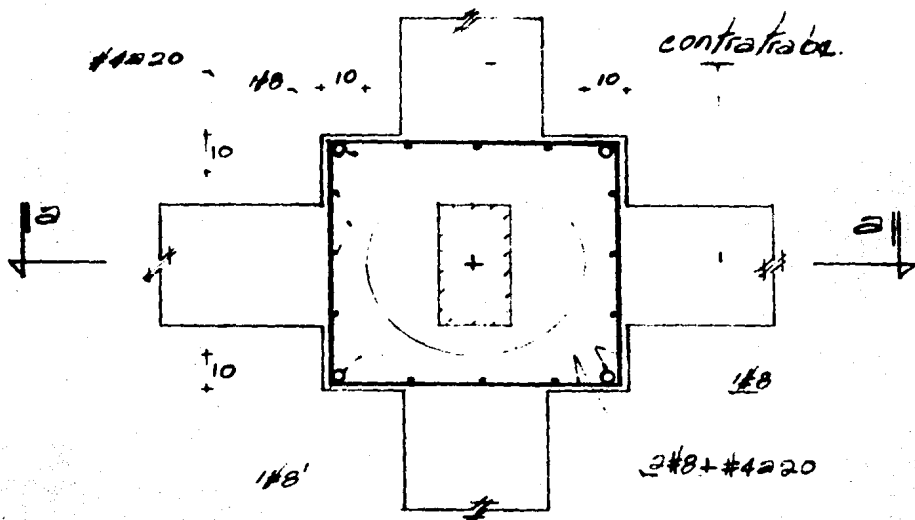
Por ejemplo:

$$(1/520)1000 = 1.92 ; (1/470)1000 = 2.13$$

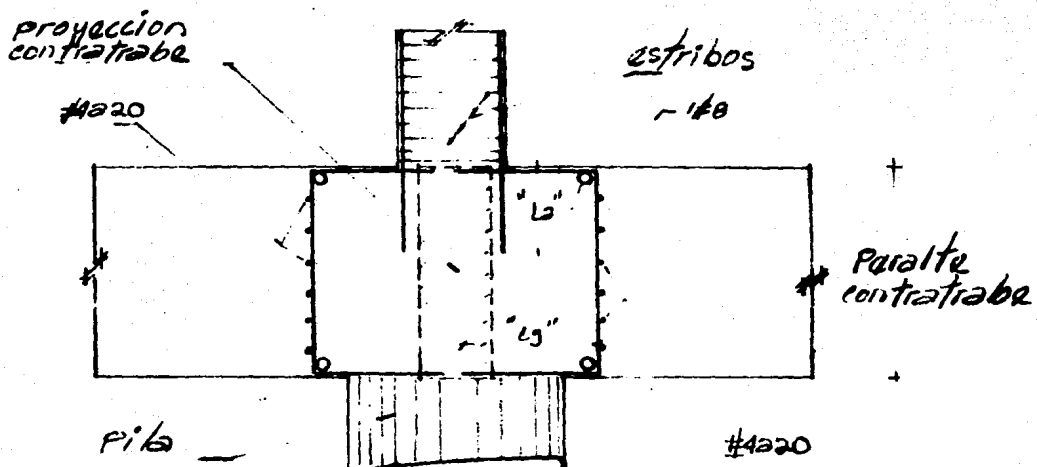
Factor de distribución:

$$1.92/(1.92+2.13) = 0.475$$

$$2.13/(1.92+2.13) = 0.525$$



D A D O   T I P O  
(PLANTA)



C O R T E   a - a  
(ELEVACION)

## COLUMNAS

Para el caso de las columnas del eje H, donde no existen muros que restrinjan el desplazamiento lateral, se revisó para la condición más desfavorable de flexocompresión biaxial, que resulta de las acciones permanentes y su combinación con las acciones accidentales.

Cabe mencionar que las columnas se diseñaron plásticamente, utilizando las gráficas publicadas por el Instituto de Ingeniería de la Universidad Nacional Autónoma de México, en --- Septiembre de 1980. También se utilizaron los factores de reducción y carga indicados en las normas de emergencia, editadas en el Diario Oficial el 18 de Octubre de 1985.

Para el análisis de las columnas se consideraron las siguientes combinaciones:

$$Macx = 0.05 \times P \text{ est.} \times B/100$$

$$Macy = 0.05 \times P \text{ est.} \times t/100$$

### ESTATICA

$$Pu = P \text{ est.} \times 1.4$$

$$Mux = (Mx \text{ est} + Macx) 1.4$$

$$Muy = (My \text{ est} + Macy) 1.4$$

### ESTATICA + SISMO DIRECCION X

$$Pu = (P \text{ est} + P \text{ sis } x + 0.30 \times P \text{ sis } y) 1.1$$

$$Mux = (Mx \text{ est} + Macx + Mx \text{ sis } x) 1.1$$

$$Muy = (My \text{ est} + Macy + 0.30 My \text{ sis } y) 1.1$$

ESTATICA - SISMO DIRECCION x

$$Pu = (P_{est} - P_{sis\ x} - 0.30 \times P_{sis\ y}) \text{ 1.1}$$

$$Mux = (Mx_{est} - Macx - Mx_{sis\ x}) \text{ 1.1}$$

$$Muy = (My_{est} - Macy + 0.30 \times My_{sis\ y}) \text{ 1.1}$$

ESTATICA + SISMO DIRECCION y

$$Pu = (P_{est} + P_{sis\ y} + 0.30 \times P_{sis\ x}) \text{ 1.1}$$

$$Mux = (Mx_{est} + Macx + 0.30 \times Mx_{sis\ x}) \text{ 1.1}$$

$$Muy = (My_{est} + Macy + My_{sis\ y}) \text{ 1.1}$$

ESTATICA - SISMO DIRECCION y

$$Pu = (P_{est} - P_{sis\ y} - 0.30 \times P_{sis\ x}) \text{ 1.1}$$

$$Mux = (Mx_{est} - Macx + 0.30 \times Mx_{sis\ x}) \text{ 1.1}$$

$$Muy = (My_{est} - Macy - My_{sis\ y}) \text{ 1.1}$$

DONDE:

B y t = Son las dimensiones de la columna.

Macx = Momento accidental en x.

Macy = Momento accidental en y.

P est = Carga axial.

Mux = Momento de diseño dirección x.

Muy = Momento de diseño dirección y.

P sis x = Carga dinámica en dirección x.

P sis y = Carga dinámica en dirección y.

Mx est = Momento estático en la dirección x.

My est = Momento estático en la dirección y.

## CAPITULO II

T A B L A 1

REVISION POR CARGAS VERTICALES. MUROS DE PLANTA BAJA

MURO	AREA TRIBUTARIA (m <sup>2</sup> )	LONGITUD DEL MURO (m)	P <sub>u</sub> (Tn)	F <sub>a</sub>	F <sub>E</sub>	P <sub>R</sub> (Tn)
1	9.90	4.70	134.60	1.56	0.80	108.30
2	4.00	1.85	53.90	1.73	0.83	44.20
3	24.00	5.30	274.00	1.93	0.81	123.40
4	10.92	2.30	123.70	1.95	0.81	53.46
5	12.60	2.00	137.10	2.00	0.80	46.00
6	23.53	5.00	266.90	1.94	0.80	116.30
7	34.44	8.30	399.20	1.91	0.81	193.80
8	—	3.10	26.60	1.33	0.86	77.50
9	—	3.70	31.80	1.33	0.87	92.52
10	7.71	3.00	99.10	1.77	0.82	71.20
11	—	3.10	26.60	1.33	0.86	77.50

## REVISION DE LOS MUROS POR CARGA VERTICAL

Carga vertical actuante de diseño en muros de planta baja

$$P_u = F_c [ (w_M + w_V) Atrib. + w_m \times L ] \quad 8 \text{ niveles}$$

DONDE:

$w_M$  = Carga muerta.

$w_V$  = Carga viva.

Atrib = Área tributaria.

$w_m$  = Peso propio de muros.

L = Longitud de los muros.

$F_c$  = Factor de carga.

$$P_u = 1.4 [ (600 + 250) Atrib + 767 \times L ] \quad 8$$

$$P_u = 1.4 [ 850 Atrib + 767 \times L ] \quad 8$$

$$P_u = 11.20 [ 850 Atrib + 767 \times L ]$$

$$P_u = (9520 Atrib + 8590.4 \times L)$$

Por ejemplo: para muro 1

$$\text{Atrib} = 9.90 \text{ m}^2$$

$$\text{Long} = 4.70 \text{ m}$$

$$P_u = 9520 \times 9.9 + 8590.4 \times 4.7 = 134.60 \text{ Tn.}$$

## CARGA VERTICAL RESISTENTE DE LOS MUROS

$$PR = FR \cdot FE \cdot F_m^+ \cdot At$$

Donde:

**FR** = Factor de reducción = 0.6 para muros confiados.

**PR** = Carga vertical total resistente de diseño.

**At** = Área de la sección transversal del muro

**F<sub>m</sub><sup>+</sup>** = Resistencia nominal de diseño en compresión de la mampostería.

**FE** = Factor de reducción por excentricidad y esbeltez.

**t** = Espesor del muro

**ec** = Excentricidad calculada

**ea** = Excentricidad accidental

**Fa** = Factor de incremento de la excentricidad por efecto de esbeltez.

**K** = Coeficiente se tomará como 1/50 para piezas cuyas dimensiones no difieren en más de un 30% de los nominales y 1/30 cuando no se cumpla lo anterior

**P<sub>l</sub>** = Carga crítica de pandeo

**I** = Momento de inercia de la sección bruta

**H** = Altura efectiva del muro.

$$F_m^+ = 20 \text{ Kg/cm}^2 + 4 \text{ Kg/cm}^2 = 24 \text{ Kg/cm}^2$$

$$PE = 1 - 2e'/t$$

$$e' = Fa (ec + ea)$$

$$ea = K (t + H/10) = (1/50)(20 + 295/10) = 0.99 \text{ cm.}$$

ec = 0 para muros interiores.

ec = ec<sub>1</sub> Pi/Pu para muros exteriores.

$$ec_1 = t/2 - b/3 = t/6 = 20/6 = 3.33 \text{ cm.}$$

$$Pi = 1.4 (w_M + w_V) \text{ Atrib.}$$

$$Fa = cm/(1-Pu/Pc)$$

cm = 1 para muros interiores.

cm = 0.6 + 0.4 ec<sub>1</sub>/ec<sub>2</sub> para muros exteriores.

$$Pc = \pi^2 EI/H^2$$

$$H' = 0.75 H = 0.75 \times 295 = 221.25 \text{ cm.}$$

$$EI = EI (0.25 + Pu/PRO)$$

$$E = 250 F_m^+ = 250 \times 24 = 6000 \text{ Kg/cm}^2$$

$$I = (Lt^3)/12 = L \times 20^3/12 = 666.67 L$$

$$PRO = F_m^+ t L_m$$

### CALCULO PARA EL MURO 1 (EXTERIOR)

$$cm = 0.6 + 0.4 ec_1/ec_2 > 0.4$$

ec<sub>1</sub> y ec<sub>2</sub> La menor y mayor de las excentricidades calculadas.

$$ec = ec_1 Pi/Pu$$

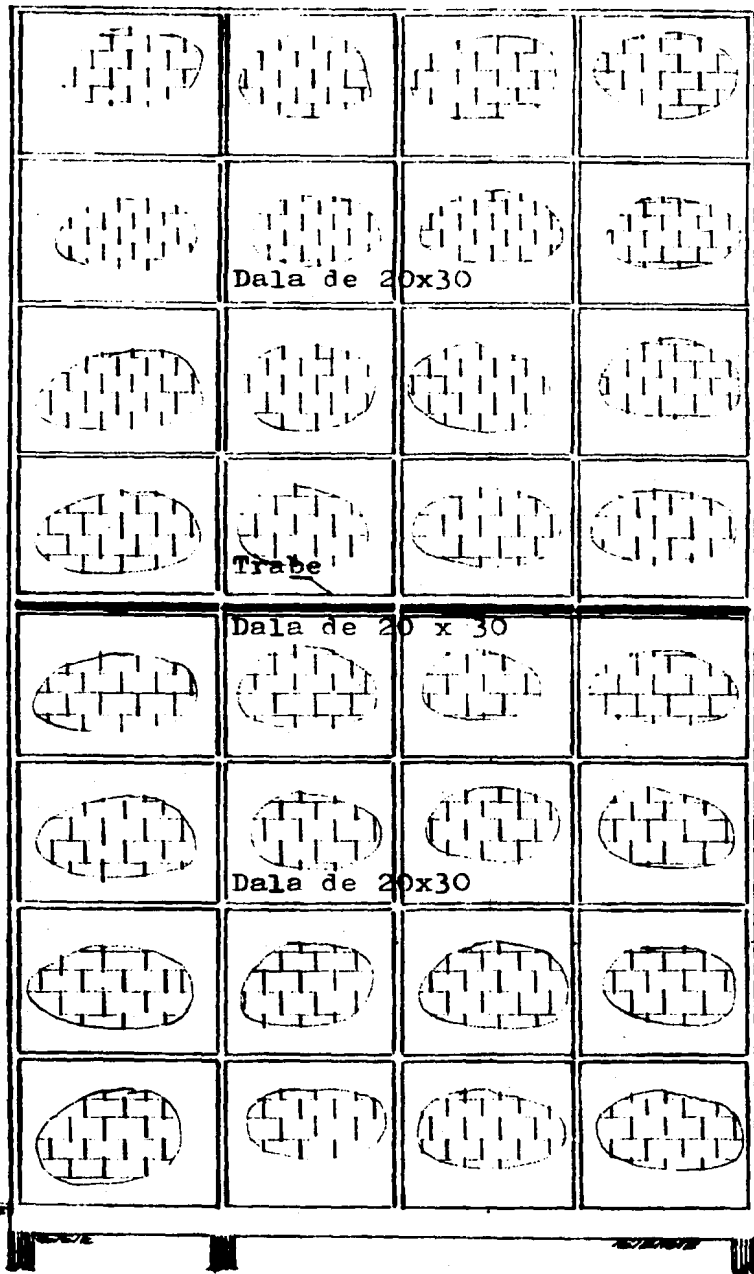
$$\begin{aligned}
 P_i &= 1.4 (w_M + w_V) \text{ Atrib.} \\
 P_i &= 1.4 (850) 9.90 = 11.78 \text{ Tn.} \\
 e_c &= (3.33) 11.78 / 134.60 = 0.29 \text{ cm.} \\
 c_m &= 0.6 + 0.4 \times 0.99 / (0.99 + 0.29) = 0.91 \\
 I &= 666.67 \times 470 = 313,335 \text{ cm}^4 \\
 EI &= 6000 \times 313,335 (0.25 + 134,600 / 20 \times 24 \times 470) = 1.6 \times 10^9 \text{ Kg cm}^2 \\
 P_c &= \pi^2 EI / h^3 \\
 P_c &= (3.14^2 \times 1.6 \times 10^9) / 221.25^2 = 323,000 \text{ Kg.} \\
 F_a &= c_m / (1 - P_u / P_c) = (0.91) / (1 - 134,600 / 323,000) = 1.56 \\
 e' &= F_a (e_c + e_a) \\
 e' &= 1.56 (0.29 + 0.99) = 2.0 \\
 F_E &= 1 - 2e' / t = 1 - 2 \times 2 / 20 = 0.80 \\
 P_R &= F_R F_E f_t m \text{ At} \\
 &= 0.6 \times 0.80 \times 24 \times 20 \times 470 = 108.3 \text{ Tn} < 134.60 \text{ Tn.}
 \end{aligned}$$

### CALCULO PARA EL MURO 2 (INTERIOR)

$$\begin{aligned}
 c_m &= 1.0 \\
 I &= 666.67 \times 185 = 123,334 \\
 EI &= 6000 \times 123,334 (0.25 + 53,900 / 20 \times 24 \times 185) = 634,170 \text{ Kg cm}^2 \\
 P_c &= (3.14^2 \times 634,170) / 221.25^2 = 127.90 \text{ Tn.} \\
 F_a &= 1 / (1 - 53.90 / 127.90) = 1.73 \\
 e' &= 1.73 (0 + 0.99) = 1.71 \\
 F_E &= 1 - 2 \times 1.71 / 20 = 0.83 \\
 P_R &= 0.83 \times 0.6 \times 24 \times 20 \times 185 = 44.20 \text{ Tn.} < 53.90 \text{ Tn.}
 \end{aligned}$$

De la tabla 1 se puede apreciar que para la mayoría de los muros PR < Pu, una forma de incrementar la carga vertical resistente de los muros de mampostería (PR) es reforzándolos interiormente con malla o barras corrugadas de acero, horizontales y verticales, colocadas en los huecos de las piezas, en ductos o en las juntas, de esta manera, si se cumple con los requisitos de muros reforzados interiormente indicados en el Reglamento de Construcciones (no.403) para el Distrito Federal, podemos incrementar la resistencia a cargas verticales en un cincuenta por ciento.

La otra forma que se propone es diseñar una trabe en el nivel +18.10 que sea capaz de resistir la carga vertical de los muros superiores y trasmitirla a los castillos armados como columnas. Ver elevación de un muro tipo en la página siguiente.



**ELEVACION DE MURO TIPO**

Niv. + 18.10

Junta de construcción  
 $e=3$  cm. que deberá ser  
 retacada una vez que  
 se hayan construido -  
 todos los niveles su-  
 periores.

REVISTON POR CARGA VERTICAL DEL MURO 1 EN P.B.

$$\text{Atrib.} = 9.90 \text{ m}^2$$

$$\text{Long.} = 4.70 \text{ mts.}$$

$$P_u = 1.4 [ 850 \text{ Atrib} + 767 \text{ xL} ] 4 \text{ niv.}$$

$$P_u = 1.4 [ 850 \times 9.90 \times 767 \times 4.7 ] 4$$

$$P_u = 67.31 \text{ Tn.}$$

$$PR = FR FE f_m^+ At$$

$$P_i = 1.4 \times 890 \times 9.90 = 11.78 \text{ Tn.}$$

$$ec = 3.33 \times 11.78 / 67.31 \text{ Tn} = 0.58 \text{ cm.}$$

$$cm = 0.6 + 0.4 \times 0.99 / (0.99 + 0.58) = 0.85$$

$$I = 313,335 \text{ cm}^4$$

$$EI = 6000 \times 313,335 (0.25 + 67310 / 24 \times 20 \times 470) = 1.03 \times 10^9 \text{ Kg cm}^2$$

$$P_c = 3.14^2 \times l \cdot 0.03 \times 10^9 / 221.25^2 = 207,850 \text{ Kg.}$$

$$Fa = 0.85 / (1 - 67310 / 207,850) = 1.26$$

$$e = 1.26 (0.58 + 0.99) = 1.97$$

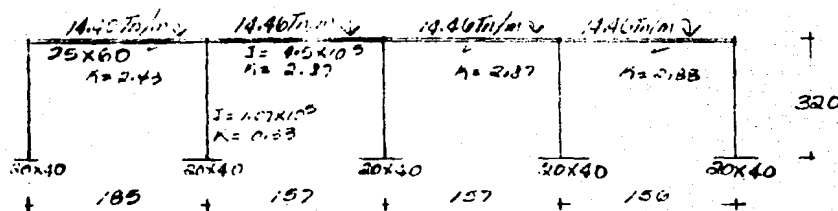
$$FE = 1 - 2 \times 1.97 / 20 = 0.80$$

$$PR = 0.6 \times 0.80 \times 24 \times 20 \times 470 = 108.30 \text{ Tn.}$$

PR > Pu .  
La estructuración del edificio con una trabe en el + 18.10 es una solución para la resistencia por - carga vertical de los muros.

TRABE EJE 47, NIVEL +18.10

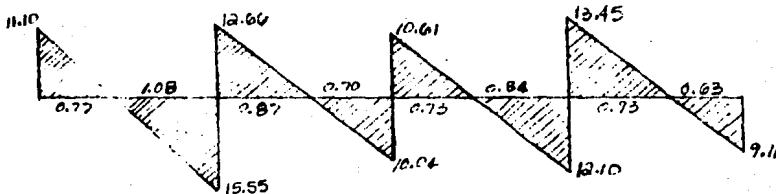
(C)



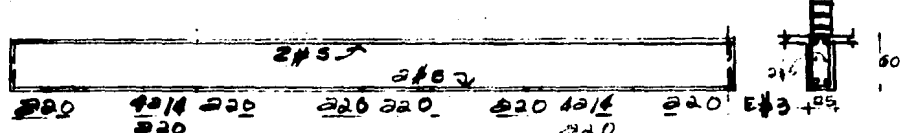
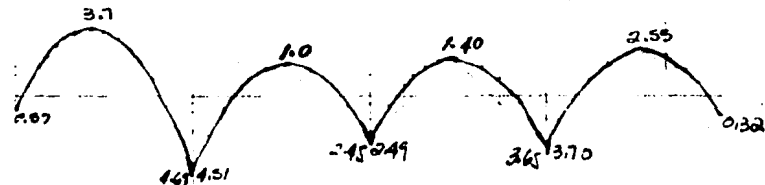
(B)

F.d	0.98	0.43	0.51	0.47	0.47	0.47	0.47	2.90	
M.E.P	+4.11	-4.11	+3.0	-3.0	+3.0	-3.0	+2.95	-2.95	Tn.m
L	-3.62	+0.18	2.67	—	—	+0.02	0.02	2.66	
T	+0.24	-1.81	—	+0.29	+2.01	—	+1.03	+0.01	
L	-0.21	+0.78	10.92	-0.14	-0.14	-0.63	-0.63	-0.01	
T	+0.38	-0.11	-0.07	+0.46	-0.32	-0.07	—	-0.32	
D	-0.34	+2.08	+0.09	-0.06	-0.06	+0.03	+0.03	+0.09	
M.F	10.97	-4.69	+4.51	-3.45	+3.49	+3.65	+3.70	-0.32	Tn.m
V150ST	13.32	-13.32	11.35	-11.35	11.35	-11.35	11.28	-11.28	Tn
V150TP	-2.23	-2.23	1.31	+1.31	-0.74	-0.74	+2.17	+2.17	Tn
V.Total	11.10	-15.55	12.66	-10.04	10.61	-12.10	13.45	-9.11	Tn.

DV



DM



$$\text{Inercia de la Trabe} = 25 \times 60^3 / 12 = 4.5 \times 10^5 \text{ cm}^4$$

$$\text{Inercia de la Columna} = 20 \times 40^3 / 12 = 1.07 \times 10^5 \text{ cm}^4$$

$$\text{Rigidez: } 4EI/L = I/L$$

$$K_t = 4.5 \times 10^5 / 185 \times 1000 = 2.43$$

$$K_t = 4.5 \times 10^5 / 157 \times 1000 = 2.87$$

$$K_c = 1.07 \times 10^5 / 320 \times 1000 = 0.33$$

Factor de Distribución:

$$2.43 / (2.43 + 0.33) = 0.88$$

$$2.43 / (2.43 + 0.33 + 2.87) = 0.43$$

$$2.87 / (2.43 + 0.33 + 2.87) = 0.51$$

MEP (Momento de Empotramiento)

$$wL^2/12 = 14.40 \times 1.85^2 / 12 = 4.11 \text{ Tn.m}$$

$$wL^2/12 = 14.46 \times 1.57^2 / 12 = 3.0 \text{ Tn.m}$$

$$wL^2/12 = 14.46 \times 1.56^2 / 12 = 2.95 \text{ Tn.m}$$

Factor de Transporte igual a 0.50

Visost. (Cortante Isostático) :

$$14.40 \times 1.85 / 2 = 13.32 \text{ Tn.}$$

Vhiper. (Cortante Hiperestático) :

$$(-4.69 \text{ Tn.m} + 0.57) / 1.85 = -2.23 \text{ Tn.}$$

Momento Positivo : (M<sub>+</sub>)

Localización del punto de inflexión:

$$11.10 \times 1.85 / (11.10 + 15.55) = 0.77 \text{ mts.}$$

$$15.55 \times 1.85 / (11.10 + 15.55) = 1.08 \text{ mts.}$$

$$M_0 = 11.10 \times 0.77 / 2 = 4.27 \text{ Tn.m} - 0.57 = 3.70 \text{ Tn.m.}$$

Comprobación:

$$M_0 = 15.55 \times 1.08 / 2 (-4.69 \text{ Tn.m}) = 3.70 \text{ Tn.m.}$$

$$M_0 = (12.66 \times 0.87 / 2) - 4.51 \text{ Tn.m} = 1.0 \text{ Tn.m.}$$

$$M_0 = (10.04 \times 0.70 / 2) - 2.45 \text{ Tn.m} = 1.0 \text{ Tn.m.}$$

Una forma de comprobar el momento positivo es:

$$V^2 / 2w - M(-)$$

DONDE:

$V$  = Cortante en Tn.

$w$  = Carga uniforme en Tn/m.

$M(-)$  = Momento negativo en Tn.m.

Por ejemplo:

$$(11.10^2 / 2 \times 14.40) - 0.57 = 3.70 \text{ Tn.m. O.K.}$$

$$(12.66^2 / 2 \times 14.46) - 4.51 = 1.0 \text{ Tn.m. } \therefore \text{ O.K.}$$

ACERO NEGATIVO:

$$4.69 \times 10^5 / 25 \times 55^2 = 6.20 \text{ de la fig.}$$

$P = 0.0026$  que es el acero mínimo por flexión.

$$A_s = 0.0026 \times 25 \times 55 = 3.60 \text{ cm}^2 \Rightarrow 2 \# 5$$

ACERO POSITIVO:

$$3.70 \times 10^5 / 25 \times 55^2 = 5.0 \text{ de la fig.}$$

$$\text{Acero mínimo por flexión} = 0.7 \sqrt{f_c^t / f_y} = 0.7 \sqrt{250 / 4200} = 0.0026$$

$$A_{s+} \Rightarrow 2 \# 5$$

Separación de estribos

$$S = FR A_v f_y d / (V_u - V_c R)$$

DONDE:

$A_v$  = Área de acero transversal.

$S$  = separación.

$V_u$  = Fuerza cortante de diseño

$V_c R$  = Fuerza cortante que toma el concreto.

$$V_c R = 0.5 FR b d \sqrt{f_c^t} = 0.5 \times 0.8 \times 25 \times 55 \times \sqrt{0.80 \times 250} = 7.78 \text{ Tn.}$$

$$S = 0.8 \times 1.42 \times 2100 \times 55 / (15550 - 7780) = E \# 3 a/c 16 \text{ cm.}$$

## ANALISIS Y DISEÑO DE ESCALERA TIPO

### Análisis de cargas:

Losa espesor 12cm =	$0.12 \times 2400 \text{ Kg/m}^3 =$	288 $\text{Kg/m}^2$
Reglamento de Construcción.	"	20 "
Relleno de pedacería para formar escalones e=10cm =	$0.10 \times 1800 \text{ Kg/m}^3$	180 "
Carga viva.		350 "
		<u>840 <math>\text{Kg/m}^2</math></u>

Estimación del Peralte Mínimo, Considerando un diseño plástico.

$$\text{Área} = 3.6 \times 1.0 = 3.6 \text{ m}^2$$

$$\text{Carga Uniforme} = (3.6 \text{ m}^2 \times 0.84 \text{ Tn/m}^2) / 3.6 = 0.84 \text{ Tn/m}$$

$$\text{Carga Uniforme} = 0.84 \text{ Tn/m}^2 \times 1.0 \text{ m} = 0.84 \text{ Tn/m}$$

Considerandola simplemente apoyada en sus extremos.

$$\text{Momento} = w l^2 / 8 = (0.84 \text{ Tn/m} \times 3.6)^2 / 8 = 1.36 \text{ Tn.m.}$$

$$M_u = 1.36 \text{ Tn.m} \times F_c \quad \text{si } F_c = \text{Factor de carga} = 1.4$$

$$M_u = 1.36 \text{ Tn.m} \times 1.4 = 1.90 \text{ Tn.m.}$$

Si  $M_u/bd^2$  = al 75% del porcentaje balanceado (ver gráfica del momento resistente, fig. 3 ) si la resistencia del concreto  $f'_c = 250 \text{ Kg/cm}^2$ .  $M_u/bd^2 = 44.8$

Donde:

$M_u$  = Momento último de diseño

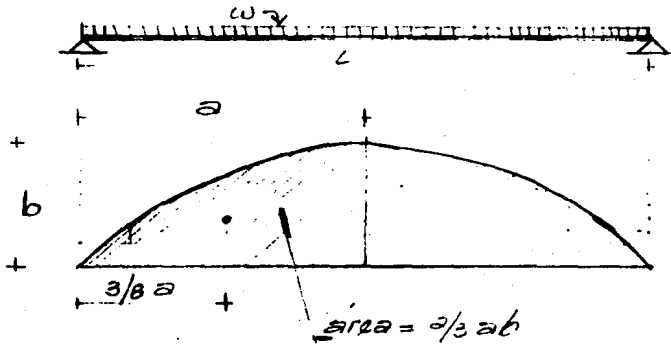
b = Ancho unitario de un metro.

d = Peralte

$$M_u/bd^2 = 44.8 ; d = \sqrt{M_u/bx44.8} = \sqrt{1.9 \times 10^5 / (100 \times 44.8)} \approx 7 \text{ cmts.}$$

$$d = 7 + 3 \text{ cmts de recubrimiento} = 10 \text{ cmts.}$$

REVISION POR FLECHA



$$a = L/2 ; \quad b = wL^2/8$$

$$\begin{aligned} A &= ab^2/3 = L/2(wL^2/8)^2/3 = wL^3/24 \\ &= (wL^3/24)L/2 - (wL^2/8)(L/2)(3/8)(L/2)(2/3) \\ &= wL^4/48 - 3wL^4/384 = (8wL^4/384) - (3wL^4/384) \\ &= 5wL^4/384 \text{ EI} \end{aligned}$$

$$w = 0.84 \text{ Tn/m}$$

$$L = 3.6 \text{ m}$$

$$E = 10000 \sqrt{f_c} = 158,100 \text{ Kg/cm}^2 = 1,581,000 \text{ Tn/m}^2$$

$$I = 100 \times 10^3 / 12 = 8333 \text{ cm}^4 = 0.000083 \text{ m}^4 = 8.3 \times 10^{-5} \text{ m}^4$$

Deflexión máxima instantánea.  $\Delta_c$

$$\Delta_c = 5wL^4/384 \text{ EI} = (5 \times 0.84 \times 3.6^4) / 384 \times 1581,000 \times 8.3 \times 10^{-5}$$

$$\Delta_c = 0.0139 \text{ mts} = 1.39 \text{ cmts.}$$

$$\text{Deflexión permisible} = \text{claro}/500 + 0.5 = 360/500 + 0.5$$

$1.22 < 1.39$ , por lo tanto la sección no pasa.

Si  $d = 15$  cmts. (peralte efectivo = 12 cm )

$$I = 100 \times 15^3 / 12 = 28125 \text{ cm}^4 = 2.8 \times 10^{-4} \text{ m}^4$$

$$\Delta i = (5 \times 0.84 \times 3.6^4) / 384 \times 1581140 \times 0.0002813 = 0.0041 \text{ mts.}$$

$$\Delta i = 0.41 \text{ cmts.}$$

$$M = 1.36 \times 10^5 \times 1.4 / 100 \times 12^2 = 14 = \text{de las gráficas del momento resistente } q = 0.004 = A_s = 0.004 \times 100 \times 12 = 4.8 \text{ cm}^2$$

$$\text{Separación} = 0.71 / 4.8 = \#3 \text{ a } 12 \text{ cm.}$$

Deflexión diferida  $\Delta d$

$$\Delta d = \Delta i (2 - 1.2 A_s / A_c)$$

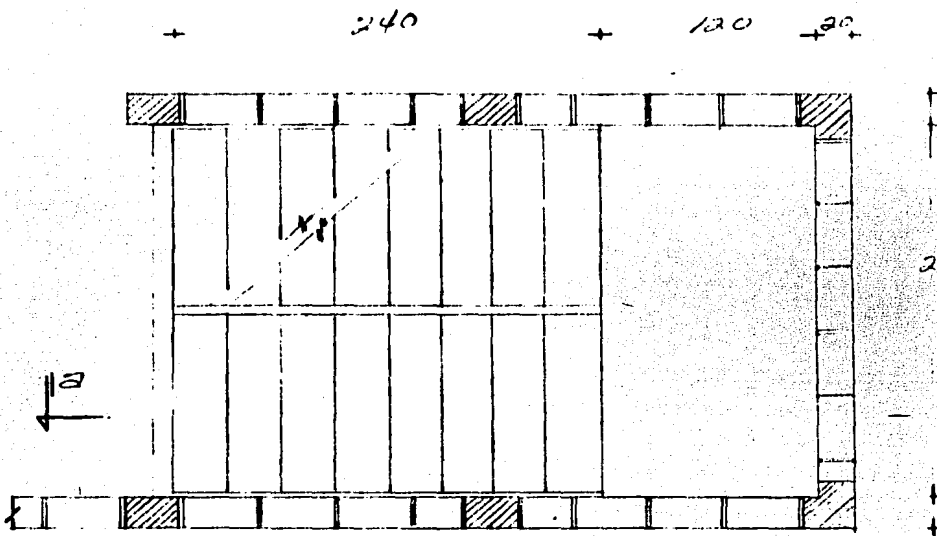
$$\Delta d = 0.41 (2 - 1.2 \times 0.0 / 4.8) = 0.8 \text{ cmts.}$$

Deflexión total =  $0.41 + 0.8 = 1.21$  cmts. Menor que la flecha permisible, por lo tanto es aceptable el peralte de 15 cmts.

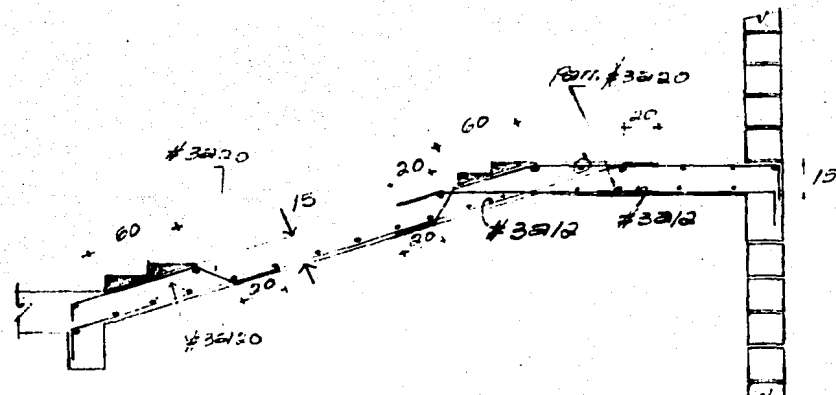
DONDE:

$A_s$  = Área de acero en compresión.

$A_c$  = Área de acero en tensión.



PLANTA ESCALERA TIPO



CORTE a — a

### CAPITULO III

#### REVISION POR SISMO DE LOS MUROS DE CARGA.

##### a) Fuerza cortante sísmica en la base del edificio

$$V = c / Q \quad W_s$$

Donde:

c = Coeficiente sísmico igual a 0.08

Q = Coeficiente de ductilidad igual a 1.5

W<sub>s</sub> = Peso total del edificio considerando  
una carga viva de 180 Kg/m<sup>2</sup> para -  
análisis por sismo

$$A = 433 \text{ m}^2 ; \quad L_m = 155 \text{ mts.}$$

$$W_s = [(W_M + W_{V_s}) Atrib + W_m h_l] \quad 8 \text{ niveles}$$

$$W_s = [(600 + 180) 433 + 260 \times 2.95 \times 155] \quad 8 \text{ niveles}$$

$$W_s = 3650 \text{ Tn.}$$

$$V = 0.08 \times 3650 / 1.5 = 195 \text{ Tn} \quad \text{Tanto en dirección "X"} \\ \text{como en "Y"}$$

##### b) Fuerza cortante sísmica en cada muro de planta baja

$$V_i = VD_i + VT_i$$

Donde:

VD<sub>i</sub> = Cortante directo

VT<sub>i</sub> = Cortante por torsión

VD<sub>i</sub> = (K<sub>i</sub> / Σ K<sub>i</sub>) V.

$$K_i = 1 / [H (H^2 / 3 EI + 1 / AG)]$$

$$H = 2.95 \text{ Mts.}$$

$$E = 600 f_m^+ = 14,500 \text{ Kg/cm}^2$$

$$G = 0.3E = 4320 \text{ Kg/cm}^2$$

$$A = tL$$

$$I = tL^3/12 = 1.667 \text{ L}^3$$

Para el muro 1

$$L = 470 \text{ cm.}$$

$$A = 20 \times 470 = 9400 \text{ cm}^2$$

$$I = 1.667 (470)^3 = 1.73 \times 10^8 \text{ cm}^4$$

$$K_1 = 1/295 [295^2/3 \times 14500 \times 1.73 \times 10^8 + 1/(9400 \times 4320)]$$

$$K_1 = 94,000 \text{ Kg/cm} = 9400 \text{ Tn/m.}$$

$$V_{D1} = (9400/162,481) 195 = 11.28 \text{ Tn.}$$

Cortante por Torsión (VTi) en Muros de P.B.

$$VTi = M_T (Kidi / Kidi^2)$$

$$M_T = V (1.5e \pm 0.10 L)$$

DONDE:

V = Fuerza cortante.

e = excentricidad en la dirección x ó y.

L = La mayor dimensión de la planta considerada del edificio medida perpendicularmente a la dirección del sismo.

CENTRO DE CARGAS:

$$\bar{x} = 19.01 \text{ mts.}$$

$$\bar{y} = 5.64 \text{ mts.}$$

Excentricidad en x:

$$ex = 19.94 - 19.01 = 0.93 \text{ mts}$$

CENTRO DE RIGIDEZES:

$$\bar{x} = 19.94 \text{ mts.}$$

$$\bar{y} = 6.03 \text{ mts.}$$

Excentricidad en y:

$$ey = 6.03 - 5.68 = 0.35 \text{ mts.}$$

Si  $V = 195$  Tn.

$$M_{Tx} = 195(1.5 \times 0.93 + 0.10 \times 13.50) = 535.30 \text{ Tn.m.}$$

$$M_{Ty} = 195(1.5 \times 0.35 + 0.10 \times 37.80) = 839.47 \text{ Tn.m.}$$

Para el muro 1

$$Kidi = 176,626$$

$$Kidi^2 = 21,121,770$$

$$Vti = 839.47 \times 176,626 / 21,121,770 = 7.02 \text{ Tn.}$$

Fuerza Cortante Total de Diseño en los Muros de P.B.

$$Vu = 1.1 (VD + VT)$$

Por ejemplo: para el muro 3

$$Vu_3 = 1.1 (13.80 + 6.66) = 22.50 \text{ Tn.}$$

Fuerza Cortante Resistente de los Muros de P.B.

$$VR = FR (0.5 v^+ At + 0.3 P) \leq 1.5 FR v^+ At.$$

$$v^+ = 3.5 \text{ Kg/cm}^2$$

$$FR = 0.6$$

$$P = [(W_M + W_{Va}) Atrib. + W \text{ muro} \times L] 4 \text{ niveles}$$

$$W_M = 600 \text{ Kg/m}^2$$

$$W_{Va} = 180 \text{ Kg/m}^2$$

At = Área transversal del muro.

$$P = [(600 + 180) Atrib. + 260 \times 2.95 L] 4$$

$$P = (3120 \text{ Atrib.} + 3068 L)$$

$$VR = 0.6 (0.5 \times 3.5 At + 0.3 P) \leq 1.5 \times 0.6 \times 3.5 \times At$$

$$VR = (1.05 At + 0.18 P) \leq 3.15 At$$

Por ejemplo para el muro 3

$$L = 530 \text{ cmts} ; A = 24 \text{ m}^2$$

$$P = (3120 \times 24 + 3068 \times 5.3) = 91,140 \text{ Kg.}$$

$$VR = (1.05 \times 20 \times 530 + 0.18 \times 91,140) = 27.5 \text{ Tn} > Vu$$

DIRECCION Y - Y

MURO	dm	Ki	VD	Kidi	Kidi <sup>2</sup>
1	18.79	9400	11.28	176,626	3,320,000
1°	-19.01	9400	11.28	178,700	3,397,000
2	18.79	1360	1.63	25,560	480,200
2°	-19.01	1360	1.63	25,860	491,500
3	14.59	11500	13.80	167,800	2,448,000
3°	2.00	11500	13.80	23,000	46,000
3''	-14.81	11500	13.80	170,320	2,522,340
4	14.59	2280	2.73	33,270	485,340
4°	2.00	2280	2.73	4,560	9,120
4''	-14.81	2280	2.73	33,770	500,100
5	10.39	1651	1.98	17,160	178,230
5°	-2.21	1651	1.98	3,650	8,100
5''	-10.61	1651	1.98	17,560	185,860
6	10.39	10500	12.60	109,100	1,133,500
6°	-2.21	10500	12.60	23,205	51,280
6''	-10.61	10500	12.60	111,405	1,182,000
7	6.20	21200	25.40	131,440	814,930
7°	-6.41	21200	25.40	135,900	871,100
12	19.29	1560	1.87	30,100	580,500
12°	18.29	1560	1.87	28,530	521,900
12'	6.69	1560	1.87	10,450	70,000
12''	5.69	1560	1.87	8,880	50,500
12'''	-5.91	1560	1.87	9,220	54,500
12	-6.91	1560	1.87	10,780	74,500
12	-18.51	1560	1.87	28,880	534,500
12	-19.51	1560	1.87	30,440	594,000
13 (9)	-	136	0.16	-	-
14	9.30	3532	4.23	32,850	305,483
15	17.70	3532	4.23	62,516	1,106,540

Continuación.

MURO	V <sub>T</sub>	V <sub>u</sub> (Tn)	P (Tn)	VR (Tn)
1	7.02	20.13	42.55	18.53
1°	- 7.10	4.60	42.55	18.53
2	1.01	2.90	17.10	7.00
2°	1.03	0.70	17.10	7.00
3	6.60	22.50	88.10	27.00
3°	- 0.91	14.18	88.10	27.00
3''	- 6.77	7.73	88.10	27.00
4	1.32	4.45	40.00	12.03
4'	- 0.18	2.80	40.00	12.03
4''	- 1.34	1.53	40.00	12.03
5	0.68	2.93	44.30	12.18
5°	- 0.14	2.02	44.30	12.18
5''	- 0.58	1.54	44.30	12.18
6	4.33	18.62	85.81	26.00
6°	- 0.92	12.85	85.81	26.00
6''	- 4.42	9.00	85.81	26.00
7	5.22	33.68	128.04	40.50
7°	- 5.40	22.00	128.04	40.50
12	1.20	3.38	10.81	6.15
12°	1.13	3.30	10.81	6.15
12°	0.41	2.50	10.81	6.15
12''	0.35	2.45	10.81	6.15
12'''	- 0.36	1.66	10.81	6.15
12 <sup>IV</sup>	- 0.42	1.60	10.81	6.15
12 <sup>V</sup>	- 1.14	0.80	10.81	6.15
12 <sup>VI</sup>	- 1.21	0.73	10.81	6.15
14	- 1.30	3.22	23.60	9.71
15	- 2.48	2.00	17.34	8.60

DIRECCION X-X

MURO		dm	Ki	VD	Kidi	Kidi <sup>2</sup>
8	+	1.86	4700	7.35	8,750	16,260
8'	+	1.86	4700	7.35	8,750	16,260
8''	+	1.86	4700	7.35	8,750	16,260
9	-	1.80	7110	11.12	12,800	23,100
9'	-	1.80	7110	11.12	12,800	23,100
9''	-	1.80	7110	11.12	12,800	23,100
10 (6)	-	3.34	4100	6.40	13,700	45,740
11 (3)	+	1.56	6100	9.53	9,520	14,850
14 (7)	+	3.47	785	1.22	2,720	9,500
15 (2)	-	2.20	340	0.53	750	1,700
15'(2)	-	3.80	340	0.53	1,300	4,900
16	-	5.64	19760	30.80	111,446	628,558
17	-	8.24	19760	30.80	162,822	1,341,657
				124705	21,121,770	

NOTA:

( ) Número de muros.

MURO	VT	Vu (Tn)	P (Tn)	VR (Tn)
8	+ 0.22	8.32	23.40	10.72
8'	+ 0.22	8.32	23.40	10.72
8..	+ 0.22	8.32	23.40	10.72
9	- 0.32	11.88	59.10	18.41
9'	- 0.32	11.88	59.10	18.41
9..	- 0.32	11.88	59.10	18.41
10	- 0.35	6.65	31.50	11.97
11	+ 0.24	10.74	23.40	10.72
14	0.06	1.40	9.00	3.10
15	- 0.02	0.56	18.20	7.48
15..	- 0.02	0.56	10.00	7.48
16	- 2.81	30.79	84.40	33.04
17	- 4.12	29.32	81.90	32.60

## NOTA:

En caso de presentarse un sismo, los muros de carga son lo suficientemente rígidos para tomar las fuerzas cortantes que les corresponden. Ya que se puede apreciar en las tablas anteriores que el cortante resistente (VR) es mayor que el cortante actuante (Vu).

## MUROS DE MAMPOSTERIA CONFINADOS POR MARCOS DE CONCRETO<sup>++</sup>

Se ha reconocido que inicialmente la mampostería y el marco trabajan monolíticamente como una sola unidad en la cual son importantes las deformaciones por flexión y por cortante.

En la mampostería aparecen fuerzas de compresión diagonal que pueden producir fallas por compresión en las esquinas en contacto con el marco. En la dirección de la otra diagonal aparecen esfuerzos de tensión en mampostería que pueden ocasionar agrietamiento diagonal del muro.

Para el cálculo de la rigidez lateral y de los elementos mecánicos en la mampostería y en el marco, una posible idealización es simular cada tablero de mampostería como una diagonal equivalente en compresión. Se propone que la diagonal equivalente tenga el mismo espesor,  $t$ , y módulo de elasticidad,  $E$ , que el tablero de la mampostería y que su ancho sea:

$$W_0 = (0.35 + 0.022\lambda) h$$

DONDE:

$$\lambda = E_c A_c / G_m A_m$$

$h$  = Altura del tablero entre ejes.

$\lambda$  = Parámetro adimensional basado en las rigideces del tablero de mampostería y el marco.

<sup>++</sup> Ver Manual de Diseño Sísmico de Edificios, Roberto Meli, Instituto de Ingeniería, UNAM, Septiembre de 1983.

Por ejemplo para el muro eje 47 o muro 1

Propiedades Geométricas:

$$A_c = 20 \times 40 = 800 \text{ cm}^2$$

$$A_m = 157 \times 20 = 3140 \text{ cm}^2$$

$$E_c = 10,000 \sqrt{250} = 158,100 \text{ Kg/cm}^2$$

$$E_m = 600 \text{ f}_m^t = 600 \times 24 \text{ Kg/cm}^2 = 14,400 \text{ Kg/cm}^2$$

$$G_m = 0.3E = 0.3 \times 14,400 = 4,320 \text{ Kg/cm}^2$$

$$\lambda = E_c A_c / G_m A_m = 158,100 \times 800 / 4,320 \times 3,140 = 9.3$$

$$W_o = (0.35 + 0.022 \times 9.3) 3.2 = 1.77 \text{ mts.}$$

Si  $E_c/E_m = 158,100 / 14,400 = 11$  (transformación de la mampostería a concreto)

$$\therefore W_o = 177 \text{ cm} / 11 = 16 \text{ cm.}$$

OBTENCION DE LAS FUERZAS HORIZONTALES EN CADA NIVEL.

$$V = (c/Q) W_s.$$

$$\text{Si } c = 0.08$$

$$Q = 1.5$$

$$A = 433 \text{ m}^2$$

$$L_m = 155 \text{ mts. lineales.}$$

$W_s$  = Peso del nivel.

$$W_s = [(W_m + W_{vs}) \text{ Atrib.} + W_m h L] \# \text{ niveles.}$$

$$W_s = [(600 + 180) 433 + 260 \times 2.95 \times 155] \# \text{ niveles.}$$

$$W_s = (456,625) \# \text{ niveles.}$$

$W_{s1} = 3,650 \text{ Tn.}$   
 $W_{s2} = 3,196 \text{ Tn.}$   
 $W_{s3} = 2,740 \text{ Tn.}$   
 $W_{s4} = 2,283 \text{ Tn.}$   
 $W_{s5} = 1,828 \text{ Tn.}$   
 $W_{s6} = 1,370 \text{ Tn.}$   
 $W_{s7} = 913 \text{ Tn.}$   
 $W_{s8} = 456 \text{ Tn.}$

Cortante sísmica en los diferentes niveles :

$V_{niv1} = 0.08 \times 3,650 / 1.5 = 195 \text{ Tn.}$   
 $V_{niv2} = 0.08 \times 3,196 / 1.5 = 170 \text{ Tn.}$   
 $V_{niv3} = 0.08 \times 2,740 / 1.5 = 146 \text{ Tn.}$   
 $V_{niv4} = 0.08 \times 2,283 / 1.5 = 122 \text{ Tn.}$   
 $V_{niv5} = 0.08 \times 1,826 / 1.5 = 97 \text{ Tn.}$   
 $V_{niv6} = 0.08 \times 1,370 / 1.5 = 73 \text{ Tn.}$   
 $V_{niv7} = 0.08 \times 913 / 1.5 = 48 \text{ Tn.}$   
 $V_{niv8} = 0.08 \times 456 / 1.5 = 24 \text{ Tn.}$

Para el muro 1

$$K_i = 94,000 \text{ Kg/cm}^2 = 9,400 \text{ Tn/m}$$
$$K_i = 162,481$$

Cortante Directo.

$$V_D = (K_i / \sum K_i) V$$

$$\begin{aligned}
 VD1 &= (9,400/162,481) 195 = 11.28 \text{ Tn.} \\
 VD2 &= (9,400/162,481) 170 = 9.83 \text{ Tn.} \\
 VD3 &= (9,400/162,481) 146 = 8.45 \text{ Tn.} \\
 VD4 &= (9,400/162,481) 122 = 7.06 \text{ Tn.} \\
 VD5 &= (9,400/162,481) 97 = 5.61 \text{ Tn.} \\
 VD6 &= (9,400/162,481) 73 = 4.22 \text{ Tn.} \\
 VD7 &= (9,400/162,481) 48 = 2.78 \text{ Tn.} \\
 VD8 &= (9,400/162,481) 24 = 1.39 \text{ Tn.}
 \end{aligned}$$

### Cortante por Torsión

$$V_t = M_t (K_i d_i / \sum K_i d_i^2)$$

$$K_i d_i^2 = 21,121,770$$

$$K_i d_i = 176,626$$

$$M_{ty} = V_y e_x = V (1.5 \times 0.35 + 0.10 \times 37.8) = 4.3 V$$

$$M_{ty} = V (4.30)$$

$$M_{t1} = 195 \times 4.30 = 838.50 \text{ Tn.m.}$$

$$M_{t2} = 170 \times 4.30 = 731.00 \text{ Tn.m.}$$

$$M_{t3} = 146 \times 4.30 = 628.00 \text{ Tn.m.}$$

$$M_{t4} = 122 \times 4.30 = 524.60 \text{ Tn.m.}$$

$$M_{t5} = 97 \times 4.30 = 417.10 \text{ Tn.m.}$$

$$M_{t6} = 73 \times 4.30 = 313.90 \text{ Tn.m.}$$

$$M_{t7} = 48 \times 4.30 = 206.40 \text{ Tn.m.}$$

$$M_{t8} = 24 \times 4.30 = 103.20 \text{ Tn.m.}$$

$$V_t = M_t (176,626/21,121,770) = 0.008362 \text{ Mt.}$$

$$V_{t1} = 838.50 \times 0.00836 = 7.01 \text{ Tn.}$$

$$V_{t2} = 731.00 \times 0.00836 = 6.11 \text{ Tn.}$$

$$V_{t3} = 628.00 \times 0.00836 = 5.25 \text{ Tn.}$$

$$V_{t4} = 524.00 \times 0.00836 = 4.38 \text{ Tn.}$$

$$V_{t5} = 417.00 \times 0.00836 = 3.49 \text{ Tn.}$$

$$V_{t6} = 313.90 \times 0.00836 = 2.62 \text{ Tn.}$$

$$V_{t7} = 206.40 \times 0.00836 = 1.72 \text{ Tn.}$$

$$V_{t8} = 103.20 \times 0.00836 = 0.86 \text{ Tn.}$$

#### Fuerza Cortante Sísmica en cada Nivel.

$$V_i = VD_i + Vt_i$$

$$V_1 = (11.28+7.01) 1.1 = 20.12 \text{ Tn.}$$

$$V_2 = (9.83+6.11) 1.1 = 17.53 \text{ Tn.}$$

$$V_3 = (8.45+5.25) 1.1 = 15.07 \text{ Tn.}$$

$$V_4 = (7.06+4.38) 1.1 = 12.60 \text{ Tn.}$$

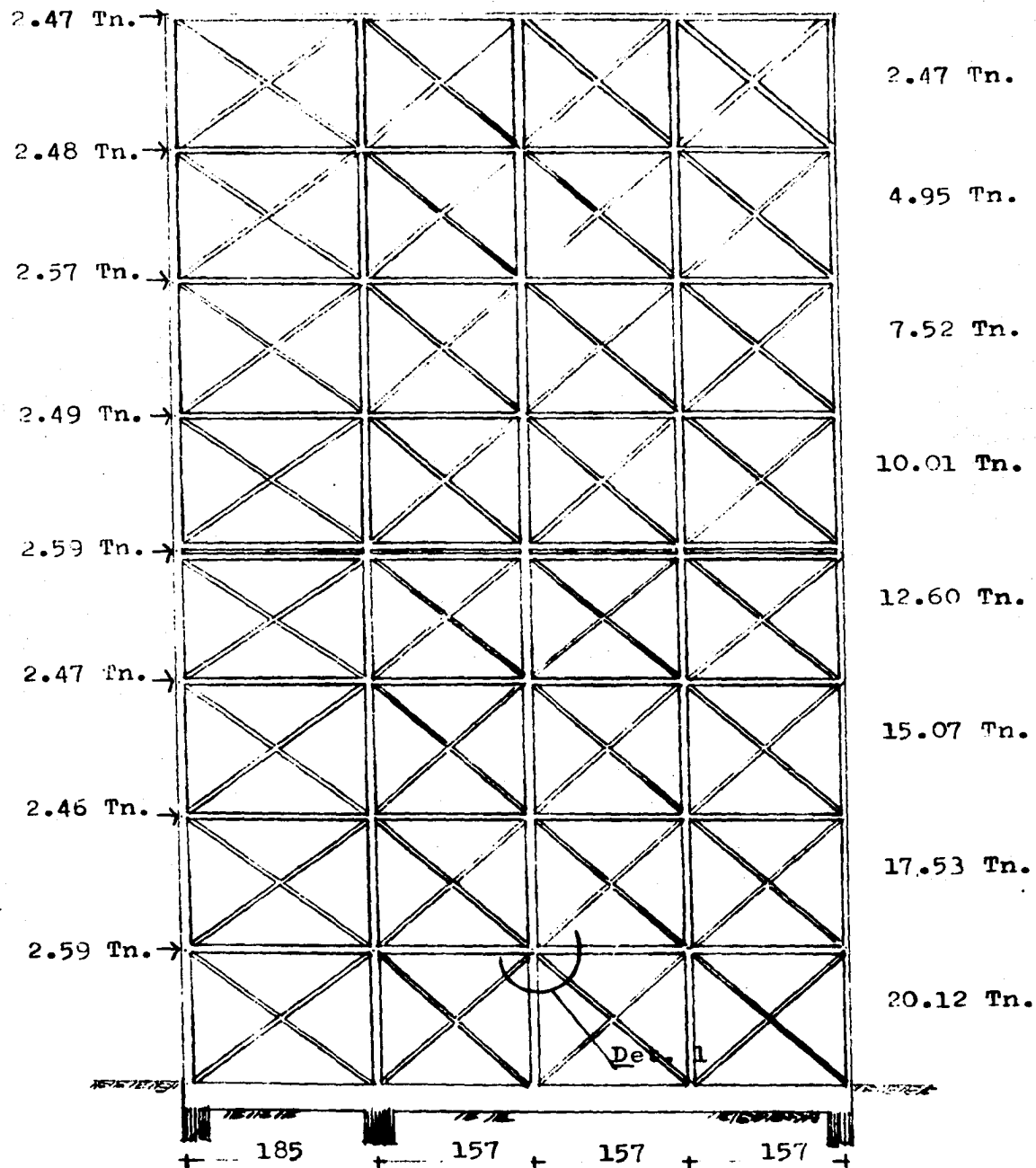
$$V_5 = (5.61+3.49) 1.1 = 10.01 \text{ Tn.}$$

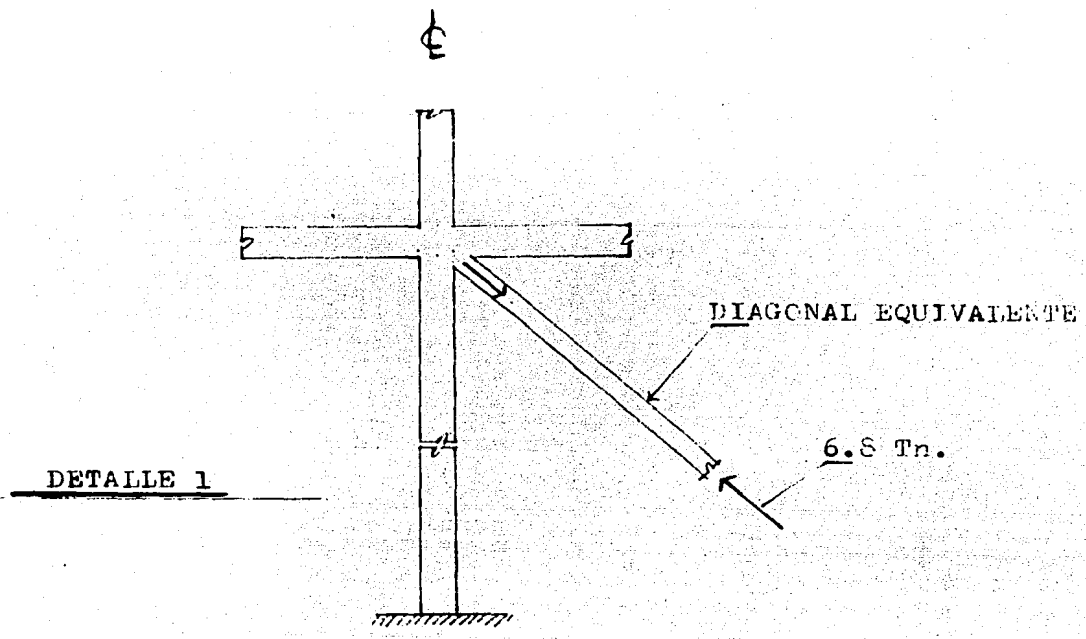
$$V_6 = (4.22+2.62) 1.1 = 7.52 \text{ Tn.}$$

$$V_7 = (2.78+1.72) 1.1 = 4.95 \text{ Tn.}$$

$$V_8 = (1.39+0.86) 1.1 = 2.47 \text{ Tn.}$$

MURO 1 O MARCO EJE 47





**Resistencia de la diagonal equivalente en compresión:**

$$PR = FR \cdot FE \cdot f_m^+ \cdot A_t$$

$$f_m^+ = 24 \text{ Kg/m}^2$$

$$FR = 0.6$$

$$FE = 0.7$$

$$A_t = 20 \times 177 \text{ cm.}$$

$$PR = 0.6 \times 0.7 \times 24 \times 20 \times 177 = 35,680 \text{ Kg.}$$

$PR = 36.68 \text{ Tn.} > 6.8 \text{ Tn.}$ , por lo tanto la fuerza de compresión diagonal actuante es menor que la fuerza resistente.

**NOTA:** Los elementos mecánicos se obtuvieron por medio de un programa de análisis matricial.

## \*\*\*\*\* NUMERACION DE NUDOS \*\*\*\*\*

eje	1	2	3	4	5
-----	---	---	---	---	---

nivel

8	41	42	43	44	45
7	36	37	38	39	40
6	31	32	33	34	35
5	26	27	28	29	30
4	21	22	23	24	25
3	16	17	18	19	20
2	11	12	13	14	15
1	6	7	8	9	10
0	1	2	3	4	5

## \*\*\*\*\* NUMERACION DE TRAMES \*\*\*\*\*

crujia

1	2	3	4
---	---	---	---

nivel

8	8	16	24	32
7	7	15	23	31
6	6	14	22	30
5	5	13	21	29
4	4	12	20	28
3	3	11	19	27
2	2	10	18	26
1	1	9	17	25

## \*\*\*\*\* NUMERACION DE COLUMNAS \*\*\*\*\*

eje

1	2	3	4	5
---	---	---	---	---

nivel

8	40	48	56	64	72
7	39	47	55	63	71
6	38	46	54	62	70
5	37	45	53	61	69
4	36	44	52	60	68
3	35	43	51	59	67
2	34	42	50	58	66
1	33	41	49	57	65

## \*\*\*\*\* NUMERACION DE INCLINADOS / \*\*\*\*\*

crujia

1	2	3	4
---	---	---	---

nivel

8	88	104	120	136
7	86	102	118	134
6	84	100	116	132
5	82	98	114	130
4	80	96	112	128
3	78	94	110	126
2	76	92	108	124
1	74	90	106	122

## \*\*\*\*\* NUMERACION DE INCLINADOS \ \*\*\*\*\*

crujia

1 2 3 4

nivel

8	87	103	119	135
7	85	101	117	133
6	83	99	115	131
5	81	97	113	129
4	79	95	111	127
3	77	93	109	125
2	75	91	107	123
1	73	89	105	121

\*\*\*\*\* PROPIEDADES EN TRABES \*\*\*\*\*

crujia

1 2 3 4

nivel

8	4	4	4	4
7	4	4	4	4
6	4	4	4	4
5	4	4	4	4
4	5	5	5	5
3	4	4	4	4
2	4	4	4	4
1	4	4	4	4

\*\*\*\*\* PROPIEDADES EN COLUMNAS \*\*\*\*\*

eje

1 2 3 4 5

nivel

8	3	3	3	3	3
7	3	3	3	3	3
6	2	2	2	2	2
5	2	2	2	2	2
4	1	1	1	1	1
3	1	1	1	1	1
2	1	1	1	1	1
1	1	1	1	1	1

\*\*\*\*\* PROPIEDADES EN INCLINADOS /\*\*\*\*\*

eje

1 2 3 4

nivel

8	6	6	6	6
7	6	6	6	6
6	6	6	6	6
5	6	6	6	6
4	6	6	6	6
3	6	6	6	6
2	6	6	6	6
1	6	6	6	6

\*\*\*\*\* PROPIEDADES EN INCLINADOS \\*\*\*\*\*

eje

1 2 3 4

nivel

8	6	6	6	6
7	6	6	6	6
6	6	6	6	6

5  
4  
3  
2  
1

6 6 6 6  
6 6 6 6  
6 6 6 6  
6 6 6 6  
6 6 6 6  
6 6 6 6

---

## ANALISIS DE MARCOS PLANOS -----AMC (1987)

Si considerar acortamiento y alargamiento en traves

## MARCO EJE 47 o MURO 1

# DE PUNTOS----->	45
# DE PROPIEDADES----->	6
# DE ELEMENTOS----->	136
# DE NIVELES SUPERIORES----->	8
# DE CONDICIONES----->	1
# DE COMBINACIONES----->	1

NODOS	COORDENADA		ALFA TRA	ALF COL
	X	Y		
1	.000	.000	.000	.000
2	185.000	.000	.000	.000
3	342.000	.000	.000	.000
4	499.000	.000	.000	.000
5	656.000	.000	.000	.000
6	.000	320.000	.000	.000
7	185.000	320.000	.000	.000
8	342.000	320.000	.000	.000
9	499.000	320.000	.000	.000
10	656.000	320.000	.000	.000
11	.000	640.000	.000	.000
12	185.000	640.000	.000	.000
13	342.000	640.000	.000	.000
14	499.000	640.000	.000	.000
15	656.000	640.000	.000	.000
16	.000	960.000	.000	.000
17	185.000	960.000	.000	.000
18	342.000	960.000	.000	.000
19	499.000	960.000	.000	.000
20	656.000	960.000	.000	.000
21	.000	1280.000	.000	.000
22	185.000	1280.000	.000	.000
23	342.000	1280.000	.000	.000
24	499.000	1280.000	.000	.000
25	656.000	1280.000	.000	.000
26	.000	1600.000	.000	.000
27	185.000	1600.000	.000	.000
28	342.000	1600.000	.000	.000
29	499.000	1600.000	.000	.000
30	656.000	1600.000	.000	.000
31	.000	1920.000	.000	.000
32	185.000	1920.000	.000	.000
33	342.000	1920.000	.000	.000
34	499.000	1920.000	.000	.000
35	656.000	1920.000	.000	.000
36	.000	2240.000	.000	.000
37	185.000	2240.000	.000	.000
38	342.000	2240.000	.000	.000
39	499.000	2240.000	.000	.000
40	656.000	2240.000	.000	.000
41	.000	2560.000	.000	.000
42	185.000	2560.000	.000	.000
43	342.000	2560.000	.000	.000
44	499.000	2560.000	.000	.000
45	656.000	2560.000	.000	.000

NUDO      INDICADOR      1=FIJO      0=LIBRE

	X	Y	G
1	1	1	1
2	1	1	1
3	1	1	1
4	1	1	1
5	1	1	1

\*\*\* CARGAS DISTRIBUIDAS \*\*\* (+ EN EL SENTIDO "Y" DE LA BARRA)

CONDICION 1

ELEMENTO      WI      WF      LONGITUD

---- NO HAY CARGAS----

\*\*\* CARGAS CONCENTRADAS \*\*\* (+ EN EL SENTIDO "Y" DE LA BARRA)

CONDICION 1

ELEMENTO      F      DISTANCIA AL NUDO ORIGEN

---- NO HAY CARGAS----

\*\*\*\*\* FACTORES DE COMBINACION \*\*\*\*\*

CONDICION

COMBINACION 1 1.00

VARIACION DEL CONCRETO EN TRABES (E=10\*FC^.5) Gc=E/2.36 Gs=E/2.6

fc1	h1	fc2	h2	fc3
250.0	1000.0	250.0	2000.0	250.0

VARIACION DEL CONCRETO EN COLUMNAS (E=10\*FC^.5) Gc=E/2.36 Gs=E/2.6

fc1	h1	fc2	h2	fc3
250.0	1000.0	250.0	2000.0	250.0

\*\*\*\*\* PROPIEDADES \*\*\*\*\*

#PRO	AREA	INERCIA	FACTOR DE FORMA
1	.8000E+03	.1067E+06	.1200E+01

2	.5000E+03	.4500E+05	.1000E+01
3	.4000E+03	.1333E+05	.1200E+01
4	.6000E+03	.4500E+05	.1200E+01
5	.1900E+04	.4950E+06	.1200E+01
6	.3200E+03	.1067E+05	.1200E+01

\*\*\*\*\* CONECTIVIDADES \*\*\*\*\*

ELEMENTO	PROPIEDAD	ORIGEN	DESTINO	PROF 2	ALFA L	KF	FT
1	4	6	7				
2	4	11	12				
3	4	16	17				
4	5	21	22				
5	4	26	27				
6	4	31	32				
7	4	36	37				
8	4	41	42				
9	4	7	8				
10	4	12	13				
11	4	17	18				
12	5	22	23				
13	4	27	28				
14	4	32	33				
15	4	37	38				
16	4	42	43				
17	4	8	9				
18	4	13	14				
19	4	18	19				
20	5	23	24				
21	4	28	29				
22	4	33	34				
23	4	38	39				
24	4	43	44				
25	4	9	10				
26	4	14	15				
27	4	19	20				
28	5	24	25				
29	4	29	30				
30	4	34	35				
31	4	39	40				
32	4	44	45				
33	1	1	6				
34	1	6	11				
35	1	11	16				
36	1	16	21				
37	2	21	26				
38	2	26	31				
39	3	31	36				
40	3	36	41				
41	1	2	7				
42	1	7	12				
43	1	12	17				
44	1	17	22				
45	2	22	27				
46	2	27	32				
47	3	32	37				
48	3	37	42				
49	1	3	8				
50	1	8	13				
51	1	13	18				

52		18	23
53		23	28
54		28	33
55		33	38
56		38	43
57	1	4	9
58	1	9	14
59	1	14	19
60	1	19	24
61	2	24	29
62	2	29	34
63	3	34	39
64	3	39	44
65	4	5	10
66	4	10	15
67	4	15	20
68	4	20	25
69	5	25	30
70	5	30	35
71	5	35	40
72	6	40	45
73	6	6	2
74	6	1	7
75	6	11	7
76	6	6	12
77	6	16	12
78	6	11	17
79	6	21	17
80	6	16	22
81	6	26	22
82	6	21	27
83	6	31	27
84	6	26	32
85	6	36	32
86	6	31	37
87	6	41	37
88	6	36	42
89	6	7	3
90	6	2	8
91	6	12	8
92	6	7	13
93	6	17	13
94	6	12	18
95	6	22	18
96	6	17	23
97	6	27	23
98	6	22	28
99	6	32	28
100	6	27	33
101	6	37	33
102	6	32	38
103	6	42	38
104	6	37	43
105	6	8	4
106	6	3	9
107	6	13	9
108	6	8	14
109	6	18	14
110	6	13	19
111	6	23	19
112	6	18	24
113	6	28	24
114	6	23	29
115	6	33	29
116	6	28	34
117	6	38	34

118	33	39
119	43	39
120	38	44
121	9	5
122	9	10
123	6	10
124	9	15
125	9	15
126	9	20
127	6	20
128	6	25
129	6	25
130	6	30
131	6	30
132	6	35
133	6	35
134	6	40
135	6	40
136	6	45

\*\*\*\*\* CARGAS NODALES \*\*\*\*\*

CONDICION 1

NUDO	PX	PY	MF
10	2.4700	.0000	.0000
15	2.4800	.0000	.0000
20	2.5700	.0000	.0000
25	2.4900	.0000	.0000
30	2.5900	.0000	.0000
35	2.4700	.0000	.0000
40	2.4600	.0000	.0000
45	2.5900	.0000	.0000

memoria utilizada= 3369

\*\*\*\*\* FIN \*\*\*\*\*

NUMERO DE ECUACIONES -&gt; 120

NUDO COMBINACION	X (cm.)	Y (cm.)	DESPLAZAMIENTOS EN		FI DEL NUDO
			GIRO	DE	
1	.0000000	.0000000	.0000000	.0203655	
2	.0000000	.0000000	.0000000	.0343854	
3	.0000000	.0000000	.0000000	.0304315	
4	.0000000	.0000000	.0000000	.0304315	
5	.0000000	.0000000	.0000000	.0162425	
6	.1159286	.0695540	-.0004336	.3629980	
7	.1083136	.0244602	-.0003496	.7332679	
8	.1081880	-.0005444	-.0003288	.7815968	
9	.1121187	-.0260146	-.0003537	.7815968	
10	.1218750	-.0654126	-.0004400	.4171681	
11	.2772904	.1214017	-.0005171	.3629980	
12	.2712653	.0472206	-.0004735	.7332679	
13	.2711319	-.0013968	-.0004513	.7815968	
14	.2755489	-.0504032	-.0004733	.7815968	
15	.2843264	-.1138349	-.0005163	.4171681	
16	.4705470	.1587913	-.0006183	.3629980	
17	.4662261	.0650423	-.0005784	.7332679	
18	.4663287	-.0021208	-.0005619	.7815968	
19	.4701991	-.0695283	-.0005734	.7815968	
20	.4775991	-.1489447	-.0006079	.4171681	
21	.6816483	.1841535	-.0006020	5.2011790	
22	.6806914	.0779923	-.0005531	10.3538000	
23	.6809389	-.0024665	-.0005201	11.0949200	
24	.6822445	-.0831534	-.0005552	11.0949200	
25	.6843758	-.1732107	-.0005983	6.0599220	
26	.9067581	.2045848	-.0006923	.7941298	
27	.9048103	.0876794	-.0006512	1.4914600	
28	.9055520	-.00027549	-.0006338	1.5791020	
29	.9087147	-.0933761	-.0006537	1.5791020	
30	.9142271	-.1930900	-.0006972	.9051461	
31	1.1364650	.2158561	-.0006935	1.1425490	
32	1.1355520	.0938388	-.0006652	2.0305340	
33	1.1365890	-.0032298	-.0006497	2.1396530	
34	1.1396640	-.1004671	-.0006660	2.1396530	
35	1.1443300	-.2041277	-.0006920	1.2936910	
36	1.3651920	.2223198	-.0006905	2.0356990	
37	1.3650850	.0976480	-.0006705	3.1798660	
38	1.3663890	-.0037904	-.0006577	3.3171970	
39	1.3692320	-.1052324	-.0006708	3.3171970	
40	1.3732690	-.2109777	-.0006897	2.2667010	
41	1.5879170	.2237412	-.0006841	3.9571880	
42	1.5882420	.0986859	-.0006694	6.2106170	
43	1.5896490	-.0043371	-.0006586	6.5052380	
44	1.5925160	-.1073264	-.0006684	6.5052380	
45	1.5964550	-.2130964	-.0006833	4.4451480	

COMBINACION	ELEMENTO	NORMAL (Tn)	CORTANTE (Tn)	MOMENTO (Tn-cm)
1	1 ORIGEN DESTINO	.390495E+01 -.390495E+01	-.343287E+00 .343287E+00	-.349850E+02 -.285281E+02
1	2 ORIGEN DESTINO	.308969E+01 -.308969E+01	-.219023E+00 .219023E+00	-.219347E+02 -.185846E+02
1	3 ORIGEN DESTINO	.221574E+01 -.221574E+01	-.212686E+00 .212686E+00	-.212080E+02 -.181389E+02
1	4 ORIGEN DESTINO	.155389E+01 -.155389E+01	-.800790E-01 .800790E-01	-.281020E+02 .132872E+02
1	5 ORIGEN DESTINO	.998804E+00 -.998804E+00	-.925518E-01 .925518E-01	-.101429E+02 -.697918E+01
1	6 ORIGEN DESTINO	.468407E+00 -.468407E+00	-.460103E-01 .460103E-01	-.534386E+01 -.316804E+01
1	7 ORIGEN DESTINO	.548857E-01 -.548857E-01	-.152923E-01 .152923E-01	-.218579E+01 -.643317E+00
1	8 ORIGEN DESTINO	-.166329E+00 .166329E+00	-.181217E-02 .181217E-02	-.735955E+00 .400679E+00
1	9 ORIGEN DESTINO	.759555E-01 -.759555E-01	-.564857E+00 .564857E+00	-.452843E+02 -.433984E+02
1	10 ORIGEN DESTINO	.806041E-01 -.806041E-01	-.479608E+00 .479608E+00	-.386548E+02 -.366437E+02
1	11 ORIGEN DESTINO	-.619741E-01 .619741E-01	-.446980E+00 .446980E+00	-.358340E+02 -.343419E+02
1	12 ORIGEN DESTINO	-.473694E+00 .473694E+00	-.675843E+00 .675843E+00	-.694793E+02 -.366284E+02
1	13 ORIGEN DESTINO	-.448211E+00 .448211E+00	-.208787E+00 .208787E+00	-.171779E+02 -.156016E+02
1	14 ORIGEN DESTINO	-.626387E+00 .626387E+00	-.123034E+00 .123034E+00	-.103618E+02 -.895450E+01
1	15 ORIGEN DESTINO	-.788376E+00 .788376E+00	-.564611E-01 .564611E-01	-.500981E+01 -.385459E+01
1	16 ORIGEN DESTINO	-.850225E+00 .850225E+00	-.244419E-01 .244419E-01	-.240665E+01 -.143074E+01
1	17 ORIGEN DESTINO	-.237518E+01 .237518E+01	-.561999E+00 .561999E+00	-.429877E+02 -.452462E+02
1	18 ORIGEN DESTINO	-.266901E+01 .266901E+01	-.471396E+00 .471396E+00	-.360115E+02 -.379976E+02
1	19 ORIGEN DESTINO	-.233871E+01 .233871E+01	-.434180E+00 .434180E+00	-.335656E+02 -.346007E+02
1	20 ORIGEN DESTINO	-.249826E+01 .249826E+01	-.664851E+00 .664851E+00	-.347083E+02 -.696735E+02
1	21 ORIGEN DESTINO	-.191110E+01 .191110E+01	-.208934E+00 .208934E+00	-.155010E+02 -.173017E+02

1	22 ORIGEN DESTINO	- .185836E+01 - .185836E+01	- .120822E+00 - .120822E+00	- .874732E+01 - .102218E+02
1	23 ORIGEN DESTINO	- .171747E+01 - .171747E+01	- .569282E-01 - .569282E-01	- .387562E+01 - .506213E+01
1	24 ORIGEN DESTINO	- .171262E+01 - .171262E+01	- .236636E-01 - .236636E-01	- .141155E+01 - .230364E+01
1	25 ORIGEN DESTINO	- .589534E+01 - .589534E+01	- .457988E+00 - .457988E+00	- .320436E+02 - .398605E+02
1	26 ORIGEN DESTINO	- .530386E+01 - .530386E+01	- .284945E+00 - .284945E+00	- .204165E+02 - .243199E+02
1	27 ORIGEN DESTINO	- .447146E+01 - .447146E+01	- .266200E+00 - .266200E+00	- .193313E+02 - .224621E+02
1	28 ORIGEN DESTINO	- .407813E+01 - .407813E+01	- .880955E-01 - .880955E-01	.145963E+02 - .284276E+02
1	29 ORIGEN DESTINO	- .333085E+01 - .333085E+01	- .126538E+00 - .126538E+00	- .796324E+01 - .119032E+02
1	30 ORIGEN DESTINO	- .281961E+01 - .281961E+01	- .587560E-01 - .587560E-01	- .343333E+01 - .579138E+01
1	31 ORIGEN DESTINO	- .243969E+01 - .243969E+01	- .210779E-01 - .210779E-01	- .798683E+00 - .251059E+01
1	32 ORIGEN DESTINO	- .238013E+01 - .238013E+01	- .687017E-02 - .687017E-02	.135079E+00 - .121369E+01
1	33 ORIGEN DESTINO	- .274936E+02 - .274936E+02	- .275333E+00 - .275333E+00	.669064E+02 - .212001E+02
1	34 ORIGEN DESTINO	- .204946E+02 - .204946E+02	- .547125E-01 - .547125E-01	.131539E+02 - .435416E+01
1	35 ORIGEN DESTINO	- .147795E+02 - .147795E+02	- .685717E-01 - .685717E-01	.163060E+02 - .563692E+01
1	36 ORIGEN DESTINO	- .100253E+02 - .100253E+02	- .937843E-01 - .937843E-01	.141448E+02 - .158661E+02
1	37 ORIGEN DESTINO	- .605712E+01 - .605712E+01	- .458083E-01 - .458083E-01	.933873E+01 - .531994E+01
1	38 ORIGEN DESTINO	- .334154E+01 - .334154E+01	- .202617E-01 - .202617E-01	.326775E+01 - .321595E+01
1	39 ORIGEN DESTINO	- .127750E+01 - .127750E+01	- .556035E-02 - .556035E-02	.869913E+00 - .909416E+00
1	40 ORIGEN DESTINO	- .280925E+00 - .280925E+00	- .212288E-02 - .212288E-02	.297687E+00 - .381634E+00
1	41 ORIGEN DESTINO	- .966874E+01 - .966874E+01	- .309793E+00 - .309793E+00	.679924E+02 - .311413E+02
1	42 ORIGEN DESTINO	- .899684E+01 - .899684E+01	- .184831E+00 - .184831E+00	.361049E+02 - .230410E+02
1	43 ORIGEN DESTINO	- .704466E+01 - .704466E+01	- .157627E+00 - .157627E+00	.307473E+02 - .196931E+02

1	44 ORIGEN DESTINO	- .511892E+01 .511892E+01	.197731E+00 -.197731E+00	.303011E+02 .329728E+02
1	45 ORIGEN DESTINO	- .287188E+01 .287188E+01	.799178E-01 -.799178E-01	.149694E+02 .106043E+02
1	46 ORIGEN DESTINO	- .182604E+01 .182604E+01	.311284E-01 -.511284E-01	.849200E+01 .786909E+01
1	47 ORIGEN DESTINO	- .752845E+00 .752845E+00	.120819E-01 -.120819E-01	.196759E+01 .189860E+01
1	48 ORIGEN DESTINO	- .205140E+00 .205140E+00	.670768E-02 -.670768E-02	.106601E+01 .108045E+01
1	49 ORIGEN DESTINO	- .215181E+00 .215181E+00	.328739E+00 -.328739E+00	.699273E+02 .352694E+02
1	50 ORIGEN DESTINO	- .336937E+00 .336937E+00	.225473E+00 -.225473E+00	.425349E+02 .296166E+02
1	51 ORIGEN DESTINO	- .286197E+00 .286197E+00	.195599E+00 -.195599E+00	.371247E+02 .254669E+02
1	52 ORIGEN DESTINO	- .136658E+00 .136658E+00	.245348E+00 -.245348E+00	.370509E+02 .414604E+02
1	53 ORIGEN DESTINO	- .854928E-01 .854928E-01	.101651E+00 -.101651E+00	.187927E+02 .137358E+02
1	54 ORIGEN DESTINO	- .140786E+00 .140786E+00	.652685E-01 -.652685E-01	.107959E+02 .100900E+02
1	55 ORIGEN DESTINO	- .110798E+00 .110798E+00	.157407E-01 -.157407E-01	.257134E+01 .246571E+01
1	56 ORIGEN DESTINO	- .108056E+00 .108056E+00	.965830E-02 -.965830E-02	.155116E+01 .153953E+01
1	57 ORIGEN DESTINO	- .102832E+02 .102832E+02	.328408E+00 -.328408E+00	.711875E+02 .339031E+02
1	58 ORIGEN DESTINO	- .964043E+01 .964043E+01	.184033E+00 -.184033E+00	.357460E+02 .231446E+02
1	59 ORIGEN DESTINO	- .755986E+01 .755986E+01	.160822E+00 -.160822E+00	.310075E+02 .204556E+02
1	60 ORIGEN DESTINO	- .538579E+01 .538579E+01	.186183E+00 -.186183E+00	.288310E+02 .307476E+02
1	61 ORIGEN DESTINO	- .303068E+01 .303068E+01	.840259E-01 -.840259E-01	.156346E+02 .112537E+02
1	62 ORIGEN DESTINO	- .210222E+01 .210222E+01	.503484E-01 -.503484E-01	.832863E+01 .778281E+01
1	63 ORIGEN DESTINO	- .941825E+00 .941825E+00	.119759E-01 -.119759E-01	.194802E+01 .188425E+01
1	64 ORIGEN DESTINO	- .413860E+00 .413860E+00	.687568E-02 -.687568E-02	.108453E+01 .111569E+01
1	65 ORIGEN DESTINO	- .258566E+02 .258566E+02	.304498E+00 -.304498E+00	.719073E+02 .255322E+02

1	66 ORIGEN DESTINO	.191406E+02 -.191406E+02	.558747E-01 -.558747E-01	.129651E+02 .491485E+01
1	67 ORIGEN DESTINO	.138783E+02 -.138783E+02	.792325E-01 -.792325E-01	.175038E+02 .785051E+01
1	68 ORIGEN DESTINO	.959199E+01 -.959199E+01	.814970E-01 -.814970E-01	.125351E+02 .135439E+02
1	69 ORIGEN DESTINO	.589347E+01 -.589347E+01	.573862E-01 -.573862E-01	.113793E+02 .698433E+01
1	70 ORIGEN DESTINO	.3272230E+01 -.3272230E+01	.199321E-01 -.199321E-01	.307400E+01 .330432E+01
1	71 ORIGEN DESTINO	.135384E+01 -.135384E+01	.600981E-02 -.600981E-02	.946482E+00 .976635E+00
1	72 ORIGEN DESTINO	.418739E+00 -.418739E+00	.267483E-02 -.267483E-02	.385988E+00 .469950E+00
1	73 ORIGEN DESTINO	-.300146E+00 .300146E+00	.218759E-01 -.218759E-01	.206450E+01 .602145E+01
1	74 ORIGEN DESTINO	-.103194E+02 .103194E+02	.672408E-02 -.672408E-02	.283787E+01 .352460E+00
1	75 ORIGEN DESTINO	.886618E-01 -.886618E-01	.137651E-01 -.137651E-01	.177976E+01 .330820E+01
1	76 ORIGEN DESTINO	-.799567E+01 .799567E+01	-.874204E-02 .874204E-02	-.143347E+01 .179784E+01
1	77 ORIGEN DESTINO	.431247E+00 -.431247E+00	.105642E-01 -.105642E-01	.129187E+01 .261298E+01
1	78 ORIGEN DESTINO	-.626530E+01 .626530E+01	-.424746E-02 .424746E-02	-.505218E+00 .106477E+01
1	79 ORIGEN DESTINO	.643454E+00 -.643454E+00	.111143E-01 -.111143E-01	.194653E+01 .216163E+01
1	80 ORIGEN DESTINO	-.482209E+01 .482209E+01	.233899E-02 -.233899E-02	.134375E+00 .729979E+00
1	81 ORIGEN DESTINO	.486150E+00 -.486150E+00	.114887E-01 -.114887E-01	.148773E+01 .275882E+01
1	82 ORIGEN DESTINO	-.385635E+01 .385635E+01	.392571E-02 -.392571E-02	.950210E+00 .500839E+00
1	83 ORIGEN DESTINO	.681278E+00 -.681278E+00	.643076E-02 -.643076E-02	.995515E+00 .138148E+01
1	84 ORIGEN DESTINO	-.255091E+01 .255091E+01	.103528E-02 -.103528E-02	.675868E-01 .315087E+00
1	85 ORIGEN DESTINO	.507141E+00 -.507141E+00	.498898E-02 -.498898E-02	.806650E+00 .103742E+01
1	86 ORIGEN DESTINO	-.165461E+01 .165461E+01	.198943E-02 -.198943E-02	.262498E+00 .472848E+00
1	87 ORIGEN DESTINO	.323738E+00 -.323738E+00	.225511E-02 -.225511E-02	.354350E+00 .479203E+00

1	88 ORIGEN DESTINO	-.630069E+00 .630069E+00	.145311E-02 -.145311E-02	.172058E+00 .365043E+00
1	89 ORIGEN DESTINO	-.365507E+01 .365507E+01	.202474E-01 -.202474E-01	.195429E+01 .526267E+01
1	90 ORIGEN DESTINO	-.669500E+01 .669500E+01	.171737E-01 -.171737E-01	.461643E+01 .150496E+01
1	91 ORIGEN DESTINO	-.410922E+01 .410922E+01	.108322E-01 -.108322E-01	.124563E+01 .261537E+01
1	92 ORIGEN DESTINO	-.688493E+01 .688493E+01	.656368E-02 -.656368E-02	.165121E+01 .688344E+00
1	93 ORIGEN DESTINO	-.373126E+01 .373126E+01	.925425E-02 -.925425E-02	.104810E+01 .225048E+01
1	94 ORIGEN DESTINO	-.590023E+01 .590023E+01	.545402E-02 -.545402E-02	.139032E+01 .553700E+00
1	95 ORIGEN DESTINO	-.319341E+01 .319341E+01	.128548E-01 -.128548E-01	.233301E+01 .224895E+01
1	96 ORIGEN DESTINO	-.482156E+01 .482156E+01	.118363E-01 -.118363E-01	.183364E+01 .238529E+01
1	97 ORIGEN DESTINO	-.250938E+01 .250938E+01	.141471E-01 -.141471E-01	.190092E+01 .314164E+01
1	98 ORIGEN DESTINO	-.376898E+01 .376898E+01	.114784E-01 -.114784E-01	.242784E+01 .166352E+01
1	99 ORIGEN DESTINO	-.207087E+01 .207087E+01	.775907E-02 -.775907E-02	.123425E+01 .153139E+01
1	100 ORIGEN DESTINO	-.290649E+01 .290649E+01	.720999E-02 -.720999E-02	.127778E+01 .129214E+01
1	101 ORIGEN DESTINO	.143089E+01 -.143089E+01	.633043E-02 -.633043E-02	.102996E+01 .122644E+01
1	102 ORIGEN DESTINO	-.199127E+01 .199127E+01	.640814E-02 -.640814E-02	.110652E+01 .117759E+01
1	103 ORIGEN DESTINO	.811769E+00 -.811769E+00	.345383E-02 -.345383E-02	.560408E+00 .670655E+00
1	104 ORIGEN DESTINO	-.104392E+01 .104392E+01	.428016E-02 -.428016E-02	.706684E+00 .818935E+00
1	105 ORIGEN DESTINO	.683374E+01 -.683374E+01	.169613E-01 -.169613E-01	.146710E+01 .457857E+01
1	106 ORIGEN DESTINO	-.369489E+01 .369489E+01	.217393E-01 -.217393E-01	.554801E+01 .220073E+01
1	107 ORIGEN DESTINO	.680493E+01 -.680493E+01	.448420E-02 -.448420E-02	.337191E+00 .126115E+01
1	108 ORIGEN DESTINO	-.411022E+01 .411022E+01	.129660E-01 -.129660E-01	.299436E+01 .162724E+01
1	109 ORIGEN DESTINO	.577535E+01 -.577535E+01	.356569E-02 -.356569E-02	.215855E+00 .105510E+01

1	110	ORIGEN DESTINO	-.376399E+01 .376399E+01	.115625E-01 -.115625E-01	.263799E+01 .148332E+01
1	111	ORIGEN DESTINO	.463013E+01 -.463013E+01	.105672E-01 -.105672E-01	.213525E+01 .163131E+01
1	112	ORIGEN DESTINO	-.317335E+01 .317335E+01	.134845E-01 -.134845E-01	.237119E+01 .243519E+01
1	113	ORIGEN DESTINO	.371632E+01 -.371632E+01	.106253E-01 -.106253E-01	.152151E+01 .226577E+01
1	114	ORIGEN DESTINO	-.265617E+01 .265617E+01	.156533E-01 -.156533E-01	.342180E+01 .215766E+01
1	115	ORIGEN DESTINO	.275958E+01 -.275958E+01	.531304E-02 -.531304E-02	.965784E+00 .927994E+00
1	116	ORIGEN DESTINO	-.218544E+01 .218544E+01	.955416E-02 -.955416E-02	.185481E+01 .155066E+01
1	117	ORIGEN DESTINO	.185554E+01 -.185554E+01	.452857E-02 -.452857E-02	.946113E+00 .768034E+00
1	118	ORIGEN DESTINO	-.154682E+01 .154682E+01	.817183E-02 -.817183E-02	.155626E+01 .135651E+01
1	119	ORIGEN DESTINO	.923506E+00 -.923506E+00	.239113E-02 -.239113E-02	.483905E+00 .368382E+00
1	120	ORIGEN DESTINO	-.943974E+00 .943974E+00	.543343E-02 -.543343E-02	.101908E+01 .917589E+00
1	121	ORIGEN DESTINO	.103254E+02 -.103254E+02	.115878E-01 -.115878E-01	.391541E+00 .373882E+01
1	122	ORIGEN DESTINO	.715901E+00 -.715901E+00	.264978E-01 -.264978E-01	.680414E+01 .264072E+01
1	123	ORIGEN DESTINO	.769557E+01 -.769557E+01	.805207E-02 -.805207E-02	-.159263E+01 -.127745E+01
1	124	ORIGEN DESTINO	.424487E+00 -.424487E+00	.169333E-01 -.169333E-01	.378728E+01 .224841E+01
1	125	ORIGEN DESTINO	.597520E+01 -.597520E+01	.346282E-02 -.346282E-02	-.887031E+00 -.347259E+00
1	126	ORIGEN DESTINO	-.751011E-01 .751011E-01	.142254E-01 -.142254E-01	.317233E+01 .189814E+01
1	127	ORIGEN DESTINO	.441099E+01 -.441099E+01	.240031E-02 -.240031E-02	.677252E+00 .178311E+00
1	128	ORIGEN DESTINO	-.178159E+00 .178159E+00	.129039E-01 -.129039E-01	.241786E+01 .218157E+01
1	129	ORIGEN DESTINO	.385266E+01 -.385266E+01	.595047E-02 -.595047E-02	.798536E+00 .132243E+01
1	130	ORIGEN DESTINO	-.494437E+00 .494437E+00	.148364E-01 -.148364E-01	.331631E+01 .197269E+01
1	131	ORIGEN DESTINO	.229162E+01 -.229162E+01	.111279E-03 -.111279E-03	.167436E+00 -.127775E+00

1	132 ORIGEN DESTINO	- .617733E+00 -.617733E+00	.907407E-02 -.907407E-02	.179835E+01 .143600E+01
1	133 ORIGEN DESTINO	.145877E+01 -.145877E+01	.114886E-02 -.114886E-02	.304938E+00 .104546E+00
1	134 ORIGEN DESTINO	-.522737E+00 .522737E+00	.743912E-02 -.743912E-02	.143807E+01 .121353E+01
1	135 ORIGEN DESTINO	.499132E+00 -.499132E+00	.195428E-03 -.195428E-03	.135392E+00 -.657277E-01
1	136 ORIGEN DESTINO	-.461003E+00 .461003E+00	.450573E-02 -.450573E-02	.862222E+00 .743786E+00

## REVISION POR VIENTO

Para fines de diseño por viento, las estructuras se clasifican de acuerdo a su destino y a las características de su respuesta ante la acción del viento.

De acuerdo a su destino, nuestro edificio pertenece al grupo B.

Y por su respuesta ante viento, pertenece al tipo I ya que abarca estructuras poco sensibles a las ráfagas y a los efectos dinámicos del viento.

## VELOCIDAD DE DISEÑO

La velocidad de diseño es función de :

- a) Localización geográfica.
- b) Topografía en la vecindad de la estructura.
- c) Características de la estructura.

Se adoptan las siguientes definiciones de velocidades de viento:

$V_R$  = Velocidad regional. Es la velocidad máxima probable en una zona o región determinada para un cierto período de recurrencia. (ver mapa de regionalización Eólica de la República Mexicana).

$v_B$  = Velocidad básica. Es la velocidad que, a una altura de 10 Mts sobre el terreno, se presenta en el lugar de desplante de la estructura.

$v_z$  = Velocidad del viento a una altura "z" sobre el terreno.

$v_d$  = Velocidad de diseño a partir de la cual se evalúan los efectos del viento en la estructura.

#### VELOCIDADES REGIONALES

ZONA EOLICA	Velocidad Regional ( KM/h )	
	Estructuras grupo B ( $T_R = 50$ años)	Estructuras grupo A ( $T_R = 200$ años)
1	90	105
2	125	150
3	115	125
4	160	185
5	80	90
6	150	170
7	80	95

CRITERIO PARA ELEGIR LA VELOCIDAD REGIONAL,  $V_R$

Estructuras del Grupo	$V_R$ con período de recurrencia de:
A	200 Años
B	50 Años
C	No requiere diseño por viento

VELOCIDAD BASICA

La velocidad básica del viento,  $V_B$  se obtiene a partir de la velocidad regional, de acuerdo con la siguiente expresión :

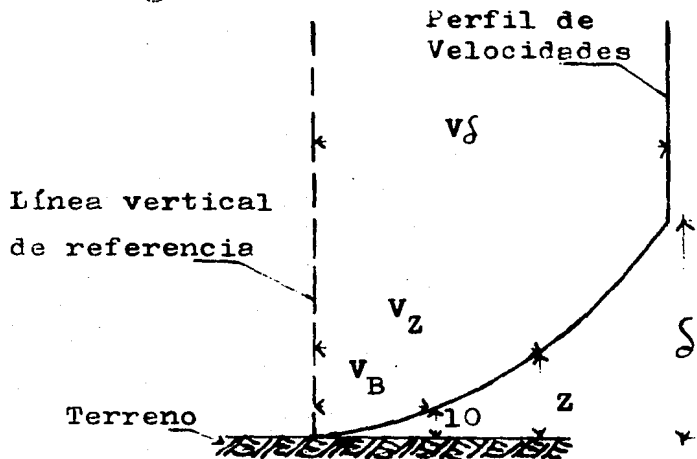
$$V_B = K V_R$$

Donde K es un factor que depende de la Topografía del sitio y se tomará conforme a la siguiente tabla.

TOPOGRAFIA	FACTOR K
a) Muy accidentada, como en el centro de ciudades importantes	0.70
b) Zonas arboladas, lomeríos barrios residenciales o industriales	0.80
c) Campo abierto, terreno plano	1.0
d) Promontorios	1.20

## VARIACION DE LA VELOCIDAD CON LA ALTURA

La velocidad del viento varía con la altura sobre el terreno según se muestra esquemáticamente en la siguiente figura.



$v_f$  = Velocidad gradiente  
 $\delta$  = Altura gradiente  
 $v_z$  = Velocidad a una altura  $z$ .  
 $z$  = Altura sobre el terreno  
 $v_B$  = Velocidad Básica (a 10 mts sobre el terreno)

La velocidad del viento a la altura  $z$ ,  $v_z$ , está dada por las siguientes expresiones:

$$v_z = v_B \left( \frac{z}{10} \right)^\alpha \quad \text{Para } 10 < z < \delta$$

$$v_z = v_B \quad \text{Para } z \leq 10 \text{ m}$$

$$v_z = v_f \quad \text{Para } z \geq \delta$$

Las unidades de  $z$  y  $\delta$  son metros, y Km/h las de las velocidades.  $v_f$  se obtiene al hacer  $z = \delta$

Los valores de  $\alpha$  y  $\delta$  son función de la topografía del lugar y se tomarán de la tabla siguiente:

TIPO DE TERRENO	$\alpha$	ALTURA GRADIENTE $\delta$ (metros)
a) Litoral	0.14	200
b) Campo abierto (interior)	0.14	275
c) Terrenos suburbanos	0.22	400
d) Centros de grandes ciudades	0.33	460

#### FACTOR RAFAGA

El Factor ráfaga será de 1.3 para estructuras sencillas a ráfagas cortas (estructuras tipo 2 y 3) y de 1.0 para estructuras tipo 1.

#### CALCULO DE LA VELOCIDAD DE DISEÑO

Grupo B

Tipo 1

Zona 4

$$V_R = 160 \text{ Km/hora}$$

$$V_B = K V_R$$

$$V_B = 1.2 (160) = 192 \text{ Km/hora}$$

$$V_Z = V_B \left( \frac{z}{10} \right)^{0.14}$$

$$= 192 \left( \frac{25.6}{10} \right)^{0.14}$$

$$V_Z = 220 \text{ Km/hora}$$

$$V_D = F_R V_Z$$

$$= (1.0) 220 \text{ Km/hora}$$

$$V_D = 220 \text{ Km/hora}$$

Los efectos del viento se tomarán equivalentes a los de una fuerza distribuida sobre el área expuesta, considerando como área expuesta el total de la superficie perpendicular a la dirección del viento.

$$P = 0.0048 G C V_D^2$$

Donde:

C = Coeficiente de empuje (adimensional)

P = Presión o succión debida al viento, en  $\text{Kg/m}^2$

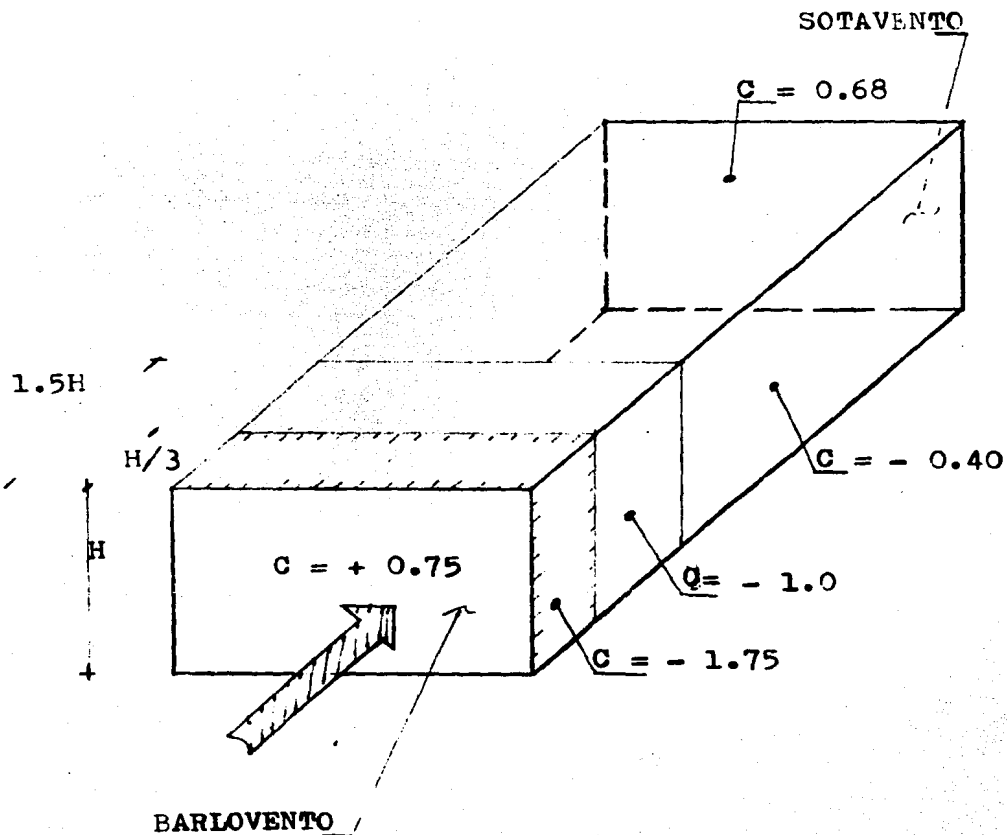
$V_D$  = Velocidad de diseño, en  $\text{Km/hr}$ .

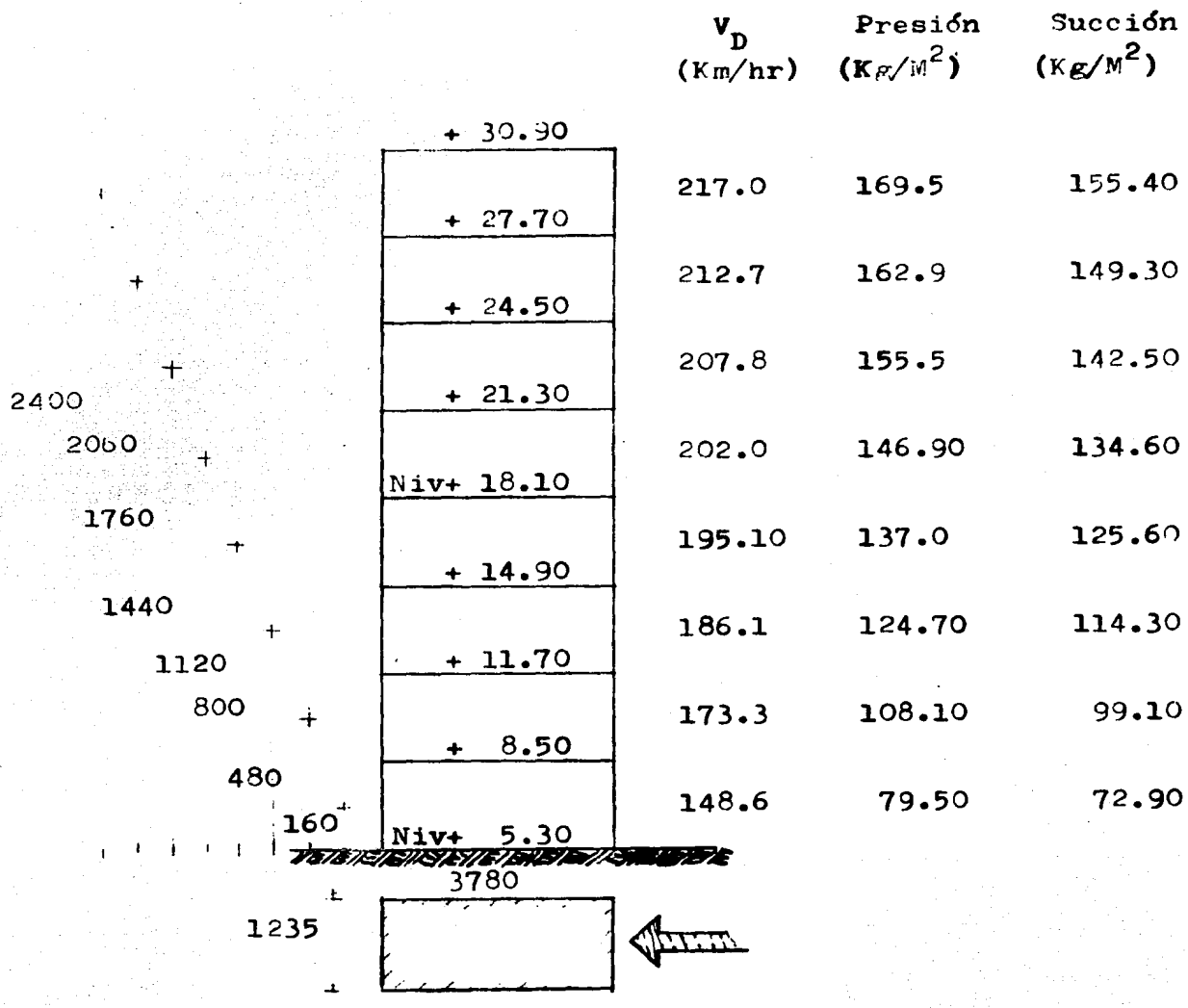
G =  $\frac{8 + h}{8 + 2h}$ , factor de reducción de la atmósfera, a la altura h (en Km) sobre el nivel del mar.

Cuando C es positivo, se trata de empuje sobre el área expuesta, y si es negativo se trata de una succión.

En edificios de planta y elevación rectangular, cuando el viento actúa normalmente a la superficie expuesta, se tomará C = +0.75 del lado del barlovento y -0.68 del lado del sotavento. En los muros paralelos a la acción del viento, así como en el techo, si éste es horizontal, se distinguirán tres zonas: en la primera, que se extiende desde la arista de barlovento hasta una distancia igual a  $H/3$ , C = -1.75. En la segunda, que abarca hasta  $1.5 H$  desde la misma arista, C = -1.00; y en el resto,

$C = -0.40$ . La misma especificación rige en cubiertas con generatrices y aristas paralelas a la acción del viento ( techos inclinados y cilíndricos ). En este caso  $H$  es la altura de la construcción medida del lado de barlovento y sin incluir la cubierta.





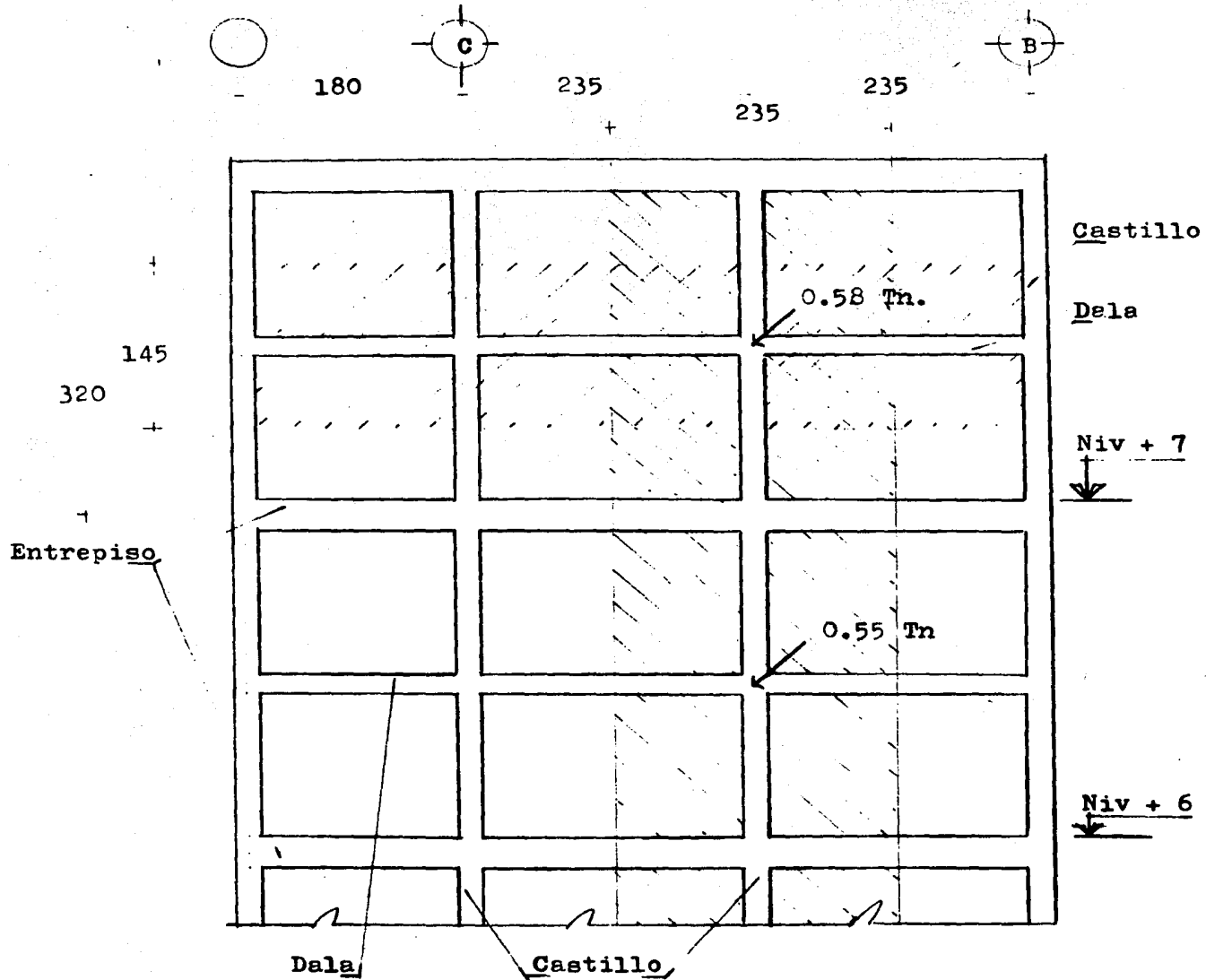
$$G = (8+H) / (8+2H) = (8+0.0053) / (8+2 \times 0.0053) \doteq 1.0$$

$$P = 0.0048 \times 1.0 \times 0.75 v_d^2 = 0.0036 v_d^2 \rightarrow \text{Barlovento.}$$

$$P = 0.0048 \times 1.0 - 0.68 v_d^2 = 0.0033 v_d^2 \rightarrow \text{Sotavento.}$$

REVISION DE DALAS Y CASTILLOS

En muro eje 47 entre ejes B y C

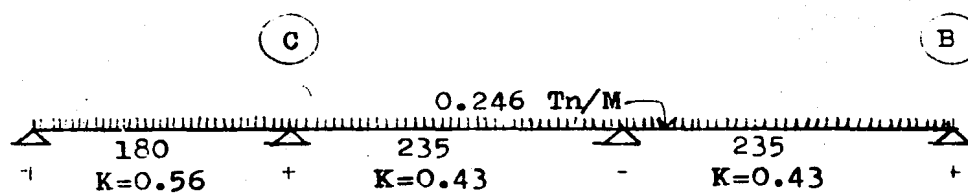


REVISION DE LA DALA

$$P = 169.5 \text{ Kg/M}^2$$

$$b = 1.45 \text{ Mts.}$$

$$w = 169.5 \times 1.45 = 0.246 \text{ Tn/M}$$



F.d.	0.0	0.57	0.43	0.50	0.50	0.0	
MEP.	0.0	-0.10	0.11	-0.11	0.17	-0.0	Tn.M
D.		-0.006	-0.004	-0.03	-0.03		
MF		-0.106	0.106	-0.14	+0.14		
+ V <sub>total</sub>	0.22	<u>-0.22</u>	<u>0.29</u>	<u>0.29</u>	<u>0.29</u>	0.29	Tn.
			0.51		0.58		

+ Es mínimo el cortante por hiperestaticidad por lo tanto no se considera.

$$\frac{wL^2}{12} = 0.246 \times 2.35^2 / 12 = 0.11 \text{ Tn.M}$$

$$\frac{wL^2}{8} = 0.246 \times 2.35^2 / 8 = 0.17 \text{ Tn.M}$$

$$\frac{wL^2}{8} = 0.246 \times 1.8^2 / 8 = 0.10 \text{ Tn.M}$$

Para verificar si el área de acero de la pala es suficiente:

Sección : 20 X 20

Refuerzo de la pala 4# 2.5 + E# 2 a 20

$$A_s = M/(f_{sj}d) ; d = M/(f_{sj} A_s) ; 4\# 2.5 = 0.98 \text{ cm}^2$$
$$d = (0.14 \times 10^5 \text{ Kg. cm}) / (2000 \text{ Kg/cm}^2 \times 0.87 \times 0.98) = 8 \text{ cm}$$

8 cm < 20 cm ∴ O.K.

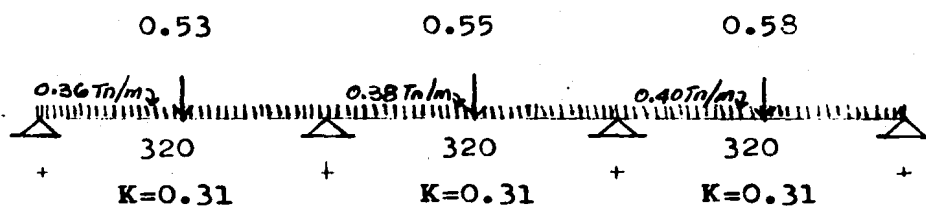
#### REVISION DEL CASTILLO

$$b = 2.35 \text{ mts.}$$

$$w_1 = 169.5 \times 2.35 = 0.40 \text{ Tn/M}$$

$$w_2 = 162.9 \times 2.35 = 0.38 \text{ Tn/M}$$

$$w_3 = 155.5 \times 2.35 = 0.36 \text{ Tn/M}$$



F.d.	0.0	0.50	0.50	0.50	0.50	0.0	
MEP	0.0	-0.78	+0.54	-0.54	+0.86	0.0	Tn.M
D		+0.12	+0.12	-0.16	-0.16	0.0	
MF		-0.66	0.66	-0.70	+0.70		
V							
TOTAL	0.84	-0.84	0.88	-0.88	0.93	-0.93	Tn.

$$wL^2 / 8+PL/16 = (0.40 \times 3.2^2) / 8 + (3 \times 0.58 \times 3.2) / 16 = 0.86 \text{ Tn.M}$$

$$wL^2 / 12+PL/ 8 = (0.38 \times 3.2^2) / 12 + (0.55 \times 3.2) / 8 = 0.54 \text{ Tn.M}$$

$$wL^2 / 8+PL/16 = (0.36 \times 3.2^2) / 8 + (3 \times 0.53 \times 3.2) / 16 = 0.78 \text{ Tn.M}$$

### REVISION DEL AREA DE ACERO DEL CASTILLO

Sección 20 X 20

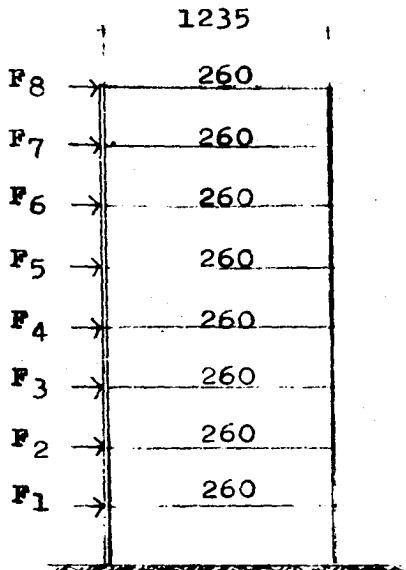
Refuerzo 4# 4 + E# 2.5 a 15 cmts.

$$2 \# 4 = 2.54 \text{ cm}^2$$

$$d = M/(fsjd)$$

$$d = (0.70 \times 10^5 \text{ Kg.cm}) / (2000 \text{ Kg/cm}^2 \times 0.87 \times 2.54 \text{ cm}^2) \approx 16 \text{ cm} < 20. \text{ OK.}$$

### REVISION POR VOLTEO



$$A = 37.80 \times 1.60 = 60.48 \text{ m}^2$$

$$A_2 = 37.80 \times 3.20 = 120.96 \text{ m}^2$$

$$F_1 = 79.50 \text{ Kg/m}^2 \times 120.96 \text{ m}^2 = 9.62 \text{ Tn}$$

$$F_2 = 108.10 \text{ Kg/m}^2 \times 120.96 \text{ m}^2 = 13.10 \text{ Tn}$$

$$F_3 = 124.70 \text{ Kg/m}^2 \times 120.96 \text{ m}^2 = 15.10 \text{ Tn}$$

$$F_4 = 134.0 \text{ Kg/m}^2 \times 120.96 \text{ m}^2 = 16.20 \text{ Tn}$$

$$F_5 = 146.9 \text{ Kg/m}^2 \times 120.96 \text{ m}^2 = 17.77 \text{ Tn}$$

$$F_6 = 155.5 \text{ Kg/m}^2 \times 120.96 \text{ m}^2 = 18.80 \text{ Tn}$$

$$F_7 = 162.9 \text{ Kg/m}^2 \times 120.96 \text{ m}^2 = 19.70 \text{ Tn}$$

$$F_8 = 169.5 \text{ Kg/m}^2 \times 60.48 \text{ m}^2 = 10.25 \text{ Tn}$$

$$\underline{\underline{120.54}}$$

$$\bar{y} = (9.62 \times 3.2 + 13.10 \times 6.4 + 15.1 \times 9.6 + 16.2 \times 12.8 + 17.77 \times 16 + 18.8 \times 19.2 + 19.7 \times 22.4 + 10.2 \times 25.6) / 120.54$$

$$\bar{y} = 1814.62 \text{ Tn.M} / 120.54 \text{ Tn} = 15.05 \text{ M (punto de aplicación)}$$

Momento de volteo + 1814.62 Tn.M.

#### MOMENTO DE VOLTEO RESISTENTE POR EFECTO DEL VIENTO

$$W_{va} = 0$$

$$W_m = 600 \text{ Kg/m}^2$$

$$L_m = 148.30 \text{ mts.}$$

$$A = 433 \text{ m}^2$$

Peso propio de la estructura (P)

$$P = (W_m + W_{va}) \text{ área} + W \text{ muro} \times L ) \text{ 8 niveles.}$$

$$P = (600+0) 433 + 260 \times 2.95 \times 148.3 ) \text{ 8 niveles} = 2988 \text{ Tn.}$$

$$\text{Momento resistente} = 2988 \times 12.35 / 2 = 18,450 \text{ Tn.m.}$$

$$18,450 \text{ Tn.m.} \gg 1,814.62 \text{ Tn.m.}$$

NOTA: Cabe aclarar que la revisión por viento se elaboró de acuerdo al Manual de Diseño de Obras Civiles -- C.I.4. Diseño por Viento de la Comisión Federal -- de Electricidad, 1981. Vigente a la fecha.

LAS CONSECUENCIAS DEBIDAS A LA ACCION DE UN SISMO  
PREDOMINARIAN SOBRE LA ACCION DEL VIENTO

## CAPITULO IV

### REVISION POR FLEXOCOMPRESION DE LOS MUROS DE CARGA.

Momento de volteo en muros de planta baja.

$$M = (V \sum h_i^2 / \sum h_i) (0.8 + 0.2z/H)$$

$$M_v = PC (V \sum h_i^2 / \sum h_i) 0.8$$

$$\text{si } V = C \times w/Q = 0.08 \times 3650 / 1.5 = 195 \text{ Tn.}$$

$$\sum h_i^2 = (8^2 + 7^2 + 6^2 + 5^2 + 4^2 + 3^2 + 2^2 + 1^2) 3.2^2 = 2089$$

$$\sum h_i = (8 + 7 + 6 + 5 + 4 + 3 + 2 + 1) 3.2 = 115.20$$

$$M_v = 1.1 (195 \times 2089 / 115.20) 0.8 = 3110 \text{ Tn.m.}$$

#### NOTA:

Los momentos de volteo se han calculado suponiendo que cada muro es un voladizo independiente y se introduce en él momentos flexionantes iguales al producto de las fuerzas en cada nivel por el brazo correspondiente.

Según el Artículo 240 VI del Reglamento del Distrito Federal, el momento de volteo calculado en la forma anterior puede reducirse multiplicándolo por  $0.8 + 0.2z$ . Siendo  $z$  la relación entre la altura a la que se calcula el factor reductivo,  $h$ , y la altura total,  $H$ .

Por ejemplo para el muro 1

$$K_i = 9400$$

$$\sum K_i = 162,481$$

$$M_{VY} = (K_i / \sum K_i) M_V \Rightarrow \text{Dirección y-y}$$

$$M_{VY} = (K_i / 162,481) 3110 = (K_i) 0.019$$

$$M_{V1} = 9400 \times 0.019 = 180.00 \text{ Tn.m.}$$

$$M_{VX} = (K_i / 124,705) 3110 = (K_i) 0.025 \Rightarrow \text{Dirección x-x}$$

$$M_{V8} = 4700 \times 0.025 = 117.2 \text{ Tn.m.}$$

$$P_u = F_C [(W_m + W_{va}) A_{trib} + W_{muro} \times L] \text{ 4 niveles.}$$

$$P_u = 1.1 [(600 + 180) A_{trib} + 260 \times 2.95 \times L] \text{ 4 niveles.}$$

$$P_u = 3432 A_{trib} + 3,375 L$$

$$P_1 = 3432 \times 9.9 + 3375 \times 4.7 = 50.00 \text{ Tn.}$$

Considerando que en cada extremo de los muros de carga, el acero de refuerzo vertical consiste de 8 varillas del número 5 distribuidas en una sección de 20x40 cm. se procede a obtener el momento resistente con las fórmulas simplificadas.

Cálculo con las fórmulas simplificadas:

$$MR = Mo + 0.3 P_{ud} \quad \text{si } P_u \leq PR/3 \quad (1)$$

$$MR = (1.5 Mo + 0.15 PRd)(1 - P_u/PR) \quad \text{si } P_u > PR/3 \quad (2)$$

$$Mo = PR A_s f_y d'$$

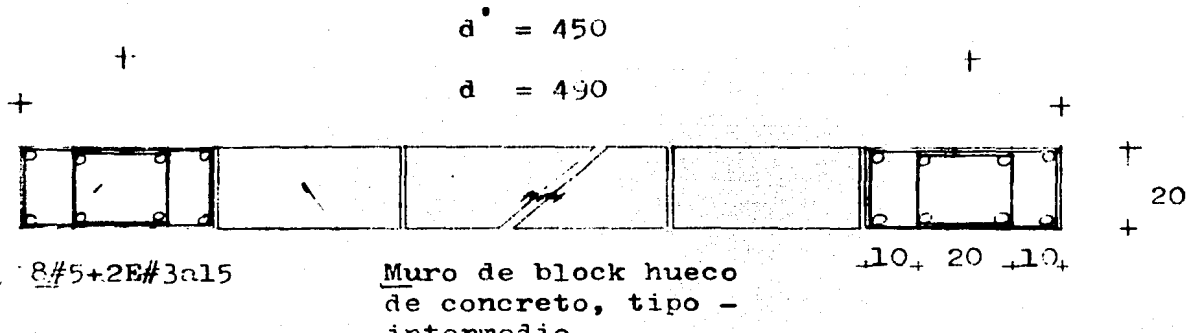
$$PR = PR (F_e f_m^* A_t + 2 A_s f_y)$$

DONDE:

$$A_s = \text{Área de acero de los castillos} = 15.84 \text{ cm}^2$$

$$f_y = \text{Esfuerzo de fluencia del acero igual a } 4200 \text{ Kg/cm}^2$$

MURO 1



$$PR = 0.6(0.8 \times 24 \times 20 \times 490 + 2 \times 15.84 \times 4200) = 192.73 \text{ Tn.}$$

$$Mo = FR As fy d'$$

$$= 0.6 \times 15.84 \times 4200 \times 450 = 179.63 \text{ Tn.m.}$$

$$Pu = 50.00 \text{ Tn.}$$

$$PR/3 = 192.72/3 = 64.20 > 50 \therefore \text{usamos la ecuación 1}$$

$$MR = Mo + 0.3 Pud$$

$$MR = 179.63 + 0.3 \times 50 \times 4.9 = 253.12 \text{ Tn.m.}$$

$$MR > Mu$$

REVISION DE LOS MUROS DE CARGA POR MOMENTO DE VOLTEO.

MURO	Mu (Ton.m)	Pu Ton	Mo (Ton.m)	PR (Ton)	MR (Ton.m)
1	180.00	50.00	179.63	192.73	253.12
2	26.00	20.20	65.90	128.84	78.32
3	220.10	100.30	203.60	208.14	247.20
4	43.60	45.51	87.81	138.15	191.40
5	31.60	50.00	79.83	130.52	100.50
6	200.10	98.00	191.60	200.00	226.13
7	405.70	146.21	465.40	313.20	585.15
8	117.20	20.80	120.75	161.60	141.34
9	177.30	29.65	139.70	177.55	174.40
10	102.20	36.60	117.75	155.40	152.90
11	152.10	21.00	175.24	196.65	196.03
17	492.80	84.00	327.30	280.30	546.54

## CONCLUSIONES Y RECOMENDACIONES

### CONCLUSIONES.-

Como resultado del análisis y diseño efectuado, se espera que los elementos estructurales tengan un comportamiento satisfactorio ante cualquiera de las solicitudes que se presenten durante la vida útil del edificio.

### RECOMENDACIONES.-

#### Cimentación

Se desplantará la cimentación sobre una plantilla de concreto con resistencia  $f'c = 100 \text{ Kg/cm}^2$ . de 5 cm. de espesor. La plantilla se compactará a satisfacción del director de la obra.

#### Rellenos

Los rellenos se harán con producto de la excavación si es un material adecuado para este fin a juicio de la dirección de obra; de lo contrario se usará material inorgánico con peso seco, no menor de  $1600 \text{ Kg/m}^3$ .

Los rellenos se compactarán en capas de 15 a 20 cm. de espesor, con el contenido óptimo de humedad y la energía suficiente para lograr como mínimo un 90% de la prueba Proctor estándar.

#### Armados y Colados

Los armados y colados de las pilas y contratrabes se iniciará, previa conformidad de la dirección de obra, apegándose a las especificaciones correspondientes.

#### Intersecciones

En las intersecciones de contratrabes y columnas se deberá garantizar el paso del concreto, recurriendo en --

caso necesario a anclajes metálicos que eliminen doblesces del acero de refuerzo.

## ACERO DE REFUERZO

### Grados del Refuerzo

Los grados del refuerzo se especifican en los planos estructurales y notas generales;  $f_y$  se refiere al límite de fluencia o límite elástico aparente; todo el acero para el que se especifica  $f_y$  igual a  $4200 \text{ Kg/cm}^2$  satisfará las normas de la Dirección General de Normas para acero de grado estructural.

### Corrugaciones

Todo el refuerzo cuyo diámetro especificado exceda el de barras No. 2 satisfará los requisitos de la Dirección General de Normas (o los equivalentes ASTM A 30556) en cuanto corrugado, o bien tendrá corrugaciones que desarrollen por lo menos la misma adherencia.

### Control

El laminador del refuerzo presentará pruebas de la calidad de su producto. En caso de duda el Director le podrá exigir el ensayo de un espécimen por cada grado de acero en cada partida de 10 ton. o fracción, con el fin de verificar el diámetro de las varillas, su límite de fluencia o límite elástico aparente, alargamiento a la rotura y características del doblado. Los ensayos se -

...

efectuarán en un laboratorio aprobado por la dirección de la Obra, los resultados de ensayos se entregarán al Director y al contratista en un lapso no mayor de 24 horas sin que haya necesidad de solicitarlo.

#### Dobleces

Los dobleces se harán en frío alrededor de un perno con diámetro no menor que 8 veces el de la varilla.

#### Limpieza

Es necesario limpiar el refuerzo de toda partícula adherida sea ésta basura, polvo, desperdicio de cimbra o mortero, así como escamas de oxidación sueltas, rebabas y aceite. Para ello será necesario limpiarlo con cepillo de alambre. No se permitirá la iniciación de un colado sin que antes el Director haya dado su visto bueno respecto a la limpieza del acero.

#### Colocación del refuerzo

En elementos estructurales para los que los planos no marquen la disposición transversal del acero, las barras longitudinales se colocarán en paquetes hasta de tres varillas cada uno, alojando los paquetes próximos a las esquinas de la sección respetando 2.5 cm. libres entre paquetes, en dirección vertical, y 5 cm. en dirección horizontal.

Además tanto en estribos y refuerzo longitudinal, se respetarán los siguientes recubrimientos libres como mínimo:

...

1 cm. o el diámetro del refuerzo principal.

#### Anclajes y traslapes

Todo el acero longitudinal corrido que en los planos estructurales se representa sin gancho deberá anclarse de acuerdo con las notas de dichos planos. Los traslapes y anclajes se indican en cada caso de acuerdo con la calidad del concreto y la posición de la varilla.

#### Soldadura de refuerzo

Sólo se permitirá soldadura en varillas No. 8 o superior, se tomarán precauciones para evitar sobrecalentamiento de la varilla. Sólo se permitirá soldadura a tope mediante elementos auxiliares que conserven simetría respecto al eje de la varilla y cuya resistencia no sea menor que la de ésta. Tratándose de soldadura a tope se biselará previamente la punta de la varilla a  $60^{\circ}$  y limpiará de todo elemento graso. Si se emplean los elementos auxiliares mencionados, la longitud total del cordón de soldadura a cada lado de la junta no será menor en diámetro que tres veces el límite elástico aparente o límite de fluencia del refuerzo expresado en Ton/cm<sup>2</sup>.

La resistencia de las conexiones soldadas no será menor que la resistencia nominal a la rotura de las varillas de que se trata.

#### Separadores y silletas

Se suministrará y colocará todos los dispositivos (grapas, separadores, silletas metálicas, taquetes de mortero) que se necesiten para asegurar que después del colado

el acero de refuerzo cumple con las tolerancias que fijan estas especificaciones. En especial, deberá fijar de una manera absoluta las varillas del lecho superior de todos los planos estructurales.

#### MUROS DE MAMPOSTERIA

##### Tipo de piezas

Se emplearán piezas que cumplan con los requisitos generales de calidad especificados por la Dirección General de Normas.

Las piezas huecas deberán tener en su sección transversal más desfavorable un área neta por lo menos del 45% del área bruta y el espesor de las paredes exteriores - no será menor de 1.5 cms.

Las piezas deberán cumplir con la geometría y resistencia especificada en los planos estructurales.

El mortero en las juntas cubrirá totalmente las caras - verticales y las horizontales siendo el espesor de 1.0 - cms. mínimo y máximo de 1.5, las piezas deberán ser colocadas en forma cuatrapeada.

Los huecos donde se aloje refuerzo vertical se podrán - colar en tramos de 1.5 a 3.0 mts. máximo, siempre que se compruebe por medio de aberturas en las piezas que el lado llegue hasta el extremo inferior del elemento.

El agregado que se use será de 1.0 cms. máximo y el concreto deberá tener la fluidez que garantice el colado

...

sin dejar oquedades.

Se deberán tomar precauciones durante la construcción del muro para garantizar su estabilidad debido a posibles empujes así como viento o sismo.

#### CONCRETO

Se emplearán agua limpia, potable, exenta de ácido, - bases, aceites y materia orgánica.

Los agregados estarán exentos de estas mismas impurezas.  
El cemento será portland.

#### Resistencias

Las resistencias del concreto en los diversos elementos de la estructura se especifican en los planos estructurales. En ellos, cuando se emplea cemento defraguado - normal sin aditivos,  $f'c$  se refiere a la resistencia en compresión directa a los 28 días de cilíndros estándar de 15x30 cm. Cuando se emplee cemento portland tipo - III o con acelerantes deben alcanzarse estas resistencias a los 14 días.

Las variaciones permisibles en  $f'c$  se especifican en el párrafo sobre tolerancias en resistencia.

#### Peso volumétrico

Donde se especifica concreto de peso normal su peso volumétrico estará comprendido entre 2.1 y 2.4 Ton/m<sup>3</sup> en estado húmedo.

### **Control**

La resistencia del concreto en compresión axial se determinará mediante ensayos en cilíndros de 15 cm de diámetro y 30 cm de altura fabricados, curados y probados de acuerdo con los requisitos que fija la Dirección General de Normas y en un Laboratorio aprobado por la Dirección de la Obra. Los cilíndros deben elaborarse con muestras de concreto que se tome en la posición final del mismo o lo más cerca de ella que sea posible. Tratándose de concreto elaborado con cemento tipo I, el ensayo se efectuará a los 28 días de edad y cuando se trate de concreto elaborado con cemento tipo III o que contenga acelerantes, a los 14 días. Se permitirán ensayos a otras edades siempre que se empleen correlaciones fidedignas a juicio de la Dirección de la Obra, para cuantificar las resistencias probables a las edades especificadas.

Cuando el concreto sea mezclado con revolvedora en la obra se tomarán un mínimo de 4 muestras (16 cilíndros) por cada día de colado pero no menos de 2 muestras (8 cilíndros) - por cada 20 m<sup>3</sup> de concreto mezclado en revolvedora.

Cuando el concreto sea premezclado en planta se tomará una muestra (4 cilíndros) por cada camión que se elija y se revisará al azar el 50% de los camiones que lleguen a la obra.

El concreto utilizado en la estructura será proporcionado de tal manera que por lo menos 8 de cada 10 ensayos (siendo cada ensayo el promedio de resistencia de 2 dos ---

cilindros compañeros probados a la edad de la resistencia de proyecto) tengan resistencias iguales ó mayores que dicha resistencia de proyecto f'c.

#### Limpieza previa al colado

No podrá efectuarse un colado donde existan partículas sueltas de polvo o materiales de desperdicio, o la presencia de agua libre o cualquier elemento ajeno al concreto.

#### Transporte y colocación

El concreto se manejará y colocará en los moldes con métodos que eviten la segregación ó pérdida de los ingredientes, y con la máxima rapidez posible.

El vaciado de concreto dentro de los moldes se hará tan cerca como sea posible de su posición final, evitando traspalpearlo o transportarlo dentro del molde o base de vibraciones.

No se permitirá dejarlo caer libremente desde alturas mayores de 1.20 m.

Cuando el concreto se transporte por canales, éstos deberán estar diseñados de manera que permitan un escurrimiento casi continuo del concreto. Serán de metal o -- con recubrimiento metálico. Se aconseja colocar los -- canalones con pendientes de 1:3 . No deberá producirse segregación en los casos en que por la longitud o pendiente del canalón se comenzará a presentar tal fenómeno, podrá recurrirse al empleo de inclusores de aire para -

...

eliminarla; la proporción de inclusor de aire se fijará de común acuerdo con la Dirección de la Obra.

Los canalones deben lavarse y limpiarse de manera efectiva inmediatamente después de usarse.

El colado debe hacerse en forma continua, sin interrupciones. En ninguna circunstancia se permitirá el colado del concreto que haya comenzado a fraguar ni la adición de agua a una mezcla ya hecha, ni se permitirá el traspaleo.

#### Colado de elementos verticales o fuertemente inclinados.

Además de respetar las especificaciones generales referentes a colado, en columnas, castillos, y muros el colado debe iniciarse inmediatamente después de depositar, - en el fondo del elemento por colar, una capa de 4 cm. de espesor de mortero de cemento y arena con proporcionamiento volumétrico 1.4 o más rico en cemento, de igual resistencia que la especificada para el concreto del miembro en cuestión y con revestimiento de 6 a 8 cm.

#### Vibrado

Todo el concreto de las estructuras será vibrado a excepción de la plantilla de cimentación. Se empleará vibrador de chicote con cabeza de dimensiones adecuadas para que pueda penetrar hasta el fondo de todo elemento. Las varillas del lecho superior de trabes, contratrabes y vigas de concreto deberán estar en contacto con la cabeza

del vibrador durante un mínimo de 15 seg. a cada 50 cm. de longitud de dichas varillas; este paso tendrá lugar inmediatamente después de haber introducido lentamente el vibrador hasta el fondo del miembro, permanecido en el fondo durante 5 seg. y haberlo extraído lentamente a los mismos intervalos de 50 cm. No se permitirá el exceso de vibrado que produzca segregación en el concreto. La cabeza del vibrador se introducirá verticalmente, sin mover con ello el concreto; no se permitirá aplicarlo horizontalmente.

Para muros delgados, columnas de gran altura o posiciones inaccesibles de los moldes donde no llegue el vibrador, podrá vibrarse exteriormente aplicando la cabeza del vibrador normal al plano del molde, a la vez que se hace un "varillado" por el interior. Se aconseja para estos elementos usar vibrador con cabeza de 3.8 cm. de diámetro. Al vibrar concreto de peso normal se emplearán vibradores de 3,600 rpm cuando menos.

En todo momento se conservará en la obra, por cada frente de colado, un vibrador de chicote de repuesto en buenas condiciones de operación.

#### Juntas de colado

En columnas coladas en sitio de juntas serán horizontales localizadas en su extremo superior, a 1 cm arriba del lecho bajo de la losa planta o trabe de menor peralte del nivel que soporte.

Antes de reiniciar un colado toda junta deberá ofrecer una superficie rugosa, la cual se limpiará con soplete de

aire o de arena y cepillo de alambre y se saturará pero no se lecheará.

La forma de juntas especiales, su ubicación y refuerzos adicionales que en ellos se requiera se marcan en los planos.

El Director podrá permitir juntas en lugares que no especifican los planos.

#### Aspecto

Sin excepción el concreto debe presentar un aspecto homogéneo. Se desechará todo el concreto cacarizo y aquel en que haya quedado visible el refuerzo o que presente oquedades u otros defectos objetables de colado.

#### Resanes

Todo defecto del concreto que no afecte la estabilidad del edificio ni aún localmente y cuyo resane no sea observable arquitectónicamente, ambas limitaciones a juicio del Director, será resanado según el siguiente procedimiento:

- a) Se quitará todo el volumen defectuoso de concreto
- b) Se terminarán a escuadra las caras del hueco así formado.
- c) Se martelinará dicha superficie hasta eliminar toda partícula de polvo, agregados y cemento suelto.
- d) Se mantendrá saturada continuamente la superficie por resanar durante un mínimo de 6 horas mediante la aplicación de riegos frecuentes.
- e) Se colocará el refuerzo adicional que dicte la Dirección de la Obra.

f) Se resanará con mortero o concreto provisto de aditivo expansor en proporción tal que estrictamente contrarreste la contracción del material.

Este aditivo y su proporción requerirán la aprobación de la Dirección de la Obra. La resistencia del mortero o concreto de resane no será menor que 1.24 veces la resistencia de proyecto del elemento que se resana, ni menor que la resistencia media de dicho elemento - deducida de las pruebas de control. El revestimiento del material de resane estará entre 5 y 8 cm.

#### Curado

Todas las superficies de concreto que no estén protegidas con moldes deberán mantenerse constantemente húmedas durante un mínimo de 7 días consecutivos si su cemento es de fraguado normal, o 3 días si es de fraguado rápido o posee acelerantes. Con tal fin el contratista empleará el procedimiento que juzgue conveniente, incluso la utilización de membranas impermeables, riegos frecuentes, - inundación con agua y capa de arena, recubrimiento con lonas saturadas o exposición a corrientes de vapor de agua a temperatura no mayores de 71°C. Estos lapsos se aumentarán adecuadamente si la temperatura ambiente desciende a menos de 5 °C.

El curado deberá iniciarse inmediatamente después de que se haya producido el fraguado inicial, aproximadamente tres horas después del colado para los concretos que no tengan aditivos retardadores del fraguado.

## TOLERANCIAS

Tolerancias en colocación y dimensiones

En posición del eje de columnas, 1.0 cm.

En posición de trabes con respecto a columnas, 0.5 cm.

En dimensiones de la sección o peralte de los miembros, más 1.0 cm menos 0.3 cm.

En colocación del refuerzo en losas y zapatas, 0.2 cm - verticalmente y 3.0 cm horizontalmente, respetando el número de varillas por metro. En muros y cascarones 0.2 cm perpendicularmente a los paños de éstos y 3.0 en otras dimensiones, también respetando el número de varillas por metro.

En colocación del refuerzo con los demás elementos, 0.5 cm.

En longitudes de bastones, corte de varillas, traslapes y dimensiones de ganchos, menos 1.05 cm.

En localización del doblez de columpios, 2.0 cm.

En desplome de columnas o de su refuerzo, 0.6 cm.

En niveles de losas, 0.5 cm.

En espesores de firmes, 0.5 cm.

En dimensiones exteriores de tabique o bloque, 0.5 cm.

En espesores de rellenos. 1.0 cm.

En área transversal de acero de refuerzo, menos 4%.

### Tolerancia en resistencia

Para el acero, el 80% de las muestras ensayadas de cada partida debe resistir no menos que los esfuerzos especificados, y ninguna muestra debe fallar con menos del 90% de dichos esfuerzos. La misma especificación rige en -- cuanto a los límites de fluencia y elástico aparente, referidos estos al área nominal de la sección transversal del refuerzo.

Para los demás materiales, dos de cada tres muestras - consecutivas, ensayarán por lo menos la resistencia especificada y ninguna menos que el 80% de este valor.

**Tolerancias en peso volumétrico**

Ninguna muestra diferirá en peso volumétrico más del - 10% respecto al especificado.

**Incumplimiento de las tolerancias**

Cualquier elemento estructural o de albañilería que no - cumpla con las especificaciones relativas será demolido y reconstruido con las precauciones que fije el Director de Obra.

T A B L A D E V A R I L L A S

CALIBRE #	DIAMETRO $\phi$	$f_c = 250 \text{ Kg/cm}^2$	FUERZAS DE FLUENCIA		
			"La" cm	"Lg" cm	Máxima Kg
					Kg
2	1/4"		—	—	—
2.5	5/16"		25	15	2450
3	3/8"		30	15	3550
4	1/2"		35	20	6350
5	5/8"		45	25	10000
6	3/4"		65	35	14200
8	1"		100	55	25300
10	1 1/4"		150	100	39600
12	1 1/2"		225	150	57000

"La" = Longitud de anclaje recto o traslape

"Lg" = Longitud de anclaje en escuadra

Fuerzas de Fluencia:

Varilla # 2.5 ;  $A = 0.49 \text{ cm}^2$  ;  $\phi = 5/16"$

$$F_{\text{máx}} = 5000 \text{ Kg/cm}^2 \times 0.49 \text{ cm}^2 = 2450 \text{ Kg.}$$

$$F_{\text{Mín}} = 4000 \text{ Kg/cm}^2 \times 0.49 \text{ cm}^2 = 1960 \text{ Kg.}$$

Varilla # 4 ;  $A = 1.27 \text{ cm}^2$  ;  $\phi = 1/2"$

$$F_{\text{máx}} = 5000 \text{ Kg/cm}^2 \times 1.27 \text{ cm}^2 = 6350 \text{ Kg.}$$

$$F_{\text{mín}} = 4000 \text{ Kg/cm}^2 \times 1.27 \text{ cm}^2 = 5080 \text{ Kg.}$$

## B I B L I O G R A F I A S

- + Apuntes de Diseño Estructural  
Facultad de Ingeniería, UNAM, 1982
- + Diseño y Construcción de Estructuras de Concreto  
Instituto de Ingeniería, UNAM, Julio de 1972.
- + Manual de Diseño por Viento  
Instituto de Ingeniería, UNAM, Julio de 1977.
- + Manual de Diseño por Sismo  
Instituto de Ingeniería, UNAM, Julio de 1977.
- + Normas de Emergencia  
Publicadas en el Diario Oficial el 18 de Octubre de 1985.
- + Diseño y Construcción de Estructuras de Mampostería  
Instituto de Ingeniería, UNAM, Julio de 1977.
- + Manual de Diseño de Obras Civiles, Diseño por Viento  
Comisión Federal de Electricidad, 1981.
- + Gráfica para Diseñar Columnas de Concreto Reforzado  
Instituto de Ingeniería, UNAM, Septiembre de 1980.
- + Cálculo de Estructuras por el metodo de Cross C Prenzlow  
Edit. Gustavo Gili, 1981.
- + Requisitos de Seguridad y Servicios para las Estructuras  
Instituto de Ingeniería, UNAM, Julio de 1977.
- + Comportamiento Sísmico de Muros de Mampostería  
Segunda Edición, Mayo 1979 Roberto Meli.  
Instituto de Ingeniería, UNAM.
- + Manual de Diseño de Obras Civiles, Diseño por Sismo  
Comisión Federal de Electricidad, 1981.



FIGURA 2

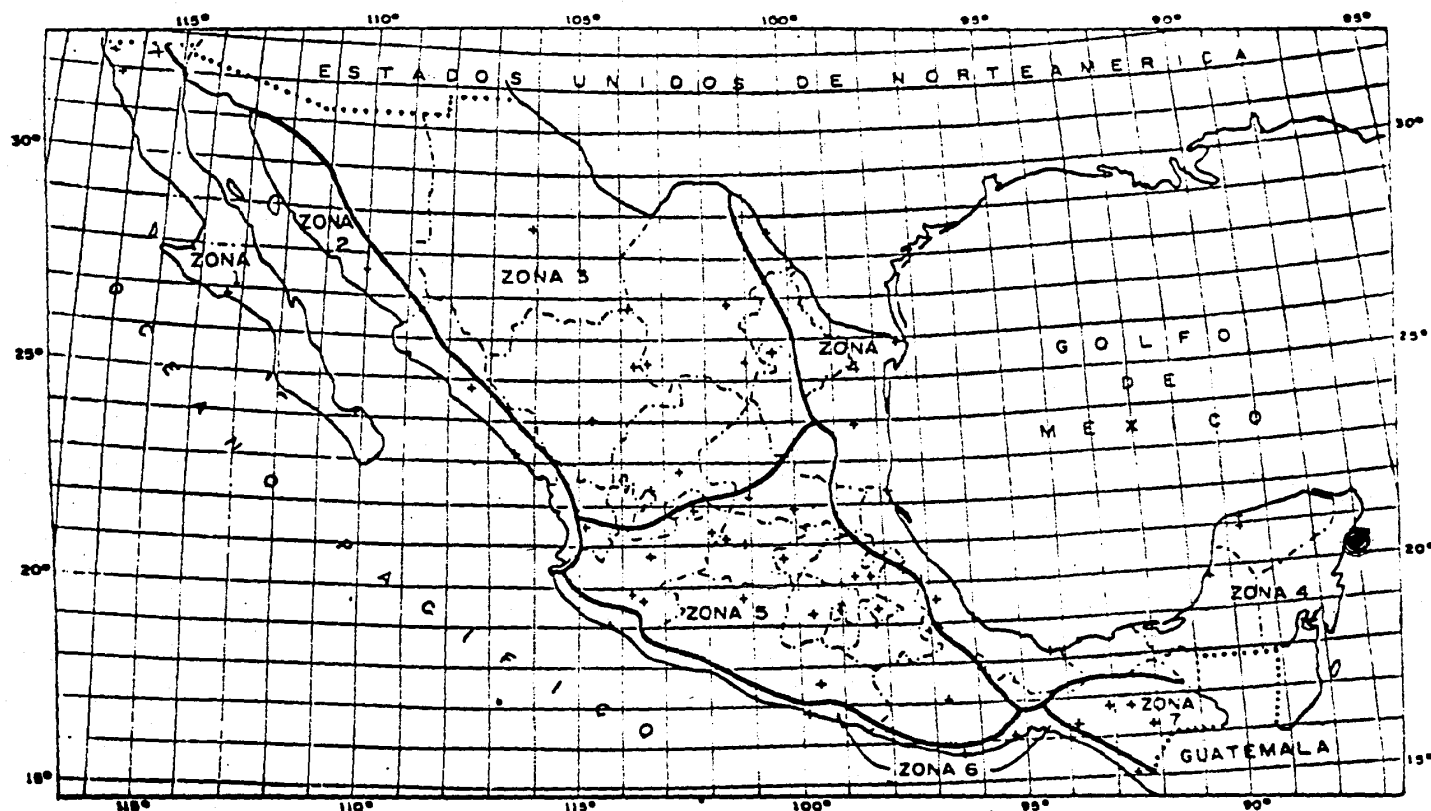


Fig. Regionalización Eólica de la República Mexicana

MOMENTOS RESISTENTES DE SECCIONES RECTANGULARES

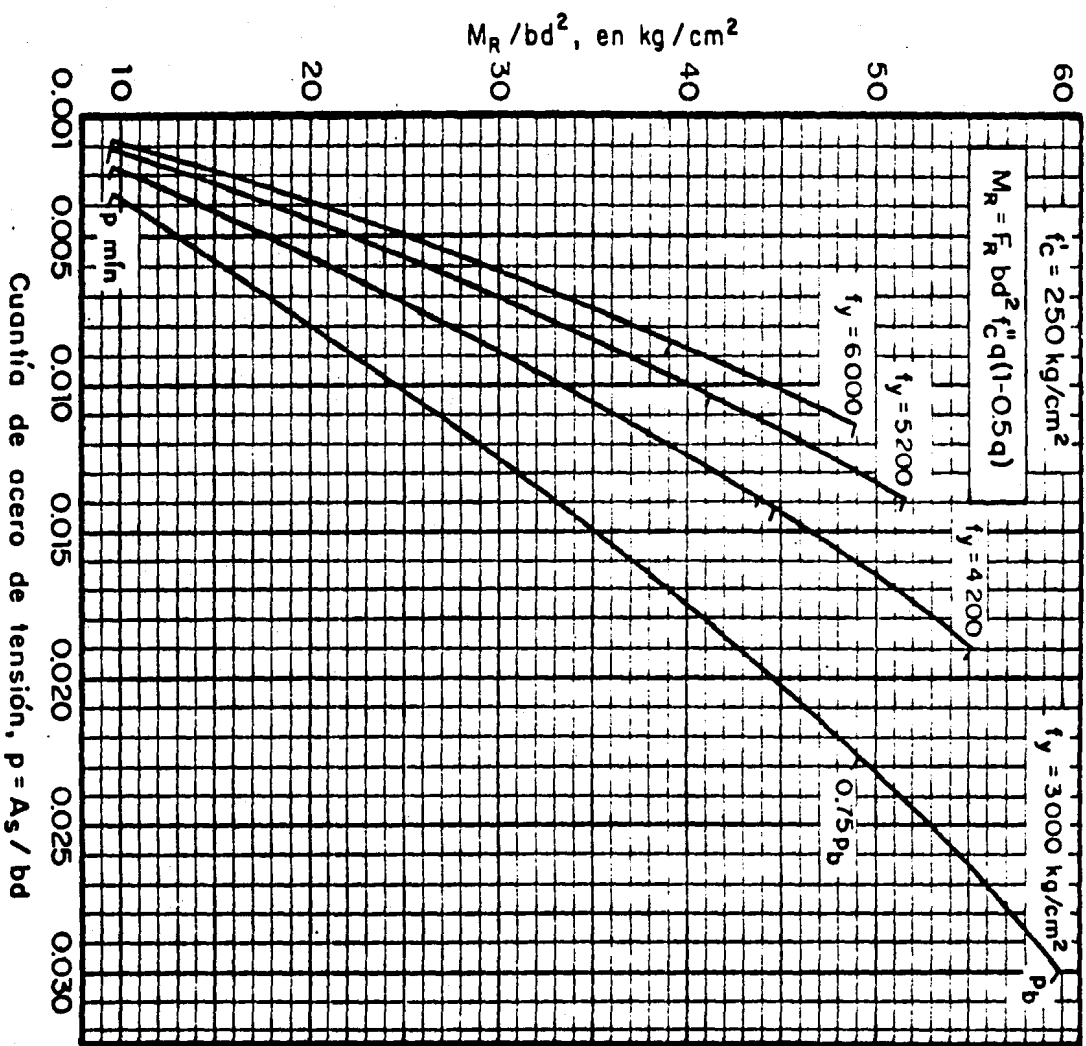
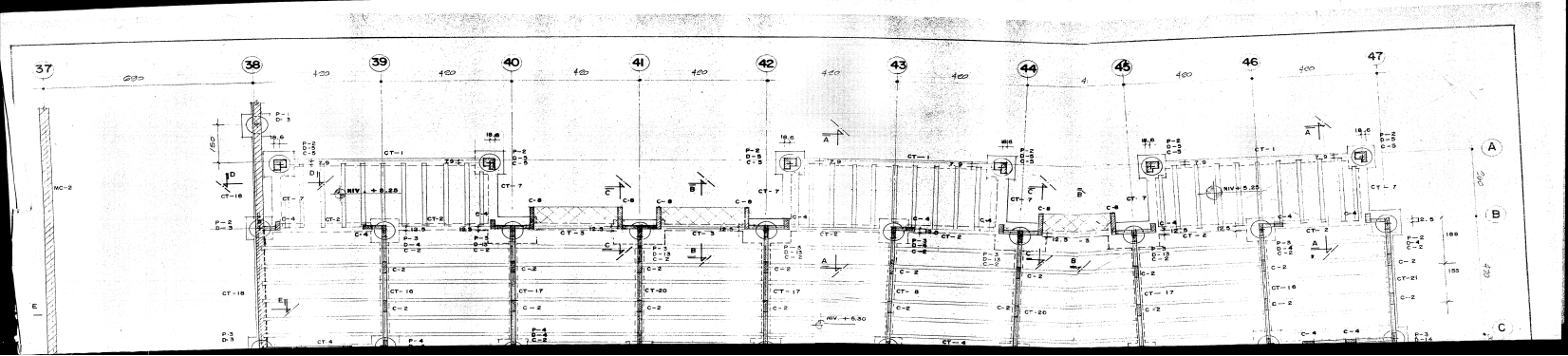
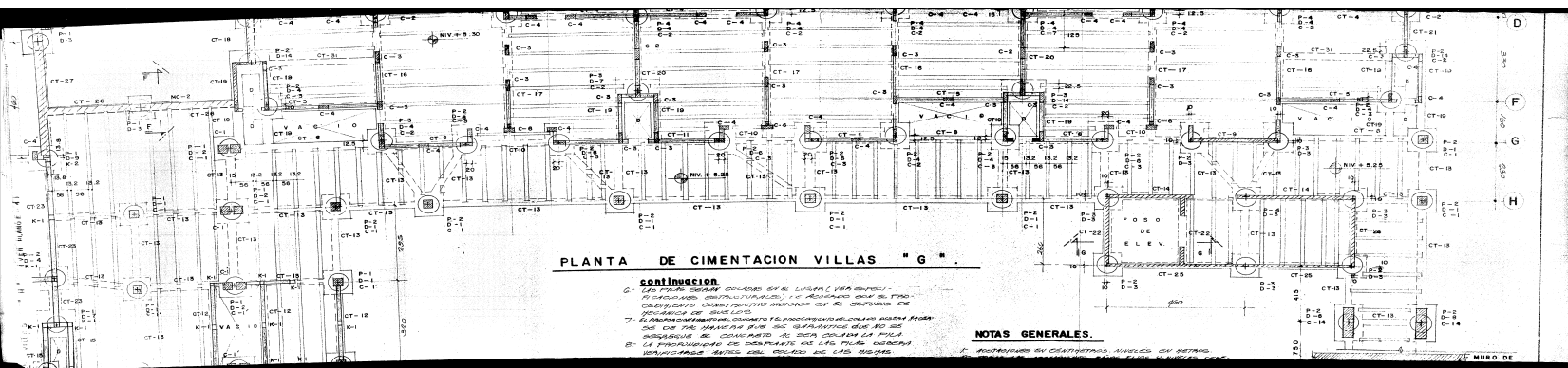


Fig 3





PLANTA DE CIMENTACION VILLAS "G".

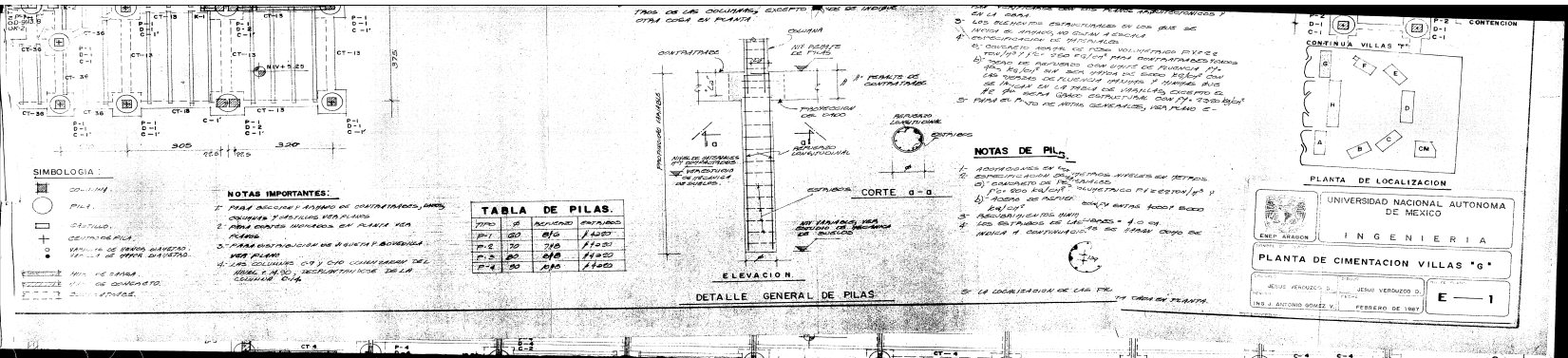
continuacion.

G- LAS PAREDES EXTERIORES SERAN LADRILLO VERA SIMPLO -  
CONCRETO EN LA BASE Y EN LOS MEDIOS CONCRETO EN LA SUPERFICIE Y  
CONCRETO GRANULADO EN EL DORSO EN  
EL DORSO DE LOS MEDIOS CONCRETO GRANULADO.  
T- LOS MEDIOS CONCRETO TENDRA UNA CAPA DE ARENA FINA  
DE 10 MM. PARA EVITAR QUE LOS GRANULADOS SE SEPARAN  
DE LOS MEDIOS CONCRETO AL SER PEGADO AL MUEBLE.  
B- LA PROFUNDIDAD DE DESPIANTE DE LOS PILES DEBE SER  
VERIFICARSE ANTES DEL PEGADO DE LOS MUEBLES.

NOTAS GENERALES.

1. AUTORIZACION DE CIMENTACIONES NIVELADA EN METROS.

MURO DE



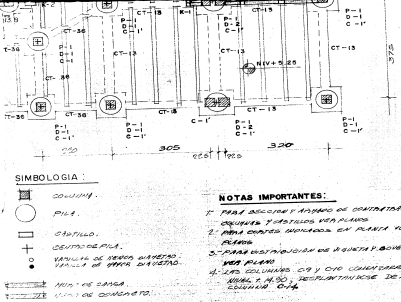
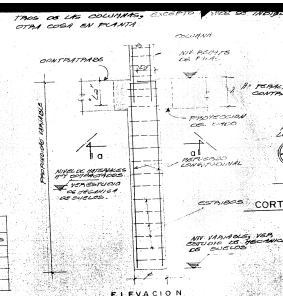


TABLA DE PILAS.		
TIPO	DIÁMETRO	ALTURA
P-1	80	1120
P-2	100	1120
P-3	120	1120
P-4	140	1120
P-5	160	1120
P-6	180	1120



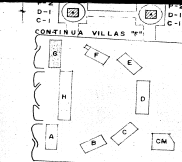
EN LA PLANTA CIMA COTO PLANTA VERA CONSTRUIDA:

- LOS REVESTIMIENTOS ESTAN FORMADOS EN LOS BLOCS DE CONCRETO Y LOS MATERIALES SON LOS MISMOS QUE SE ESTAN USANDO EN LA CONSTRUCCION DE VILLAS.
- EL PISO DE CIMENTACION ES DE CONCRETO MONOCOQUE, PUEDE SER DE 15 CM. DE espesor.
- EL PISO DE CIMENTACION ESTA FORMADO POR PANELES DE CONCRETO MONOCOQUE, PUEDE SER DE 15 CM. DE espesor.
- LOS PANELES DE CONCRETO MONOCOQUE PUEDE SER DE 15 CM. DE espesor.
- EL PISO DE CIMENTACION ESTA FORMADO POR PANELES, EXCEPTO EL PISO DE CIMENTACION EN LA PLANTA VERA, QUE PUEDE SER DE 15 CM. DE espesor.

#### NOTAS DE PILAS.

- APERTURAS EN LOS PANELES VARIAN EN ALTURA.
- EL BARRILLO DE PISO VULCANIZADO PUEDE ESTAR A 1/4 Y 1/2 DEL ALTO DE LA PILA.
- LOS PANELES SON DE ALTO 1/4 Y 1/2 DEL ALTO DE LA PILA.
- LOS RESTANTES DE LAS PILAS SE PUEDE DIBUJAR CON LA NOTA A CONTINUACION:

LA LOCALIZACION DE LAS PILAS COTO CIMA DE PLANTA



**PLANTA DE LOCALIZACION**

UNIVERSIDAD NACIONAL AUTONOMA  
DE MEXICO

JESÚS VÉRENDIZ G.

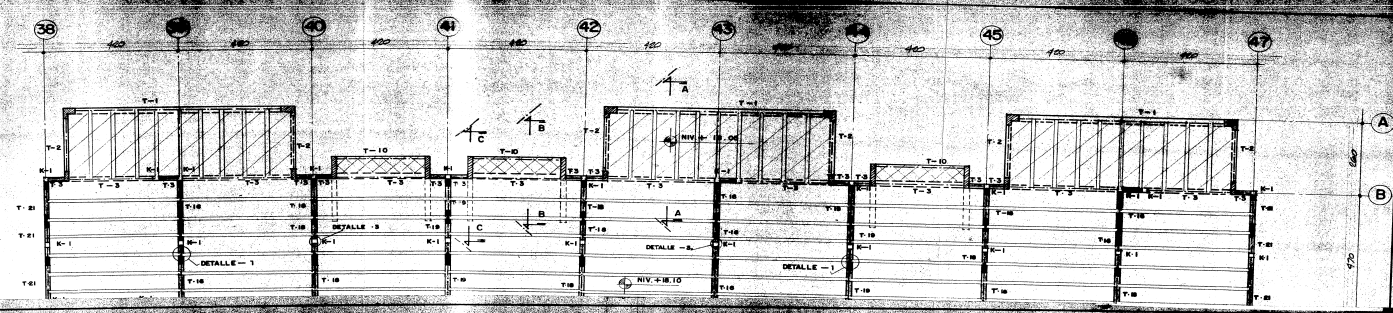
INGENIERIA

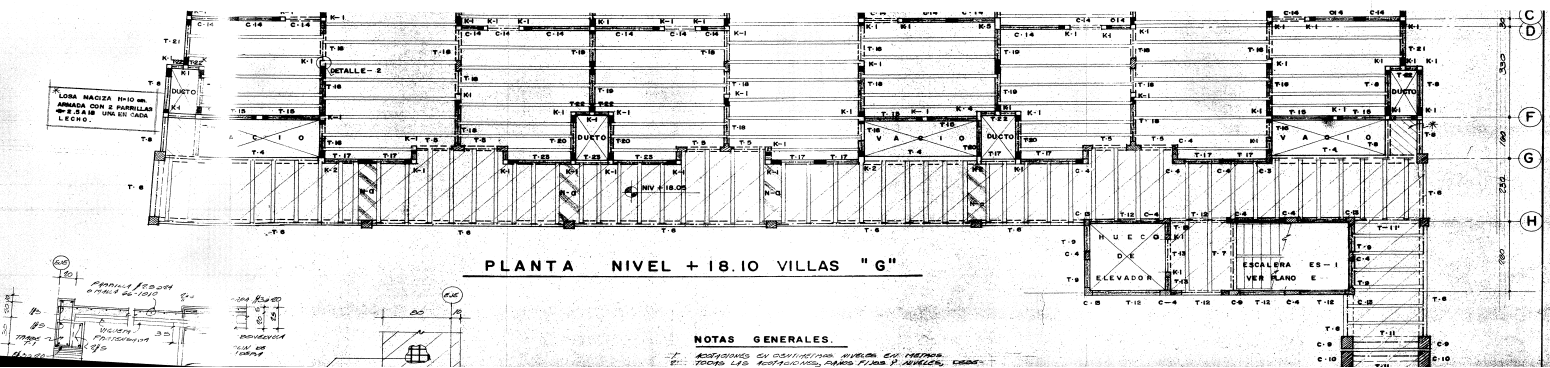
**PLANTA DE CIMENTACION VILLAS \*G\***

JESÚS VÉRENDIZ G.  
JESÚS VÉRENDIZ G.  
JESÚS VÉRENDIZ G.

E — 1

FEBRERO DE 1967



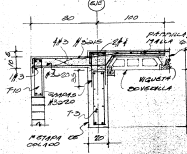


NOTAS GENERALES.

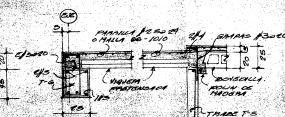
ASISTENCIAS EN CONSTRUCTORES NIVELES EN PINTURA.  
TODOS LOS ASISTENCIAS PARA PINTAR Y PINTAR, DEDICAR



CORTE A - A

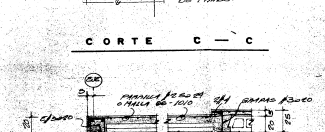


CORTE C - C



CORTE B - B

CORTE D - D



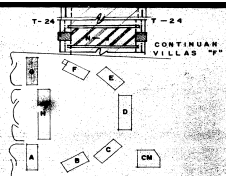
**MATERIALES:**  
 1. CONCRETO ESTÁNDAR EN LOS PAREDES HASTA EL ALTA  
 2. TIERRA DE 10 cm.  
 3. TIERRA DE 10 cm.  
 4. TIERRA DE 10 cm.  
 5. TIERRA DE 10 cm.  
 6. TIERRA DE 10 cm.  
 7. TIERRA DE 10 cm.  
 8. TIERRA DE 10 cm.  
 9. TIERRA DE 10 cm.  
 10. TIERRA DE 10 cm.

**SIMBOLICA :**

[Symbol: thick horizontal line]	TIERRA
[Symbol: thin horizontal line]	TIERRA
[Symbol: square]	TIERRA
[Symbol: diagonal line]	TIERRA
[Symbol: dashed line]	TIERRA
[Symbol: diagonal line]	TIERRA
[Symbol: dashed line]	TIERRA
[Symbol: diagonal line]	TIERRA
[Symbol: dashed line]	TIERRA
[Symbol: diagonal line]	TIERRA
[Symbol: dashed line]	TIERRA

**NOTAS IMPORTANTES:**

- 1. PARA SECCION Y ARMADO DE TABLEROS, 105 PLANO.
- 2. PLATO DESDoblado 1/2 x 3,500 PLANO.
- 3. PLATO ANCHO DESDoblado que cubre uno PLANO.
- 4. PLATO ANCHO DESDoblado que cubre uno.
- 5. ANILLO DE FRENOS. COLOCAR EN Y VOLVENDO POR FORMA EL TABLERO CON 26 TORNILLOS, JERIGONAS, SI SE QUIERE ESTACIONAR EN NIVEL + 27.70, EN LOS NIVELES RESTANTES SE COLOCARAN 26 TORNILLOS DE 19 mm. DIADE 19 mm. DE CARGA.



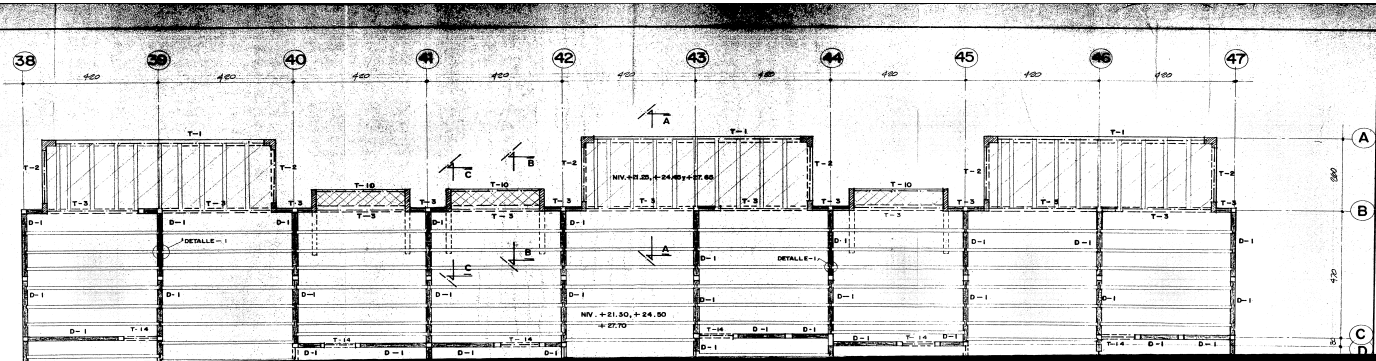
UNIVERSIDAD NACIONAL AUTONOMA  
DE MEXICO

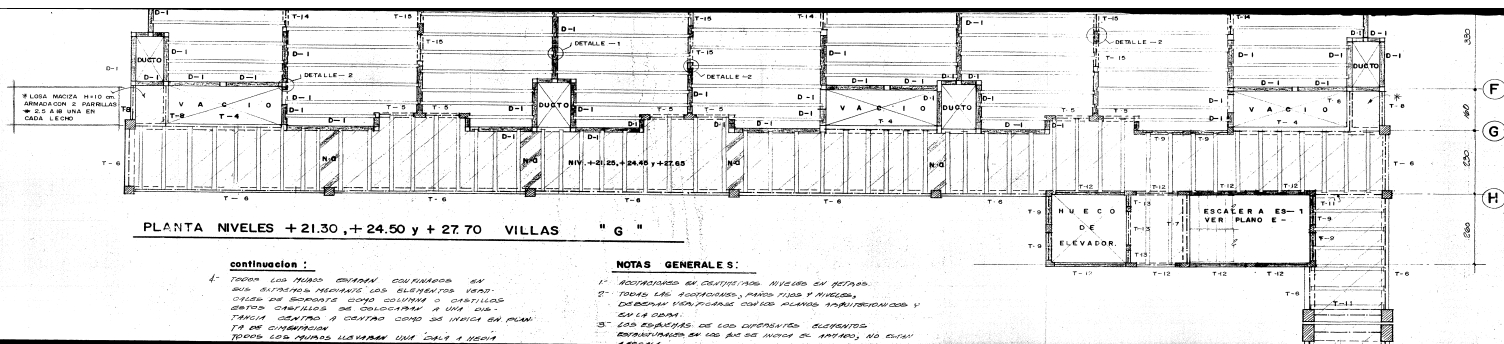
INGENIERIA

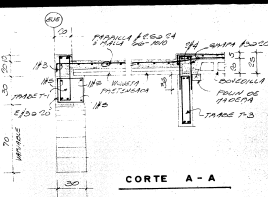
PLANTA NIV.+18.10 VILLAS " G "

JESUS VERDUCIO O.	ARMARIO
VERDUCIO	VERDUCIO
ING. J. ANTONIO ROMEZ V.	FECHADA
FEBRERO DE 1987	

E — 2







#### NOTAS IMPORTANTES:

1. PARA DISEÑO Y PLACADO DE TORNOS, CIRCUITOS Y VENTILADORES, VER PLANO.
2. PARA CONCRETO, VER PLANO.
3. PARA PINTURA, VER PLANO.
4. PARA TACOS T-3, T-4, T-5 DE LOS MUROS 70.50, 7.850 VER PLANO.
5. PARA EL NIVEL P-3.20 VER PLANO.

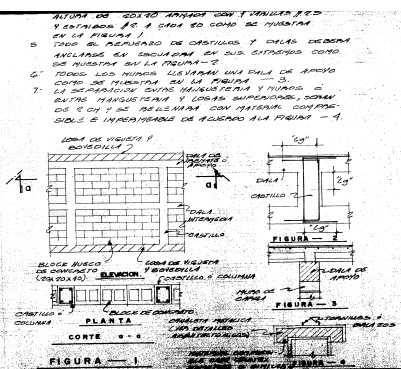


FIGURA 1

ALTURA DEL COBERTOR ARRANCO CON T-PALMO 8.80  
Y CORTA P-3.20. SARA ED CODO DE MUERTA  
EN LA PIQUERA 1. SARA ED CODO DE MUERTA  
TODOS EN DESPLAZAMIENTO DE CIRCUITOS Y OJAL. DEDICAR  
ALGUNOS APERTURAS ALAS CORNERS EN SUS DISTINTOS COTOS  
DE MUERTA EN LA PIQUERA - 2.  
3. TODOS LOS MUROS LLEVAN UNA COTA DE APERTURA  
DE SEPARACION ENTRE HABITACIONES Y MIZARD O  
ENTRE HABITACIONES Y COZAS. ESTAS APERTURAS SON  
DE 1.20 MTS. DE ALTAZA CON MATERIAL COMPO-  
SICIONES E IMPERMEABLES AL ACUERDO ALA FIGURA - 4.

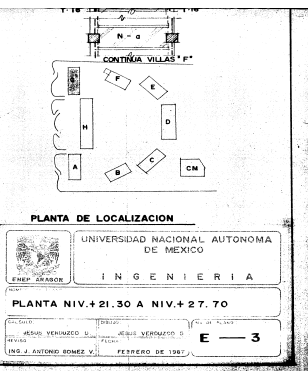
4. ESCALAFONACION DE MUERTAS:  
a) MUERTA ARRANCO CON PIEDRA VOLVULINICO  
P= 3.20 NIVEL 1.40 Y P= 7.850 NIVEL 0.00  
b) MUERTA EN PIQUERA CON COTA DE MUERTA P= 1.20  
MIZARD Y COZAS P= 0.60 CON LAS MUERTAS DE PIQUERA  
HABITACIONES Y MIZARD QUE SE APERTUREN EN  
CLAS. VERA PLANO  
5. PARA EL ACUERDO DE MUERTAS REVERIBLES, VERA PLANO

#### NOTAS DE MUROS DE CARGA:

1. TODOS LOS MUROS DEDICADOS EN PLANA DEBEN DE  
CIRCUITO Y CERTIFICAR ESTANCIAMENTO COJO DE IMPRESA  
EN ELECTRO CONDENSACIONAR (VER FIGURA - 1).
2. MUROS DE CARGA:  
LOS MUROS DEBEN DE SER DE TIPO DE CONCRETO  
TIPO INFERIOR. EN TECNOLOGIA, DEBEN SER UN  
TIPO DE MURO DE CARGA DE CONCRETO INFERIOR  
CON TECNOLOGIA DE CORTEZA.
3. COLOCACIONES DE MUERTAS:  
a) LOS BLOQUES DE CONCRETO MUERTO DESENTRAL  
TIENEN UN DESPLAZAMIENTO DE 1.40, 1.20, 1.00, 0.80, 0.70  
Y 0.50 EN SENTIDO ARRANCO A PUEDES HACER UNA RESISTENCIA A  
MUERTA LA COMPRISION DEDICAR P= 4 = 100 ERS, 25%  
DE LOS SANTOS DEDICAR A PUEDES HACER UNA RESISTENCIA A  
LA COMPRISION CON ALGUNAS GUARNICIONES DE 30%  
b) MUERTA DE PIQUERA CON LINEAS DE PIQUERA  
CON MUERTA EN LA PIQUERA EN HABITACIONES VERA PLANO  
DOS APERTURAS QUADRANTES CON LOS COTOS DEL 0.60  
DE APERTURA CON COTOS DE 0.10. DEDICAR A PUEDES HACER  
UNA RESISTENCIA A LA MUERTA EN LA PIQUERA VERA PLANO.

#### SIMBOLOGIA:

	CONCRETO
	CIRCUITO
	MUERTA DE CARGA
	TACOS
	ZONA DEZUMO DE MUERTA LA SE DEDICAR A PUEDES HACER EL APERTURA/PIQUERA EN LA P-3.
	LADA NIVELADA 2-30, 1.68.80 7-7.27.70
	LADA NIVELADA 2-25, 124.40 7-7.25.65



#### PLANTA DE LOCALIZACION

UNIVERSIDAD NACIONAL AUTONOMA  
DE MEXICO

INGENIERIA

PLANTA NIV.+21.30 A NIV.+27.70

ENEP-UNAM

JESÚS VÉRNIZO V./ JESÚS VÉRNIZO D.

FEBRERO DE 1982

E — 3